

การปรับสภาพเบื้องต้นของหอยนางรมแกะเปลือกด้วยการล้างร่วมกับการแช่
ใน Epigallocatechin gallate จากชาเขียวเพื่อยืดอายุการเก็บรักษา



จุฬาลงกรณ์มหาวิทยาลัย

บทคัดย่อและแฟ้มข้อมูลฉบับเต็มของวิทยานิพนธ์ตั้งแต่ปีการศึกษา 2554 ที่ให้บริการในคลังปัญญาจุฬาฯ (CUIR)
เป็นแฟ้มข้อมูลของนิสิตเจ้าของวิทยานิพนธ์ ที่ส่งผ่านทางบันทึกวิทยาลัย

The abstract and full text of theses from the academic year 2011 in Chulalongkorn University Intellectual Repository (CUIR)
are the thesis authors' files submitted through the University Graduate School.

วิทยานิพนธ์นี้เป็นส่วนหนึ่งของการศึกษาตามหลักสูตรปริญญาวิทยาศาสตร์มหาบัณฑิต

สาขาวิชาเทคโนโลยีทางอาหาร ภาควิชาเทคโนโลยีทางอาหาร

คณะวิทยาศาสตร์ จุฬาลงกรณ์มหาวิทยาลัย

ปีการศึกษา 2560

ลิขสิทธิ์ของจุฬาลงกรณ์มหาวิทยาลัย

CHUCKED OYSTER PRETREATMENT BY COMBINATION OF RINSING AND
EPIGALLOCATECHIN GALLATE FROM GREEN TEA SOAKING FOR
SHELF-LIFE EXTENSION



A Thesis Submitted in Partial Fulfillment of the Requirements
for the Degree of Master of Science Program in Food Technology

Department of Food Technology

Faculty of Science

Chulalongkorn University

Academic Year 2017

Copyright of Chulalongkorn University

หัวข้อวิทยานิพนธ์	การปรับสภาพเบื้องต้นของหอยนางรมแกะเปลือกด้วยการล้างร่วมกับการแช่ใน Epigallocatechin gallate จากชาเขียวเพื่อยืดอายุการเก็บรักษา
โดย	นางสาวกัญจนา แซ่เปี้ย
สาขาวิชา	เทคโนโลยีทางอาหาร
อาจารย์ที่ปรึกษาวิทยานิพนธ์หลัก	รองศาสตราจารย์ ดร.สุเมธ ตันตรະเสียร
อาจารย์ที่ปรึกษาวิทยานิพนธ์ร่วม	รองศาสตราจารย์ ดร.ชั่นจิต ประกิตชัยวัฒนา

คณะวิทยาศาสตร์ จุฬาลงกรณ์มหาวิทยาลัย อนุมัติให้นักวิทยานิพนธ์ฉบับนี้เป็นส่วนหนึ่งของการศึกษาตามหลักสูตรบริณามhabนิติ
ขอสงวนสิทธิ์ไม่อนุญาตให้任何人使用或修改此文件

คณะกรรมการสอบวิทยานิพนธ์

คณบดีคณะวิทยาศาสตร์

(ศาสตราจารย์ ดร.พลกฤษณ์ แสงวนิช)

ประธานกรรมการ

(รองศาสตราจารย์ ดร.จันทร์ประภา อิ่มจงใจรักษ)

อาจารย์ที่ปรึกษาวิทยานิพนธ์หลัก

(รองศาสตราจารย์ ดร.สุเมธ ตันตรະเสียร)

อาจารย์ที่ปรึกษาวิทยานิพนธ์ร่วม

(รองศาสตราจารย์ ดร.ชั่นจิต ประกิตชัยวัฒนา)

กรรมการ

(ผู้ช่วยศาสตราจารย์ ดร.กิติพงศ์ อัศตรกุล)

กรรมการภายนอกมหาวิทยาลัย

(ศาสตราจารย์ ดร.วรรณา ครุส่ง)

กาญจนา แซ่เพ็ญ : การปรับสภาพเบื้องต้นของหอยนางรมแกะเปลือกด้วยการล้างร่วมกับการแช่ใน Epigallocatechin gallate จากชาเขียวเพื่อยืดอายุการเก็บรักษา (CHUCKED OYSTER PRETREATMENT BY COMBINATION OF RINSING AND EPIGALLOCATECHIN GALLATE FROM GREEN TEA SOAKING FOR SHELF-LIFE EXTENSION) อ.ที่ปรึกษาวิทยานิพนธ์หลัก: รศ. ดร.สุเมธ ตันตราธเรียร, อ.ที่ปรึกษาวิทยานิพนธ์ร่วม: รศ. ดร.ชื่นจิต ประกิตชัยวัฒนา, 88 หน้า.

งานวิจัยนี้มีจุดประสงค์เพื่อศึกษาการใช้น้ำอิเล็กโทรไลต์ กรดแลคติก และสาร Epigallocatechin gallate (EGCG) จากชาเขียว ต่ออายุการเก็บรักษาหอยนางรมที่อุณหภูมิ $4\pm2^{\circ}\text{C}$ และติดตามคุณภาพทางจุลชีววิทยา กายภาพ และเคมี โดยศึกษาค่าความเข้มข้นต่ำสุดในการยับยั้งการเจริญของเชื้อแบคทีเรีย (MIC) และความเข้มข้นต่ำสุดในการฆ่าเชื้อ แบคทีเรีย (MBC) (*Staphylococcus aureus*, *Bacillus cereus*, *Lactobacillus plantarum*, *Vibrio parahaemolyticus*, *Salmonella Typhimurium*, และ *Escherichia coli*) ของ EGCG 2.5-5 $\mu\text{g/ml}$ และกรดแลคติก 1.37-2.75 % w/w ศึกษาการทำความสะอาดเพื่อลดจำนวนจุลินทรีย์ในหอยนางรมโดยการแช่ 30 นาที ด้วยน้ำอิเล็กโทรไลต์ กรดแลคติก โดยน้ำปลอดเชื้อ สารละลายน้ำซิเดียมไฮโปคลอไรท์ 10 ppm และ สารละลายน้ำซิเดียมไฮโปคลอไรท์ 60 ppm เป็นตัวอย่างควบคุม พบร่วมน้ำอิเล็กโทรไลต์ 60 ppm และกรดแลคติกที่ 0.17 % w/v (0.0625 MBC) คือความเข้มข้นต่ำสุดที่สามารถลดปริมาณเชื้อแบคทีเรียได้ และยังคงรักษาคุณภาพทางกายภาพและเคมีของหอยนางรม โดยน้ำอิเล็กโทรไลต์ สามารถลดปริมาณจุลินทรีย์ทั้งหมด (TPC), *Staph. aureus*, lactic acid bacteria (LAB) ได้ 1.36, 1.02, 0.20 \log_{10} CFU/g ตามลำดับ และ *V. parahaemolyticus* ลดได้ 3.2 MPN/g ส่วนกรดแลคติกสามารถลดปริมาณจุลินทรีย์ทั้งหมด (TPC), *Staph. aureus*, ได้ 0.08, 0.48 \log_{10} CFU/g และตามลำดับ *V. parahaemolyticus* ลดได้ 3.2 MPN/g ขณะที่ สารละลายน้ำซิเดียมไฮโปคลอไรท์ 10 ppm สามารถลดปริมาณจุลินทรีย์ทั้งหมด (TPC), *Staph. aureus*, lactic acid bacteria (LAB) ได้ 0.14, 0.75, 0.16 \log_{10} CFU/g ตามลำดับ ไม่สามารถลดเชื้อ *V. parahaemolyticus* สารละลายน้ำซิเดียมไฮโปคลอไรท์ 60 ppm สามารถลดปริมาณจุลินทรีย์ทั้งหมด (TPC), *Staph. aureus*, lactic acid bacteria (LAB) ได้ 0.34, 1.13, 0.49 \log_{10} CFU/g ตามลำดับ *V. parahaemolyticus* ได้ 0.3 MPN/g จากการทดลองเก็บรักษาหอยนางรมที่อุณหภูมิ $4\pm2^{\circ}\text{C}$ พบร่วมหาอยนางรมที่ทำความสะอาดด้วยน้ำปลอดเชื้อร่วมกับการแช่หอยนางรมในไฮแพทเซียมซอร์บต 0.1 % มีอายุการเก็บรักษา 7 วัน หอยนางรมที่ทำความสะอาดด้วยไฮโซเดียมไฮโปคลอไรท์ 60 ppm ร่วมกับการแช่หอยนางรมกับสารละลายน้ำ EGCG และหอยนางรมที่ทำความสะอาดด้วยน้ำอิเล็กโทรไลต์ ร่วมกับกรดแลคติก 0.17 % w/v (0.0625 MBC) ร่วมกับการแช่หอยนางรมกับสารละลายน้ำ EGCG มีอายุการเก็บรักษา 17 วัน การติดตามลักษณะทางกายภาพ เคมีของทุกตัวอย่าง พบร่วมน้ำ ค่าสี (L*, a*, และ b*) ค่าแรงตัด และค่า pH มีแนวโน้มลดลง และไม่แตกต่างจากตัวอย่างควบคุม ($p>0.05$) ส่วนค่าปริมาณด่างที่ระเหยได้ทั้งหมด (TVB-N) มีแนวโน้มเพิ่มขึ้นแต่ไม่เกิน 30 mg N/100g ดังนั้นการใช้น้ำอิเล็กโทรไลต์ ในการทำความสะอาด ร่วมกับการใช้สารละลายน้ำ EGCG ในระหว่างการเก็บรักษาจึงเป็นทางเลือกที่สามารถควบคุมการเจริญของจุลินทรีย์ ในขณะที่ยังสามารถรักษาสมบัติทางกายภาพ และเคมีของหอยนางรมในระหว่างการเก็บรักษาที่ $4\pm2^{\circ}\text{C}$

ภาควิชา เทคโนโลยีทางอาหาร
สาขาวิชา เทคโนโลยีทางอาหาร
ปีการศึกษา 2560

ลายมือชื่อนิสิต
ลายมือชื่อ อ.ที่ปรึกษาหลัก
ลายมือชื่อ อ.ที่ปรึกษาร่วม

5771916623 : MAJOR FOOD TECHNOLOGY

KEYWORDS: OYSTER; ELECTROLYZED WATER; LACTIC ACID; EPIGALLOCATECHIN GALLATE

KANCHANA KAEPHEN: CHUCKED OYSTER PRETREATMENT BY COMBINATION OF RINSING AND EPIGALLOCATECHIN GALLATE FROM GREEN TEA SOAKING FOR SHELF-LIFE EXTENSION. ADVISOR: ASSOC. PROF.SUMATE TANTRATIAN, Ph.D., CO-ADVISOR: ASSOC. PROF.CHEUNJIT PRAKITCHAIWATTANA, Ph.D., 88 pp.

This study was purposed to investigate the effect of electrolyzed water, lactic acid, and Epigallocatechin gallate (EGCG) from green tea on microbiological, physical, and chemical properties of the oysters. In this research, electrolyzed water, lactic acid were used as pretreatment whereas and green tea extract solution was used as the soaking solution. Minimum inhibitory concentration (MIC), and minimum bactericidal concentration (MBC) of EGCG and lactic acid against *Staphylococcus aureus*, *Bacillus cereus*, *Lactobacillus plantarum*, *Vibrio parahaemolyticus*, *Salmonella Typhimurium*, and *Escherichia coli* were found at 2.5-5 µg/mL, whilst those of lactic acid were found at 1.37-2.75 % w/v. Pretreatments of oysters to reduce the proliferation of bacteria were conducted by soaking the oysters in electrolyzed water, and lactic acid for 30 minutes. Sterile water and 60 ppm sodium hypochlorite concentrations were used as controlled. The results showed that the lowest concentrations of electrolyzed water and lactic acid that could reduce the number of contaminated bacteria and help preserve physical and chemical properties of the oysters were 60 ppm and 0.17 % w/v (0.0625 MBC), respectively. Pretreatment of oyster with electrolyzed water reduced the number of Total Viable Count (TVC), *Staph. aureus*, and lactic acid bacteria (LAB) by 1.36, 1.02 and 0.20 \log_{10} CFU/g respectively whereas that of *V. parahaemolyticus* was reducted by 3.2 MPN/g. Pretreating the oysters with 10 ppm sodium hypochlorite reduced the number of TVC, *Staph. aureus*, and lactic acid bacteria (LAB) by 0.14, 0.75 and 0.16 \log_{10} CFU/g, respectively. At this concentration, the number of *V. parahaemolyticus* was reduced by 0.3 MPN/g. After pretreatment, the oysters were soaking in EGCG and kept at 4±2 °C. The shelf life of oyster that were separately pretreated with sterile water and 60 ppm sodium hypochlorite and then soaking in 0.1% potassium sorbate was not significantly different (7 and 9 day). While the shelf life of oysters that were pretreated with electrolyzed water and 5 µg/mL EGCG was found at 15 days and pretreated with electrolyzed water combination with lactic acid and soaking 5 µg/mL EGCG was found at 15 days Similar to 17 days of that oysters with were pretreated with 0.1% w/v (0.0625 MBC) lactic acid and 5 µg/ml EGCG. Physical and chemical properties of all sample were determined during storage. Color (L*, a* and b*), texture (cutting force) and pH were declined and were not different from those of controlled sample ($p>0.05$). However, total volatile basic nitrogen (TVB-N) was found to increase but less than 30 mg N/100g at the end storage. As a result, pretreatment of oyster with electrolyzed water combined with EGCG can be used as an alternative method to either to extend the shelf life of oysters or helps preserve their physical and chemical properties.

Department: Food Technology

Student's Signature

Field of Study: Food Technology

Advisor's Signature

Academic Year: 2017

Co-Advisor's Signature

กิตติกรรมประกาศ

งานวิจัยนี้สำเร็จลงได้โดยการสนับสนุนทุนวิจัยจาก ทุน 90 ปี จุฬาลงกรณ์มหาวิทยาลัย กองทุนรัชดาภิเษกสมโภช (THE 90th ANNIVERSARY OF CHULALONGKORN UNIVERSITY FUND (Ratchadaphiseksomphot Endowment Fund)) และสำเร็จลุล่วงด้วยดี เนื่องจากได้รับความกรุณาอย่างสูงจาก รองศาสตราจารย์ ดร.สุเมธ ตันตรະเสียร อาจารย์ที่ปรึกษาหลัก และรองศาสตราจารย์ ดร.ชื่นจิต ประกิตชัยวัฒนา อาจารย์ที่ปรึกษาร่วม ที่กรุณายield คำแนะนำปรึกษา ตลอดจนแก้ไขข้อบกพร่องต่าง ๆ ด้วยความเอาใจใส่อย่างดีเยี่ยม และค่อยอบรมสั่งสอน ให้ข้อคิดในการทำงานเสมอมา ผู้วิจัยยังคงถึงความตั้งใจจริงและความทุ่มเทของอาจารย์ ขอกราบขอบพระคุณเป็นอย่างสูงไว้ ณ ที่นี่

ขอขอบพระคุณ รองศาสตราจารย์ ดร.จันทร์ประภา อิ่มจงใจรัก ผู้ช่วยศาสตราจารย์ ดร.กิตติพงศ์ อัศตรกุล และศาสตราจารย์ ดร.วรรยา ครุส่ง ที่กรุณารับเป็นคณะกรรมการสอบวิทยานิพนธ์ และกรุณายield คำแนะนำ ตรวจสอบ กลั่นกรอง และแก้ไขวิทยานิพนธ์ฉบับนี้ ทำให้วิทยานิพนธ์ฉบับนี้มีความถูกต้องสมบูรณ์

ขอขอบพระคุณผู้ช่วยศาสตราจารย์ ดร.วรรณฯ มหาภัญจนกุล ที่อนุเคราะห์นำอิเล็กโกรไอล์ในการทำวิจัย และพี่ๆ ที่ค่อยยออำนวยความสะดวก และให้การช่วยเหลือตลอดมา ณ คณะอุตสาหกรรมเกษตร มหาวิทยาลัยเกษตรศาสตร์ กรุงเทพฯ

ขอขอบพระคุณคณาจารย์ และเจ้าหน้าที่ประจำภาควิชาเทคโนโลยีทางอาหารทุกท่านที่ให้คำปรึกษาและข้อแนะนำ รวมถึงอำนวยความสะดวกในการทำวิจัยต่าง ๆ งานวิจัยนี้สำเร็จลุล่วงไปได้ด้วยดี

ขอขอบคุณเพื่อนๆ พี่ๆ และน้องๆ ภาควิชาเทคโนโลยีทางอาหารที่ค่อยเป็นกำลังใจ ให้การสนับสนุน ให้ความช่วยเหลือที่ดีตลอดมา

สุดท้ายขอกราบขอบพระคุณบิดา มารดา และครอบครัวที่ให้ความสนับสนุน เป็นกำลังใจ ตลอดจนให้ความช่วยเหลือในทุกๆ ด้านที่ดีเสมอมา

สารบัญ

หน้า

บทคัดย่อภาษาไทย.....	๑
บทคัดย่อภาษาอังกฤษ.....	๑
กิตติกรรมประกาศ.....	๙
สารบัญ.....	๙
สารบัญรูปภาพ	ภู
สารบัญตาราง.....	๗
บทที่ 1 บทนำ	๑
ความเป็นมาและความสำคัญของปัญหา	๑
บทที่ 2 วารสารปริทัศน์.....	๑
2.1 หอยนางรม	๑
2.1.1 การทำความสะอาดหอยนางรม	๑
2.1.2 สารกันเสียที่ใช้ในการเก็บรักษาหอยนางรมสดและเปลือก	๒
2.1.3 การปนเปื้อนเข้าแบคทีเรียในหอยนางรม.....	๓
2.2 น้ำอีเล็กโทรไลต์	๔
2.2.1 น้ำอีเล็กโทรไลต์ในการข่าเชื้อจุลินทรีย์.....	๖
2.3.1 การใช้กรดแลคติกในการลดเชื้อจุลินทรีย์.....	๙
2.4.1 สารสกัดชาเขียวในการข่าเชื้อจุลินทรีย์.....	๑๓
2.4.2 สารสกัดชาเขียวที่ใช้ในอาหาร	๑๔
บทที่ 3 การดำเนินงานวิจัย	๑๕
3.1 วัสดุ และอุปกรณ์.....	๑๕
การเตรียม Epigallocatechin gallate	๑๗
3.2 ขั้นตอนการดำเนินงานวิจัย.....	๑๘

หน้า

3.2.1 ความสามารถในการยับยั้งการเจริญจุลินทรีย์ของ Epigallocatechingallate	18
3.2.2 ความสามารถในการยับยั้งการเจริญจุลินทรีย์ของกรดแลคติก.....	18
3.2.3 ศึกษาผลของน้ำอีเล็กโโทรไลต์ต่อจุลชีววิทยา สมบัติทางเคมี และกายภาพของหอย นางรมที่ผ่านการทำความสะอาดเบื้องต้นด้วยน้ำอีเล็กโโทรไลต์เทียบกับตัวอย่าง ควบคุม.....	18
3.2.4 ศึกษาผลของกรดแลคติกต่อต่อจุลชีววิทยา สมบัติทางเคมี และกายภาพของหอย นางรมที่ผ่านการทำความสะอาดเบื้องต้นด้วยกรดแลคติกเทียบกับตัวอย่างควบคุม ...	18
3.2.5 ศึกษาการเปลี่ยนแปลงต่อจุลชีววิทยา สมบัติทางเคมี และกายภาพของหอยนางรม เมื่อแช่ใน Epigallocatechin gallate ระหว่างการเก็บรักษาที่ $4\pm2^{\circ}\text{C}$	19
3.2.6 การวิเคราะห์ทางสถิตि	20
บทที่ 4 ผลและวิจารณ์ผลการทดลอง.....	21
4.1 ความสามารถในการยับยั้งการเจริญของจุลินทรีย์ของสารสกัดชาเขียว (Epigallocatechin gallate)	21
4.2 ความสามารถในการยับยั้งการเจริญของจุลินทรีย์ของกรดแลคติก.....	22
4.3 ผลของน้ำอีเล็กโโทรไลต์ต่อจุลชีววิทยา สมบัติทางเคมี และกายภาพของหอยนางรมที่ผ่าน ^{การทำความสะอาดเบื้องต้นด้วยน้ำอีเล็กโโทรไลต์.....}	25
4.4 ผลของกรดแลคติกต่อจุลชีววิทยา สมบัติทางเคมี และกายภาพของหอยนางรมที่ผ่านการทำความสะอาดเบื้องต้นด้วยกรดแลคติก.....	32
4.5 การศึกษาผลของสารสกัดชาเขียวต่อจุลชีววิทยา สมบัติทางเคมี และกายภาพของหอย นางรมระหว่างการเก็บที่อุณหภูมิ $4\pm2^{\circ}\text{C}$	39
บทที่ 5 สรุปผลการทดลองและข้อเสนอแนะ	60
รายการอ้างอิง	62
ภาคผนวก ก	70
ภาคผนวก ข	71
ภาคผนวก ค	75

หน้า

ภาคผนวก ง	81
ภาคผนวก จ	82
ประวัติผู้เขียนวิทยานิพนธ์	88



จุฬาลงกรณ์มหาวิทยาลัย
CHULALONGKORN UNIVERSITY

สารบัญรูปภาพ

หน้า

รูปที่ 2.1 หอยนางรมพันธุ์ปากจีบ.....	1
รูปที่ 2.2 การทำงานภายใต้เครื่องผลิตน้ำอิเล็กโทรไลต์	5
รูปที่ 2.3 การเปลี่ยนแปลงของสารที่ข้าวแอโนได แล้วแคโทดในการผลิตน้ำอิเล็กโทรไลต์.....	5
รูปที่ 2.4 Mode of action น้ำอิเล็กโทรไลต์ในการฆ่าเชื้อจุลินทรีย์	6
รูปที่ 2. 5 การเปลี่ยนแปลงความเข้มข้นของคลอรินอิสระ (% AAC) ต่อค่า pH ประกอบไปด้วย ก๊าซคลอริน (Cl_2), กรดไฮโปคลอรัส(HOCl) และไฮโปคลอไรต์ (OCl^-)	7
รูปที่ 2.6 โครงสร้างในรูป L(+) และ D(-) ของกรดแลคติก	8
รูปที่ 2.7 โครงสร้างของสารสกัดชาเขียวทั้ง 8 อนุพันธ์.....	12
รูปที่ 2.8 กลไกของสาร EGCG ในการฆ่าเชื้อแบคทีเรีย	13
รูปที่ 2. 9 การเปลี่ยนแปลงของสีในเนื้อวัว	14
รูปที่ 4.1 องค์ประกอบของผนังเซลล์ของแบคทีเรียแกรมบวกและแบคทีเรียแกรมลบ	23
รูปที่ 4.2 จำนวนของเชื้อจุลินทรีย์ทั้งหมด, <i>Staphylococcus aureus</i> และ lactic acid bacteria (LAB) ที่ลดลงของหอยนางรมที่ผ่านการทำความสะอาดเบื้องต้นด้วยน้ำอิเล็กโทรไลต์ที่ความเข้มข้นต่างๆ เป็นเวลา 30 นาที	26
รูปที่ 4.3 การยับยั้งการเจริญของเชื้อ <i>Vibrio. parahaemolyticus</i> ที่ลดลงของหอยนางรมที่ผ่านการทำความสะอาดเบื้องต้นด้วยน้ำอิเล็กโทรไลต์ที่ความเข้มข้นต่างๆ เป็นเวลา 30 นาที.....	26
รูปที่ 4.4 ค่าแรงตัดเฉือนส่วนท้องของหอยนางรมที่ผ่านการทำความสะอาดเบื้องต้นด้วยน้ำอิเล็กโทรไลต์ที่ความเข้มข้นต่างๆ เป็นเวลา 30 นาที.....	27
รูปที่ 4.5 ค่าแรงตัดเฉือนส่วนกล้ามเนื้อของหอยนางรมที่ผ่านการทำความสะอาดเบื้องต้นด้วยน้ำอิเล็กโทรไลต์ที่ความเข้มข้นต่างๆ เป็นเวลา 30 นาที.....	28
รูปที่ 4.6 ปริมาณด่างที่ระเหยได้ทั้งหมดในหอยนางรมที่ผ่านการทำความสะอาดเบื้องต้นด้วยน้ำอิเล็กโทรไลต์ที่ความเข้มข้นต่างๆ เป็นเวลา 30 นาที.....	30

รูปที่ 4.7 ค่าความเป็นกรดด่างของหอยนางรมที่ผ่านการทำความสะอาดเบื้องต้นด้วยน้ำอีเล็กโทรไลต์ที่ความเข้มข้นต่างๆ เป็นเวลา 30 นาที.....	31
รูปที่ 4.8 จำนวนของเชื้อจุลินทรีย์ทั้งหมด, <i>S. aureus</i> และ lactic acid bacteria (LAB) ที่ลดลงของหอยนางรมที่ผ่านการทำความสะอาดเบื้องต้นด้วยกรดแลคติกที่ความเข้มข้นต่างๆ เป็นเวลา 30 นาที.....	33
รูปที่ 4.9 จำนวนเชื้อ <i>V. parahaemolyticus</i> ที่ลดลงในหอยนางรมที่ผ่านการทำความสะอาดเบื้องต้นด้วยกรดแลคติกที่ความเข้มข้นต่างๆ เป็นเวลา 30 นาที.....	33
รูปที่ 4.10 ค่าแรงตัดเนื่องส่วนท้อง (belly) ของหอยนางรมที่ผ่านการทำความสะอาดเบื้องต้นด้วยกรดแลคติกที่ความเข้มข้นต่างๆ เป็นเวลา 30 นาที.....	34
รูปที่ 4.11 ค่าแรงตัดเฉือนส่วนกล้ามเนื้อ (adductor muscle) ของหอยนางรมที่ผ่านการทำความสะอาดเบื้องต้นด้วยกรดแลคติกที่ความเข้มข้นต่างๆ เป็นเวลา 30 นาที.....	35
รูปที่ 4.12 ปริมาณด่างที่ระเหยได้ทั้งหมดในหอยนางรมที่ผ่านการทำความสะอาดเบื้องต้นด้วยกรดแลคติกที่ความเข้มข้นต่างๆ เป็นเวลา 30 นาที	37
รูปที่ 4. 13 ค่าความเป็นกรดด่างของหอยนางรมที่ผ่านการทำความสะอาดเบื้องต้นด้วยกรดแลคติกที่ความเข้มข้นต่างๆ เป็นเวลา 30 นาที.....	38
รูปที่ 4.14 ปริมาณจุลินทรีย์ที่มีชีวิตทั้งหมดในหอยนางรมที่เก็บที่อุณหภูมิ 4 ± 2 °C	40
รูปที่ 4.15 ปริมาณเชื้อ <i>E. coli</i> ในหอยนางรมที่เก็บที่อุณหภูมิ 4 ± 2 °C	42
รูปที่ 4.16 ปริมาณเชื้อ <i>Vibrio parahaemolyticus</i> ในหอยนางรมที่เก็บที่อุณหภูมิ 4 ± 2 °C	43
รูปที่ 4.17 ปริมาณเชื้อ <i>Salmonella</i> spp. ในหอยนางรมที่เก็บที่อุณหภูมิ 4 ± 2 °C.....	44
รูปที่ 4.18 ปริมาณเชื้อ <i>Staphylococcus aureus</i> ในหอยนางรมที่เก็บที่อุณหภูมิ 4 ± 2 °C.....	45
รูปที่ 4.19 ปริมาณเชื้อ Lactic acid bacteria (LAB) ในหอยนางรมที่เก็บที่อุณหภูมิ 4 ± 2 °C	46
รูปที่ 4.20 ค่าแรงตัดส่วนของท้องหอยนางรมที่เก็บที่อุณหภูมิ 4 ± 2 °C.....	48
รูปที่ 4.21 ค่าแรงตัดส่วนของกล้ามเนื้อหอยนางรมที่เก็บที่อุณหภูมิ 4 ± 2 °C	49
รูปที่ 4.22 ค่า L* ส่วนท้องหอยนางรมที่เก็บที่อุณหภูมิ 4 ± 2 °C	51
รูปที่ 4.23 ค่า L* ส่วนกล้ามเนื้อหอยนางรมที่เก็บที่อุณหภูมิ 4 ± 2 °C	52
รูปที่ 4.24 ค่า a* ส่วนท้องหอยนางรมที่เก็บที่อุณหภูมิ 4 ± 2 °C	53

รูปที่ 4.25 ค่า a^* ส่วนกล้ามเนื้อหอยนางรมที่เก็บที่อุณหภูมิ 4 ± 2 °C.....	54
รูปที่ 4.26 ค่า b^* ส่วนท้องหอยนางรมที่เก็บที่อุณหภูมิ 4 ± 2 °C.....	55
รูปที่ 4.27 ค่า b^* ส่วนกล้ามเนื้อหอยนางรมที่เก็บที่อุณหภูมิ 4 ± 2 °C.....	56
รูปที่ 4.28 ปริมาณด่างที่ระเหยทั้งหมดของเนื้อหอยนางรมที่เก็บที่อุณหภูมิ 4 ± 2 °C	57
รูปที่ 4. 29 ค่าความเป็นกรดด่างของเนื้อหอยนางรมเก็บที่อุณหภูมิ 4 ± 2 °C	59



สารบัญตาราง

หน้า

ตารางที่ 2.1 ลำดับความสามารถในการจับอนุมูลอิสระ (free radicals และ reactive oxygen species; ROS).....	11
ตารางที่ 3.1 แสดงสภาพต่างๆที่ใช้ในการเก็บรักษาหอยนางรม	19
ตารางที่ 4.1 ค่าความเข้มข้นต่ำสุดที่สามารถยับยั้งการเจริญของเชื้อแบคทีเรีย (MIC) และค่าความเข้มข้นต่ำสุดที่ฆ่าเชื้อแบคทีเรีย (MBC)	24
ตารางที่ 4.2 ค่าความเข้มข้นต่ำสุดที่สามารถยับยั้งการเจริญของเชื้อแบคทีเรีย (MIC) และค่าความเข้มข้นต่ำสุดที่ฆ่าเชื้อแบคทีเรีย (MBC)	24
ตารางที่ 4.3 ค่าสี L* a* และ b* ส่วนท้อง (belly) ของหอยนางรมที่ผ่านการทำความสะอาดเบื้องต้นด้วยน้ำอิเล็กโทรไลต์ที่ความเข้มข้นต่างๆ เป็นเวลา 30 นาที	29
ตารางที่ 4.4 ค่าสี L* a* และ b* ส่วนกล้ามเนื้อ (adductor muscle) ของหอยนางรมที่ผ่านการทำความสะอาดเบื้องต้นด้วยน้ำอิเล็กโทรไลต์ที่ความเข้มข้นต่างๆ เป็นเวลา 30 นาที	29
ตารางที่ 4.5 ค่าสี L* a* และ b* ส่วนท้อง (belly) ของหอยนางรมที่ผ่านการทำความสะอาดเบื้องต้นด้วยกรดแลคติกที่ความเข้มข้นต่างๆ เป็นเวลา 30 นาที.....	36
ตารางที่ 4.6 ค่าสี L* a* และ b* ส่วนกล้ามเนื้อ (adductor muscle) ของหอยนางรมที่ผ่านการทำความสะอาดเบื้องต้นด้วยกรดแลคติกที่ความเข้มข้นต่างๆ เป็นเวลา 30 นาที	36

บทที่ 1 บทนำ

ความเป็นมาและความสำคัญของปัญหา

ปัจจุบันหอยนางรมได้รับความนิยมแพร่หลายในหมู่นักท่องเที่ยว และผู้บริโภคภายในประเทศ อย่างไรก็ตามความเสี่ยงจากการบริโภคหอยนางรมสดแกะเปลือก คือภัยทางจุลินทรีย์ ปัญหาดังกล่าวส่งผลกระทบทั้งด้านเศรษฐกิจของผู้เกี่ยวข้อง และคุณภาพชีวิตของผู้บริโภค ดังนั้น ความปลอดภัยของอาหารเป็นข้อกังวลสำคัญของผู้บริโภคปัจจุบัน และเป็นสิทธิขั้นพื้นฐานที่ผู้บริโภค ซึ่งได้รับมาตรฐานและกระบวนการขับเคลื่อนอาหารปลอดภัย เพื่อสร้างความเชื่อมั่นแก่ผู้บริโภค สะท้อนสู่แนวทางการผลิตอาหาร และรวมถึงการบ่งชี้สาเหตุของปัญหาที่อาจเกิดขึ้น หอยนางรมสดแกะเปลือกบรรจุกระปุกที่มีวางขายตามห้องตลาดทั่วไปพบว่ามีการปนเปื้อนของเชื้อแบคทีเรียที่ก่อโรคทางเดินอาหาร *Vibrio parahaemolyticus*, *Vibrio vulnificus*, *Escherichia coli*, *Staphylococcus aureus*, *Salmonella* spp. และ *Bacillus* spp. เป็นต้น (กรมประมง, 2540) ทั้งนี้หอยนางรมมีการปนเปื้อนแบคทีเรียจากการผลิต เนื่องจากขั้นตอนการทำความสะอาด พบร่วมมือการทำความสะอาดด้วยน้ำประปา ซึ่งน้ำดังกล่าวไม่สามารถลดจำนวนเชื้อจุลินทรีย์เริ่มต้นในระดับที่ยอมรับได้ จึงมีแนวคิดในการนำน้ำอิเล็กโทรไลต์ และกรดแลคติกมาใช้ในการทำความสะอาด เนื่องจากสามารถลดปริมาณและยับยั้งการเจริญของเชื้อจุลินทรีย์เริ่มต้นได้ อีกทั้งยังเป็นสารที่ไม่เป็นอันตรายต่อมนุษย์ และกรดแลคติกยังได้รับการยอมรับจากองค์กรอนามัยโลก (WHO) ในการนำมาใช้ในการทำความสะอาดเบื้องต้นวัตถุดิบเพื่อลดปริมาณการปนเปื้อนของเชื้อจุลินทรีย์ดังกล่าว ได้ โดยทั่วไปในห้องตลาดที่ขายหอยนางรมสดแกะเปลือกบรรจุกระปุกนั้นมีการแซ่ด้วยสารกันเสีย เพื่อยืดอายุการเก็บรักษา ซึ่งใช้ความเข้มข้นที่เกินกฎหมายกำหนด คือ สารละลายโพแทสเซียมซोเดียม 3% โดยกฎหมายอนุญาตให้ใช้ 0.1% ซึ่งการใช้สารดังกล่าวที่เกิดกฎหมายกำหนดจะก่อให้เกิดอันตรายที่จะเกิดขึ้นในผู้บริโภค คือ อาการคลื่นไส้ อาเจียน ท้องเสีย และอาจทำให้เสียชีวิต จึงมีความสนใจในสารสกัดจากรرمชาติเพื่อลดความเสี่ยงที่จะเกิดขึ้นในด้านสุขภาพของผู้บริโภค คือการใช้สารสกัดจากชาเขียว เนื่องจากมีฤทธิ์ในการยับยั้งการเจริญของจุลินทรีย์ที่ก่อให้เกิดโรคในทางเดินอาหาร และจุลินทรีย์ที่ทำให้อาหารเน่าเสีย ซึ่งอาจส่งผลต่อกุณลักษณะทางเคมี กายภาพ และสามารถช่วยยืดอายุการเก็บหอยนางรมสดแกะเปลือกบรรจุกระปุกให้นานขึ้น

งานวิจัยนี้มีวัตถุประสงค์เพื่อควบคุมการเสื่อมเสียในระหว่างการเก็บรักษาโดยใช้ Epigallocatechin gallate (EGCG) จากชาเขียวแทนวัตถุกันเสีย และการทำความสะอาดเบื้องต้นด้วยน้ำอิเล็กโทรไลต์ กรดแอลคติกในการนำไปใช้กับหอยนางรมในระหว่างการเก็บที่อุณหภูมิ $4\pm2\text{ }^{\circ}\text{C}$



จุฬาลงกรณ์มหาวิทยาลัย
CHULALONGKORN UNIVERSITY

บทที่ 2

วารสารปริทัศน์

2.1 หอยนางรม

หอยนางรมในประเทศไทยที่เลี้ยงอยู่โดยทั่วไป หอยนางรมพันธุ์เล็กหรือหอยปากจีบ หอยนางรมพันธุ์นี้มีการเลี้ยงกันมากทางภาคตะวันออกของประเทศไทย ส่วนอีก 2 พันธุ์ เป็นหอยนางรมที่ค่อนข้างมีขนาดใหญ่เรียกว่า หอยตะโกร์กรรมภารา และหอยตะโกร์กรรมคำ แม้จะมีการเลี้ยงกันบ้างในภาคตะวันออก แต่การเลี้ยงส่วนใหญ่อยู่ในเขตจังหวัดภาคใต้ โดยเฉพาะจังหวัดสุราษฎร์ธานี (สายรัตน์ กลินสุคนธ์, 2548) สำหรับการศึกษาครั้งนี้จะทำการศึกษาหอยนางรมพันธุ์ปากจีบ ดังรูปที่ 2.1 หอยนางรมโดยทั่วไปมีเกณฑ์การจัดความสดโดยค่าความเป็นกรดด่าง (pH) ต้องมีค่ามากกว่า 6 แสดงว่าหอยนางรมมีความสดดี ซึ่งถ้าหอยนางรมมีค่า pH น้อยกว่า 5 จะบ่งชี้ว่าหอยนางรมเริ่มมีการเน่าเสียเกิดขึ้น (Gacutan, 1974) และค่าปริมาณด่างที่ระเหยได้ทั้งหมด (TVB-N) ต้องมีค่าไม่เกิน $30 \text{ mgN}/100\text{g}$ ซึ่งจัดว่าหอยนางรมมีความสด แต่ถ้ามีค่ามากกว่า $30 \text{ mgN}/100\text{g}$ จัดว่าหอยนางรมมีการเน่าเสียเกิดขึ้น (Harpaz et al. 2003)



รูปที่ 2.1 หอยนางรมพันธุ์ปากจีบ

2.1.1 การทำความสะอาดหอยนางรม

การทำความสะอาดเบื้องต้นเป็นขั้นตอนที่สำคัญหลังการจับสัตว์น้ำเพื่อลดการปนเปื้อนที่ติดมาจากการสิ่งแวดล้อม เช่น คน และอุปกรณ์ เป็นการลดปริมาณจุลทรีย์เริ่มต้น และจุลทรียก่อโรคที่มีโอกาสตรวจพบ เช่น faecal coliforms, *E. coli*, *Salmonella spp.* และ *Staph. aureus* เป็นต้น(พงษ์เทพ วิไลพันธ์, 2556) โดยทั่วไปนอกจากจะใช้น้ำที่มีอุณหภูมิตามแล้วยังต้องมีการเติมสารเคมีที่สามารถฆ่าเชื้อแบคทีเรียในน้ำได้ สารเคมีที่เติมนี้ทั้งที่เป็นตัวฆ่าหรืออย่างการเจริญของแบคทีเรีย สารที่นิยมใช้ส่วนมาก คือ โซเดียมไอก็อกลอโรท คลอรินไดออกไซด์ เป็นต้น (Fabrizio & Cutter 2004; Donn & Cameron, 1991)

Park, Chung & Ha (2018) ศึกษาเชิงเดี่ยมไฮโดรคลอรอฟิลที่ความเข้มข้น 20, 40, 60 และ 80 ppm โดยวิธีการเขย่า 50 rpm เป็นเวลา 5 นาที ที่อุณหภูมิห้อง ($20-25^{\circ}\text{C}$) ทำให้เชื้อ *V. vulnificus* ในหอยนางรมลดลง 0.2 ± 0.02 , 0.3 ± 0.08 , 0.8 ± 0.07 และ $1.0\pm0.07 \log_{10} \text{CFU/g}$ ตามลำดับ พบร่วมกับความเข้มข้น 60 และ 80 ppm ให้ผลในการลดเชื้อแตกต่างจากความเข้มข้น 20 และ 40 ppm อย่างมีนัยสำคัญ

2.1.2 สารกันเสียที่ใช้ในการเก็บรักษาอย่างไรมีส่วนต่อไป

การใช้สารกันเสียจัดเป็นวัตถุเจือปนอาหารเพื่อกันน้ำมันอาหาร เนื่องจากสารกันเสียมีคุณสมบัติในการยับยั้งเชื้อจุลินทรีย์ และช่วยถนอมอาหารให้มีอายุการเก็บรักษาได้นานขึ้น จึงได้มีการนำหอยนางรมหลังจากการกระบวนการทำความสะอาดเบื้องต้นมาแช่ลงในสารกันเสีย เพื่อใช้ในขั้นตอนการเก็บรักษา ซึ่งสารกันเสียที่ใช้ ได้แก่ โพแทสเซียมซอร์เบต, โซเดียมเบนโซเอต, โพแทสเซียมอลูมิเนียมซัลเฟต เป็นต้น โดยกฎหมายอนุญาตให้ใช้ โพแทสเซียมซอร์เบต 0.1 %, โซเดียมเบนโซเอต 0.2 % และโพแทสเซียมอลูมิเนียมซัลเฟต 0.015 % (สำนักงานคณะกรรมการอาหารและยา, 2522) การใช้สารกันเสียเพื่อกันน้ำมันอาหารต้องคำนึงถึงความปลอดภัยของผู้บริโภคเป็นสำคัญ (Sharif et al. 2017; Sofos, 2000)

จากรายงานของ สวามีนี ชีระวุฒิ และคณะ (2557) การใช้สารกันเสียโพแทสเซียมซอร์เบต 3% ในการแข่งขันนมรرم เก็บรักษาที่อุณหภูมิ $4\pm1^{\circ}\text{C}$ เมื่อพิจารณาจากจำนวนจุลินทรีย์ไม่เกิน $6 \log_{10} \text{CFU/g}$ พบร่วมมืออยู่กับการเก็บรักษา 8 วัน และยังคงพบ เชื้อ *E. coli* และ โคลิฟอร์มแบคทีเรีย ในตัวอย่างโดยมีค่าไม่เกินมาตรฐาน ($2 \log_{10} \text{CFU/g}$) และปริมาณด่างที่ระเหยได้ทั้งหมด (TVB-N) พบร่วมกับหอยนางรมเริ่มต้นมีค่า $25-30 \text{ mgN/100g}$ วันสุดท้ายของการเก็บรักษามีค่าอยู่ที่ 42.14 mgN/100g

จากรายงานของ รัตนาภรณ์ พิมพ์แน่น และคณะ (2557) การใช้สารกันเสียในการแข็งหอยนางรมร่วมกับการปรับสภาพบรรยายกาศ พบร่วมกับการใช้สารกันเสียเป็นสารละลายผสมระหว่างโพแทสเซียมชอร์เบต 3% และโซเดียมแล็กเตต 2.5 % และปรับสภาพบรรยายกาศภายในภาชนะบรรจุ 60%CO₂:20%O₂:20%N₂ โดยเก็บรักษาที่อุณหภูมิ $4\pm1^{\circ}\text{C}$ ผลการศึกษาพบว่าหอยนางรมสามารถเก็บรักษาได้นาน 10 วัน

Efiuvwevwere & Amadi (2015) ศึกษาการเปลี่ยนแปลงคุณภาพทางจุลชีวิทยา และทางเคมี ในหอยนางรมโดยใช้สารกันเสียประเภทต่างๆ ดังนี้ โซเดียมเบนโซเอต 0.1% (w/v) และโพแทสเซียมอลูมิเนียมซัลเฟต 1% (w/v) โดยใช้วิธีการจุ่ม และเก็บรักษาที่อุณหภูมิ 30 ± 2 °C พบร่วงการใช้โซเดียมเบนโซเอต มีอายุการเก็บรักษา 2 วัน ไม่พบการเจริญของเชื้อ *Vibrio* spp. และ *E. coli* มีค่า pH วันแรกคือ 5.32 ± 0.04 และวันสุดท้าย 4.78 ± 0.03 และโพแทสเซียม

อัลูมิเนียมชั้ลเฟต มีอายุการเก็บรักษา 3 วัน ไม่พบรการเจริญของเชื้อ *Vibrio spp.* และ *E. coli* มีค่า pH วันแรกคือ 4.10 ± 0.06 และวันสุดท้าย 4.00 ± 0.06

2.1.3 การปนเปื้อนเชื้อแบคทีเรียในหอยนางรม

เนื่องจากหอยนางรมมีลักษณะการกินอาหารโดยการดูดและกรอง ทำให้มีมีชีวิตขนาดเล็กที่ล่องลอยอยู่ในกระแสน้ำไม่ว่าจะเป็นแพลงก์ตอนพืช แพลงก์ตอนสัตว์ แบคทีเรีย หรือแมลงแต่เศษ din ที่แขวนลอยอยู่ในน้ำมีโอกาสที่จะสะสมอยู่ในตัวหอยได้ง่าย ประกอบกับพื้นที่เลี้ยงหอยส่วนใหญ่มักตั้งอยู่บริเวณปากแม่น้ำ หรือในเขตที่ได้รับอิทธิพลจากน้ำจืดและการไหลลากของแม่น้ำลำคลอง บริเวณดังกล่าวเป็นแหล่งรองรับของเสียต่างๆ ที่พัดมากับแม่น้ำลำคลอง ไม่ว่าจะเป็นของเสียจากชุมชน เกษตรกรรม หรืออุตสาหกรรม ทำให้มีภาระงานการปนเปื้อนของแบคทีเรียในหอยอยู่เสมอ เนื่องจากหอยนางรมเป็นอาหารที่ผู้บริโภคนิยมบริโภคสดแบบสด กรมประมง, (2540) รายงานว่าผู้บริโภคที่มีการเจ็บป่วยหลังรับประทานหอยนางรมสด ซึ่งมีสาเหตุมาจากการเชื้อแบคทีเรียดังนี้ *V. parahaemolyticus*, *V. vulnificus*, *E. coli*, *Staph. aureus*, *Salmonella spp.* และ *B. cereus* เป็นต้น

มนตรี บรรณรงค์ และคณะ (2540) รายงานการปนเปื้อนของแบคทีเรียในหอยนางรม โดยมีปริมาณจุลินทรีย์ทั้งหมด 3.6×10^5 CFU/g, *Vibrio spp.* 1.0×10^4 CFU/g, *V. parahaemolyticus* 1.8×10^4 CFU/g และ *E. coli* 30.46 MPN/g

สุดสายชล หอมทอง และชาภรณ์ วงศ์พุฒ (2549) รายงานการสำรวจการปนเปื้อนของ *Vibrio spp.* ในหอยนางรมที่เพาะเลี้ยงบริเวณอ่างศิลา จังหวัดชลบุรี ระหว่างเดือนตุลาคม ถึงเดือนธันวาคม 2546 พบรการปนเปื้อนของ *Vibrio spp.* 73.33 เปอร์เซ็นต์ และซึ่งสามารถแยก *Vibrio* ได้ 6 ชนิด 41 ไอโซเลท คือ *V. parahaemolyticus* จำนวน 13 ไอโซเลท, *V. alginolyticus* จำนวน 9 ไอโซเลท, *V. vulnificus* จำนวน 7 ไอโซเลท, *V. fluvialis* จำนวน 5 ไอโซเลท, *V. damsae* จำนวน 3 ไอโซเลท และ *V. hollisae* จำนวน 4 ไอโซเลท ดังนั้นจากการศึกษานี้ทำให้ทราบว่าการบริโภคหอยนางรมสดอาจเป็นสาเหตุหนึ่งที่ทำให้เกิดโรคกระเพาะอาหารลำไส้อักเสบได้

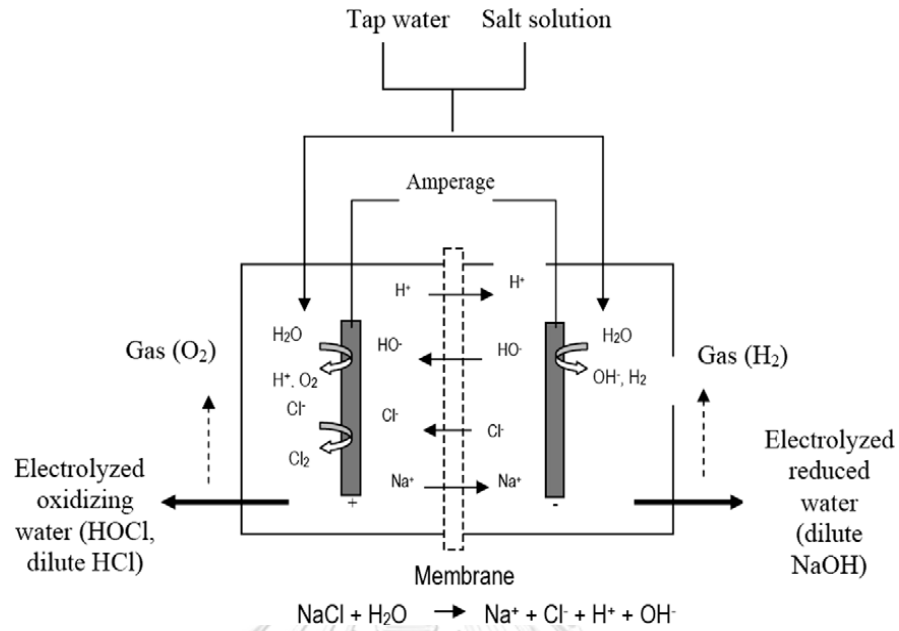
สุรีย์ นานาสมบัติ และคณะ (2556) ทำการประเมินการปนเปื้อนของ *V. parahaemolyticus* ในอาหารทะเลสด ได้แก่ กุ้ง ปลา ปลาหมึก หอยนางรม และหอยแมลงภู่ ที่จำหน่ายในตลาดในกรุงเทพ โดยอาศัยวิธี Most Probable Number พบร่วมปริมาณเชื้ออยู่ในช่วง 24 ถึงมากกว่า 11,000 MPN/g โดยพบรการปนเปื้อนในหอยนางรมมากที่สุด คือ ร้อยละ 90 โดยตรวจพบ *V. parahaemolyticus* ในปริมาณที่สูง เนื่องจากเชื้อนี้มีคุณ�性คายอยู่ในแพลงตอนเข้าไปจึงทำให้เชื้อเข้าสู่หอยนางรม เขตร้อน โดยจะอยู่ในแพลงตอนเมื่อหอยนางรมกินแพลงตอนเข้าไปจึงทำให้เชื้อเข้าสู่หอยนางรม

Lee et al. (2010) ทำการศึกษาสายพันธุ์ของเชื้อ *Lactobacillus* spp. ในหอยนางรมที่สำรวจในอ่าว Geunso ประเทศเกาหลีใต้ ตั้งแต่เดือนกุมภาพันธ์-กรกฎาคม 2008 ด้วยวิธี molecular identification จากการสกัด RNA พบร่วมีทั้งหมด 83 สายพันธุ์ โดยสายพันธุ์ที่พบมากที่สุดเรียงตามลำดับดังนี้ *L. paracasei*, *L. johnsonii* และ *L. plantarum*

Silva et al. (2015) ศึกษาเชื้อแบคทีเรียในกลุ่มก่อโรคทางเดินอาหารที่พบในหอยนางรมที่สำรวจในอ่าว Camamu ประเทศบราซิล ในเดือนเมษายน, กรกฎาคม และตุลาคม 2012 ด้วยวิธี PCR-DGGE พบร่วม เชื้อที่พบมากที่สุดได้แก่ *V. parahaemolyticus*, *E. coli*, *Staph. aureus* และ *S. Typhimurium*

2.2 น้ำอิเล็กโทรไลต์

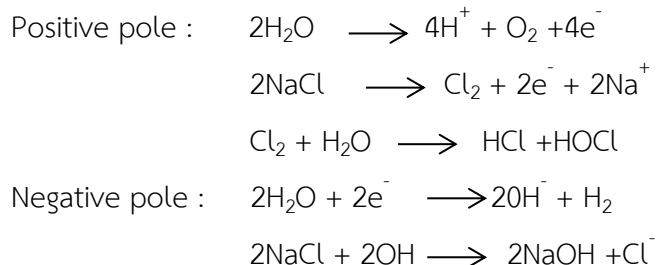
น้ำอิเล็กโทรไลต์ หรือน้ำ EW กำลังเป็นที่นิยมในอุตสาหกรรมอาหาร เนื่องจากเป็นมิตรต่อสิ่งแวดล้อม มีความปลอดภัยในการใช้งาน ประหยัดค่าใช้จ่าย และมีประสิทธิภาพในการยับยั้งเชื้อจุลินทรีย์ (Zhao, 2016) มีการใช้งานอย่างกว้างขวางในประเทศไทยปัจจุบันโดยใช้ในการบำบัดกลืนและทำความสะอาดในโรงพยาบาล ปัจจุบันได้ทดลองมาประยุกต์ใช้ในอุตสาหกรรมภาคการเกษตรเพื่อลดเชื้อแบคทีเรียที่ติดมากับผลิตผลทางการเกษตร เนื่องจากกรรมวิธีในการผลิตน้ำอิเล็กโทรไลต์ คือใช้โซเดียมคลอไรด์เป็นวัตถุดิบในการผลิต รวมกับการใช้ข้าวทางไฟฟ้าเคมีในการแยกประจุของสารละลายน้ำโซเดียมคลอไรด์ โดยสามารถผลิตน้ำอิเล็กโทรไลต์ออกมากได้สองแบบ คือ แบบแรกผลิตจากข้าวแคโทด (ข้าวขาว) เป็นน้ำอิเล็กโทรไลต์ชนิดที่มีพีเอชมากกว่า 7 และมีโซเดียมไฮดรอกไซด์ละลายน้ำ ส่วนข้าวแอโนด (ข้าวเหลือง) ผลิตน้ำอิเล็กโทรไลต์ที่มีพีเอชน้อยกว่า 7 และมีกรดไฮโดรคลอรัส และไฮโดรคลอไรด์ละลายน้ำ (Huang et al., 2006) ดังรูปที่ 2.2



รูปที่ 2.2 การทำงานภายในเครื่องผลิตน้ำอิเล็กโทรไลต์
ที่มา: Huang et al. (2006)

หลักการผลิตน้ำอิเล็กโทรไลต์ มีการเปลี่ยนแปลงที่เกิดขึ้นดังรูปที่ 2.3

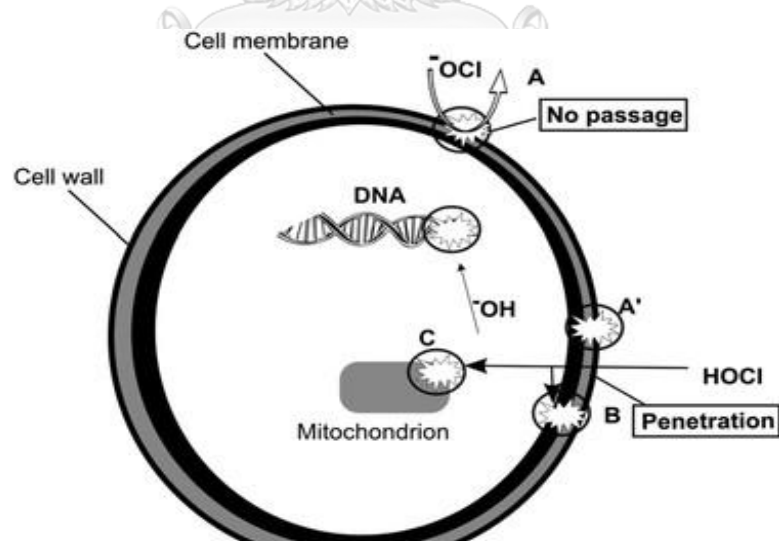
CHULALONGKORN UNIVERSITY



รูปที่ 2.3 การเปลี่ยนแปลงของสารที่ข้าวแอนด์ และแคโทดในการผลิตน้ำอิเล็กโทรไลต์
ที่มา: Huang et al. (2006)

2.2.1 น้ำอิเล็กโทรไลต์ในการฆ่าเชื้อจุลินทรีย์

น้ำอิเล็กโทรไลต์มีสารสำคัญในการฆ่าเชื้อจุลินทรีย์ คือกรดไฮโปคลอรัส (HOCl) และไฮโปคลอไรท์ (OCl⁻) โดยน้ำอิเล็กโทรไลต์จะมีค่า pH อยู่ในช่วง 5-6 ทำให้มีปริมาณของกรดไฮโปคลอรัส ที่มีฤทธิ์ในการฆ่าเชื้อจุลินทรีย์ ซึ่งกรดไฮโปคลอรัสไม่มีประจุจึงสามารถแทรกซึมเข้าไปในเยื่อหุ้มด้านในของเซลล์แบคทีเรีย ส่วนไฮโปคลอไรท์เป็นสารที่มีประจุไม่สามารถผ่านเยื่อหุ้มเซลล์ของ เชื้อจุลินทรีย์ เนื่องผนังเซลล์มีชั้นของ lipid bilayer เป็นชั้นที่ไม่ชอบน้ำ ดังนั้นจึงทำปฏิกิริยาจากภายนอกเซลล์เท่านั้น ดังในรูปที่ 2.4 (วงกลม A) โดยจะทำปฏิกิริยากับโปรตีนของผนังเซลล์ทำให้เกิดสารพิษในรูปของสารประกอบ N-chlorine ซึ่งจะยับยั้งเอนไซม์ที่ไวต่อการเกิดออกซิเดชัน และไปรบกวนเมtababolism ของเซลล์แบคทีเรียทำให้ตายในที่สุด และในทางตรงกันข้ามกรดไฮโปคลอรัสสามารถผ่านผนังเซลล์ และเยื่อหุ้มเซลล์ด้วยวิธีการแพร่ HOCl สามารถทำลายผนังเซลล์ (วงกลม A') และเข้ามาทำลายเยื่อหุ้มเซลล์ (วงกลม B) นอกจากนี้เมื่อเข้ามาภายในเซลล์ (วงกลม C) พบร่วม HOCl ทำให้เกิดการเปลี่ยนแปลงโครงสร้าง DNA ทำให้กระบวนการสังเคราะห์ DNA เกิดขึ้นได้อย่างไม่สมบูรณ์ และเข้าทำลายในส่วน plasmid DNA และลด Transcription activity ด้วย และการทำลายเอนไซม์ของ HOCl พบร่วมทำลายเอนไซม์ดีไฮdroเจนเzaise (dehydrogenase) และรบกวนแหล่งสร้างพลังงานของจุลินทรีย์จึงตายในที่สุด (Rahman, Khan & Oh 2016) ดังรูปที่ 2.4

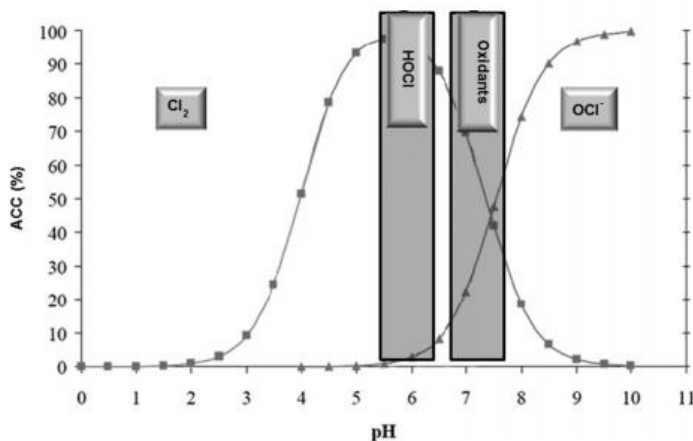


รูปที่ 2.4 Mode of action ของน้ำอิเล็กโทรไลต์ในการฆ่าเชื้อจุลินทรีย์

ที่มา: Rahman et al., (2016)

2.2.2 การใช้น้ำอิเล็กโทรไลต์ในอาหาร

น้ำอิเล็กโทรไลต์มีการใช้งานอย่างแพร่หลายในประเทศไทย โดยเฉพาะในอุตสาหกรรมอาหาร เช่น ผัก ผลไม้ ไข่ เนื้อสัตว์ และอาหารทะเล เนื่องจากสามารถยังคงการเจริญของเชื้อจุลินทรีย์ที่ก่อให้เกิดโรคทางเดินอาหาร และจุลินทรีย์ที่ทำให้อาหารเน่าเสียได้ (Huang et al., 2008) นอกจากน้ำอิเล็กโทรไลต์มีต้นทุนต่ำกว่าการใช้ กลูตราラลเดไฮด์ (glutaraldehyde) และโซเดียมไฮโปคลอรอไรท์ (Sodium hypochlorite) และน้ำอิเล็กโทรไลต์มีค่า pH ที่น้อยกว่า 7 ดังรูปที่ 2.5 ทำให้มีกรดไฮโปคลอรัส (HOCl) อยู่เป็นจำนวนมาก ซึ่งเป็นสารที่มีฤทธิ์ในการฆ่าเชื้อมากกว่าไฮโปคลอรอไรท์ (OCl^-) (Deza, Araujo, & Garrido, 2007) ดังนั้นน้ำอิเล็กโทรไลต์จึงมีประสิทธิภาพในการนำมาใช้ลดเชื้อจุลินทรีย์ในอาหาร



รูปที่ 2.5 การเปลี่ยนแปลงความเข้มข้นของคลอรินอิสระ (% AAC) ต่อค่า pH ประกอบไปด้วย ก๊าซคลอรีน (Cl_2), กรดไฮโปคลอรัส(HOCl) และไฮโปคลอรอไรท์ (OCl^-)

ที่มา: Rahman et al., (2016)

Park, Hung & Brackett (2002) ได้ศึกษาน้ำอิเล็กโทรไลต์ที่ความเข้มข้นของคลอรินอิสระ 50 ppm ในการลดเชื้อ *Campylobacter jejuni* ที่ปีกไก่ โดยนำปีกไก่ใส่ลงในถุงที่มีน้ำอิเล็กโทรไลต์บรรจุอยู่นำไปเยียบเป็นเวลา 10 และ 30 นาที โดยแบ่งการทดลองออกเป็นสองอุณหภูมิ คือ 23 และ 4 °C ที่อุณหภูมิ 23 °C ที่เวลา 10 นาที โดยเชือลดลงจาก 5.05 ± 0.14 เหลือ $2.09 \pm 0.09 \log_{10} \text{CFU/g}$ และที่เวลา 30 นาที โดยเชือลดลงจาก 5.05 ± 0.14 เหลือ $1.83 \pm 0.09 \log_{10} \text{CFU/g}$ และที่อุณหภูมิ 4 °C เวลา 10 นาที โดยเชือลดลงจาก 5.03 ± 0.08 เหลือ $2.23 \pm 0.13 \log_{10} \text{CFU/g}$

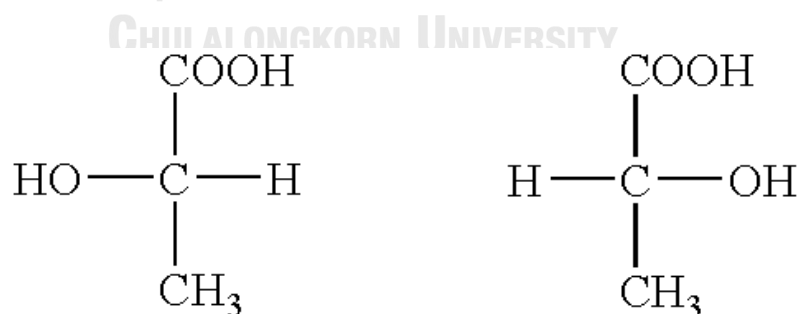
และที่เวลา 30 นาที โดยเชื้อลดลงจาก 5.03 ± 0.08 เหลือ $2.08 \pm 0.08 \log_{10} \text{CFU/g}$ ซึ่งพบว่าที่เวลาในการเขย่าที่เหมาะสมในการลดเชื้อคือ 30 นาที

Huang et al. (2006) ศึกษาการใช้น้ำอิเล็กโทรไลต์ที่ความเข้มข้นของคลอรินอิสระ $120 \pm 4 \text{ ppm}$ ในการยับยั้งเชื้อ *E. coli* และ *V. parahaemolyticus* ในปลา尼ล ด้วยวิธีการแช่ที่เวลา 10 นาที พบร่วเชื้อลดลง 0.76 และ $2.61 \log_{10} \text{CFU/cm}^2$ ตามลำดับ

2.3 กรดแลคติก (Lactic acid)

กรดแลคติก หรือ 2-hydroxypropanoic acid เป็นกรดอินทรีย์ที่โครงสร้างประกอบด้วยโมเลกุลของการบอน 3 อะตอนเมเริงตอกันที่การบอนตัวกลามมีหมูเมิล (-CH₃) และหมูคารบออกซิ (-COOH) มาจากอยุกรดแลคติกถูกค้นพบครั้งแรกโดย Carl Wilhelm Scheele ตั้งแต่ปีค.ศ. 1780 ที่พบว่าเป็นกรดที่ทำให่นมมักมีรสเปรี้ยว ซึ่งต่อมา Benninga (1990) รายงานว่าแบคทีเรียแลคติก เป็นแบคทีเรียที่สามารถผลิตกรดแลคติกได้

กรดแลคติกสามารถผลิตได้ทั้งจากการสังเคราะห์จากปฏิกิริยาเคมี และจากการกระบวนการหมักของเชื้อจุลินทรีย์ กรดแลคติกที่ผลิตโดยจุลินทรีย์จะมีความจำเพาะมากกว่า โดยแบคทีเรียแลคติกจะสามารถผลิตกรดแลคติกชนิด L(+) หรือ D(-) อย่างโดยยางหนึ่งหรือผสมกันขึ้นอยู่กับสายพันธุ์ของเชื้อ ดังรูป 2.5 อีกทั้งแบคทีเรียแลคติกจัดเป็นกลุ่มจุลินทรีย์ที่ปลอดภัย (Generally Recognized As Safe; GRAS) มีการนำมาใช้ประโยชน์ในการถนอมอาหารและผลิตภัณฑ์อาหารหมักต่างๆ ดังนั้ngrดแลคติกที่มาระบบการหมักของแบคทีเรียแลคติกจึงปลอดภัยสำหรับการนำมาใช้งานด้านต่างๆ (Ameen & Caruso, 2017)



รูปที่ 2.6 โครงสร้างในรูป L(+) และ D(-) ของกรดแลคติก

ที่มา: Ameen & Caruso, (2017)

2.3.1 การใช้กรดแลคติกในการลดเชื้อจุลินทรีย์

กรดแลคติกเป็นกรดอ่อนสามารถแทรกซึมเข้าสู่เซลล์ของแบคทีเรีย แล้วแตกตัวให้ไฮโดรเจนไอโอน (H^+) ภายในเซลล์ของแบคทีเรีย และไปรบกวนเมตาบอลิซึมของเซลล์แบคทีเรีย จากนั้นเซลล์จะตายลงในที่สุด ซึ่งปัจจัยที่มีผลต่อการยับยั้งเชื้อจุลินทรีย์ของกรดแลคติกได้แก่ ค่า pH, pKa และความเข้มข้นของกรดแลคติก (Mahmoud, 2014)

Snijder (1985) รายงานการใช้กรดแลคติกในเนื้อสัตว์และผลิตภัณฑ์มีการใช้เพื่อลดการปนเปื้อนในเนื้อวัว เป็ด ไก่ และชา袞หมูในโรงฆ่าสัตว์สามารถลดจำนวนจุลินทรีย์พวก *Salmonella* spp. ได้เป็นอย่างดี การใช้กรดแลคติกในอุตสาหกรรมเนื้อสัตว์ได้รับการยอมรับมากขึ้นเนื่องจากเป็นสารที่ได้จากการธรรมชาติและได้รับการรับรองความปลอดภัยในการใช้เป็นสารปรุงแต่งอาหาร กรดแลคติกมีผลในการฆ่าเชื้อจุลินทรีย์ทันที และช่วยลดการเจริญของจุลินทรีย์ที่ทนกรดการทำงานของกรดแลคติก เริ่มจากการลดแลคติกจะรวมตัวกับน้ำบริเวณผิวของผลิตภัณฑ์อาหารและซึมเข้าไปในเซลล์ จะทำให้เซลล์มีความเป็นกรดเพิ่มขึ้นเกิดกระบวนการทางเคมียับยั้งการเจริญของจุลินทรีย์

Kim (1995) รายงานว่าการนำเนื้อปลาจุ่มในสารละลายกรดแลคติก (lactic acid) ความเข้มข้น 2 % และ 3 % ร่วมกับการใช้กรดแลคติกที่ถูกแยกจากเชื้อแบคทีเรียแลกติก (lactic culture) ที่ความเข้มข้น 2.5 % โดยใช้เวลา 5 นาที และเก็บรักษาที่อุณหภูมิ 4 °C พบร่วมกับการลดลงของแบคทีเรียแกรมลบอย่างมีนัยสำคัญทางสถิติ ($p \leq 0.05$) และสามารถเก็บเนื้อปลาได้นานถึง 9 วัน นอกจากนี้เนื้อปลาที่จุ่มในสารละลายกรดแลคติกร่วมกับแบคทีเรียแลกติกจะให้ผลในการยับยั้งแบคทีเรียแกรมลบได้ดีกว่าการใช้สารละลายกรดแลคติกอย่างเดียวถึงแม้ว่ากรดแลคติกจะสามารถควบคุมแบคทีเรียแกรมลบได้เป็นอย่างดีแต่กลับพบว่ากลืนของเนื้อปลาที่จุ่มในสารละลายกรดแลคติกความเข้มข้นร้อยละ 2 และ 3 ไม่เป็นที่ยอมรับของผู้บริโภคและถ้าใช้สารละลายกรดแลคติกความเข้มข้นมากกว่าร้อยละ 3 กับเนื้อปลาพบว่ากรดจะย่อยกล้ามเนื้อของปลา

สุภาพรพันธ์ โลหะลักษณาเดช และชุตินุช สุจิตร (2556) ได้ศึกษาความเข้มข้นของกรดแลคติกต่อการยืดอายุการเก็บรักษาเนื้อหอยนางรมโดยการจุ่มน้ำหอยนางรมในสารละลายกรดแลคติก 4 ระดับ คือ 0% 1.5% 2% และ 2.5% และเก็บรักษาที่อุณหภูมิ 5 ± 1 °C พบร่วมกับความเข้มข้นของกรดแลคติกที่เหมาะสมสมคือ 1.5% ไม่พบรการเจริญของจุลินทรีย์ *V. parahaemolyticus* และ *Salmonella* spp. ส่วนจุลินทรีย์ทั้งหมด (TVC), *E. coli* และ *Staph. aureas* พบร่วม มีปริมาณเพิ่มขึ้นเมื่อระยะเวลาการเก็บรักษานานขึ้น ทั้งนี้ความเข้มข้นดังกล่าวสามารถยืดได้นาน 15 วัน และผลการทดสอบทางด้านประสิทธิภาพสัมผัสเนื้อหอยนางรมแสดงว่าจุ่มสารละลายกรดแลคติกที่ความเข้มข้น 1.5 % มีค่าแน่นการยอมรับสูงสุด สีของเนื้อหอยนางรมมีสีของเนื้อจากสีตามธรรมชาติมีตำแหน่งไม่มีกลิ่นเหม็นน่า ไม่กลิ่นควรปานกลาง เนื้อสัมผัสมีดหยุ่นค่อนข้างนิ่มและการยอมรับรวมอยู่ในระดับปานกลาง

2.4 สารสกัดชาเขียว

สารสกัดชาเขียว พับสารในกลุ่มของคาเทชินมากที่สุด เนื่องจากในการผลิตชาเขียวไม่มีขั้นตอนการหมัก (Friedman et al., 2009) กลุ่มของคาเทชินที่พบมากในชา ได้แก่ (-)-epigallocatechin-3-gallate (EGCG), (-)-epigallocatechin (EGC), (-)-epicatechin-3-gallate (ECG) และ (-)-epicatechin (EC) คาเทชินเหล่านี้ มีอยู่ประมาณ 90% ของคาเทชินทั้งหมด กลุ่มของคาเทชินที่พบในปริมาณน้อยลงได้แก่ (+)-gallocatechin (GC), (+)-catechin (C) และคาเทชินอื่น ๆ เช่น (-)-gallocatechin gallate (GCG) และ (-)-catechin gallate (CG) แสดงโครงสร้างของคาเทชินแต่ละชนิดดังรูปที่ 2.6

ในบรรดาสารสกัดชาเขียวทั้งหมด EGCG พับมากที่สุด และเป็นสารสำคัญในการฆ่าเชื้ออุจุนทรีย์ (Das et al., 2014) เช่น *Enterococcus faecium*, *Staph. aureus*, *Klebsiella pneumoniae*, *Acinetobacter baumannii*, *Pseudomonas aeruginosa*, *Enterobacter spp.* และ *E. coli* เป็นต้น (Radji, Fauziah & Aribinuko, 2011; Rice, 2008; Duerink et al. 2008) และสาร EGCG มีสมบัติในการจับอนุมูลอิสระ superoxide anions (O_2^-), singlet oxygen ($1O_2$), และ 1,1-diphenyl-2-picrylhydrazyl (DPPH) ความสามารถในการจับอนุมูลอิสระ (free radicals และ reactive oxygen species; ROS) ดังตารางที่ 2.1 (Lakenbrink et al., 2000)

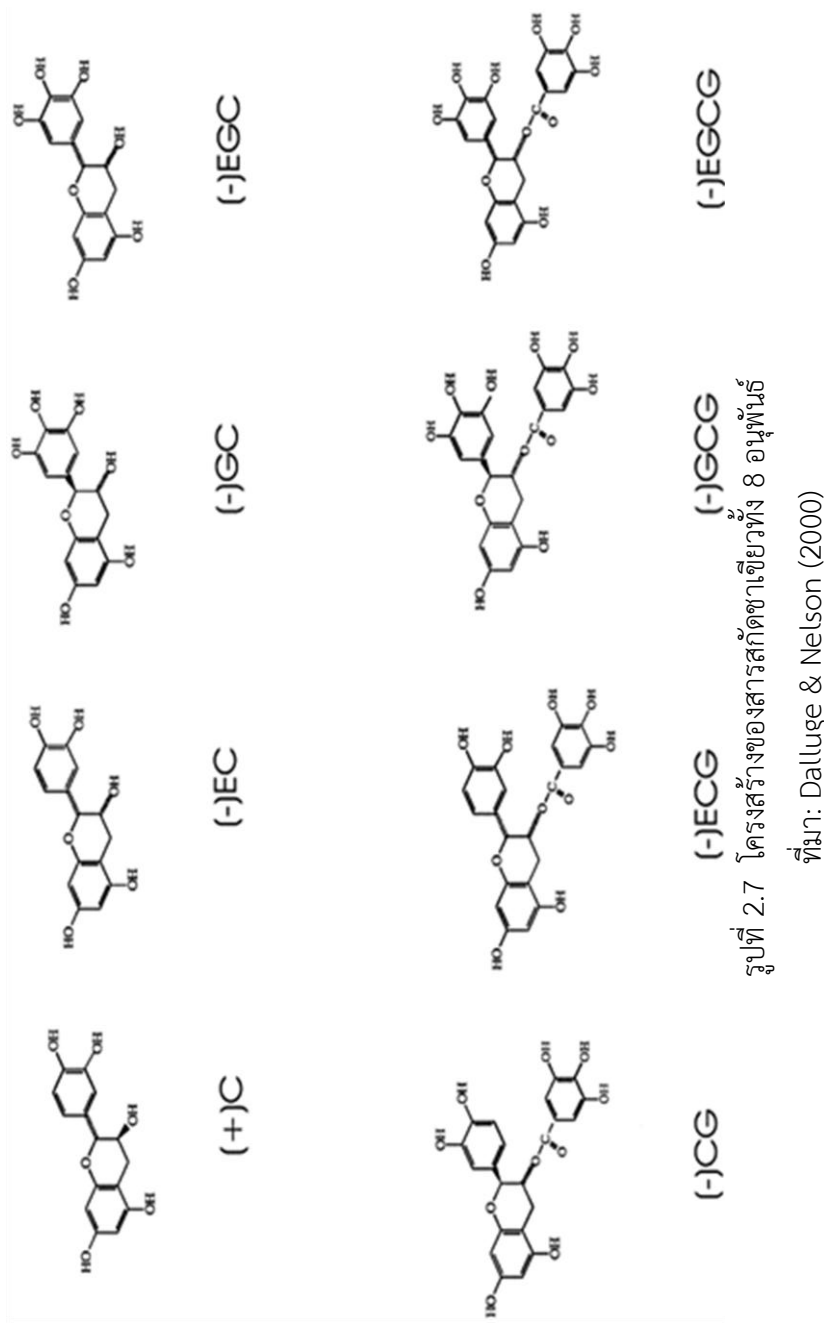
การใช้สารสกัดชาเขียวเป็นสารที่ได้จากการรับรองมาตรฐาน GRAS (Generally recognized as safe) สำนักงานคณะกรรมการอาหารและยาแห่งสหรัฐอเมริกา (USFDA) โดยยอมรับเป็นทางการในการนำมาใช้อุตสาหกรรมอาหาร (Perumalla & Hettiarachchy, 2011) เนื่องจากว่าสารสกัดชาเขียวมีการฆ่าเชื้ออุจุนทรีย์ และยังเป็นสารต้านการเกิดออกซิเดชันได้ดีอีกด้วย จึงได้มีการนำสารสกัดชาเขียวมาใช้ในผลิตภัณฑ์อาหารต่างๆ เพื่อใช้แทนสารกันเสีย เช่น เนื้อสัตว์ที่ยังไม่ผ่านการทำให้สุก อาหารทะเล อาหารพร้อมทาน ผลิตภัณฑ์เบเกอรี่ น้ำสลัด เนย เทียม น้ำมันพีช และเครื่องดื่มประเภทต่างๆ เป็นต้น (Hu, Chen & Ni, 2012)

ตารางที่ 2.1 ลำดับความสามารถในการจับอนุมูลอิสระ (free radicals และ reactive oxygen species; ROS)

Free radicals/ROS	ลำดับความสามารถ
Singlet oxygen	EGCG>ECG>EGC>EC>C
Hydroxyl radical	ECG>EGCG>EC>GC>EGC>C
Lipid peroxy radical	EGCG=ECG= EC=C>EGC
ABTS ^{•+} radical cation	EGCG>ECG>EGC>EC
DPPH [•] radical	EGCG=ECG>EGC>EC

ที่มา: Lakenbrink et al., (2000)

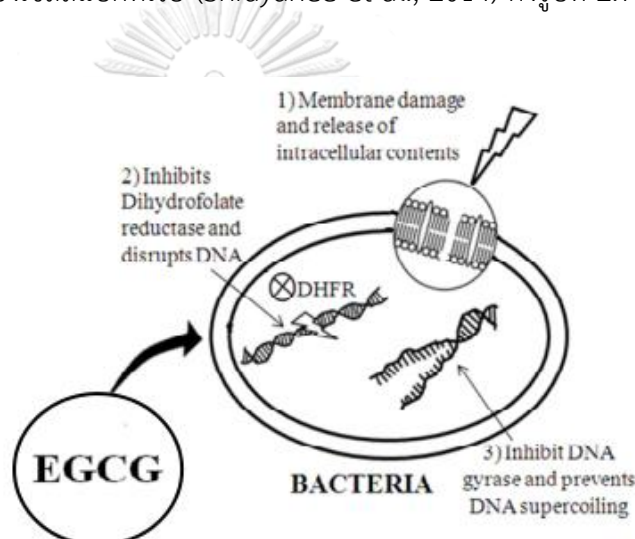




รูปที่ 2.7 โครงสร้างของสารสกัดชาเขียวทั้ง 8 ชนิด

2.4.1 สารสกัดชาเขียวในการฆ่าเชื้อจุลทรรศ์

สารสำคัญที่เป็นองค์ประกอบของสารสกัดชาเขียวในการฆ่าเชื้อแบคทีเรียได้แก่ EGCG ซึ่งจะไปทำลายเยื่อหุ้มเซลล์ ทำให้เกิดการรั่วของสารภายในเซลล์ออกมายังนอกเซลล์ (intramembranous leakage) เป็นผลให้เซลล์ของแบคทีเรียตายในที่สุด จากการศึกษาในหลอดทดลองพบว่า สาร EGCG ไปจับกับเอนไซม์ 7, 8-dihydrofolate (DHF) ที่ใช้ในการสังเคราะห์นิวคลีโอไทด์ ถูกเปลี่ยนไปเป็น 5, 6, 7, 8-tetrahydrofolate (THF) ส่งผลต่อการสร้าง DNA ส่งผลให้มีจุลินทรีย์ไม่เกิดการแบ่งเซลล์ สาร EGCG จะเข้าไปขัดขวางการทำงานของ DNA gyrase ซึ่งเป็นเอนไซม์ที่มีหน้าที่คล้ายเกลียวของสาย DNA จึงส่งผลให้การสังเคราะห์สาย DNA ไม่เกิดขึ้น ทำให้ไม่เกิดการเพิ่มจำนวนของเซลล์แบคทีเรีย (Shrayanee et al., 2014) ดังรูปที่ 2.7



รูปที่ 2.8 กลไกของสาร EGCG ในการฆ่าเชื้อแบคทีเรีย

ที่มา: Shrayanee et al. (2014)

Yam et al., (1997) ได้ทำการศึกษาการต้มใบชา 2 g ในน้ำ 100 mL เป็นเวลา 10 นาที นำน้ำชาไปกรองเพื่อกำจัดตะกอน จากนั้นนำไปทำแห้งแบบแช่เยือกแข็ง (freeze dried) โดยมีค่าความเข้มข้นที่ต่ำที่สุดในการยับยั้งการเจริญของเชื้อ *Staph. aureus* USA12, *Staph. epidermidis* 17 และ *Yersinia enterocolitica* 1 คือ 0.28, 0.41 และ 0.41 mg/mL ตามลำดับ และค่าความเข้มข้นที่ต่ำที่สุดในการการฆ่าเชื้อ คือ 0.41, 0.55 และ 0.83 mg/mL ตามลำดับ และเมื่อนำสารสกัดจากชาเขียวมาทำให้บริสุทธิ์โดยวิธีพาร์ติชัน โครมาโทกราฟี (partition chromatography) ทำให้ทราบว่าประสิทธิภาพในการยับยั้งการเจริญของจุลินทรีย์ขึ้นอยู่กับปริมาณของสาร EGCG

2.4.2 สารสกัดชาเขียวที่ใช้ในอาหาร

สารสกัดชาเขียวเป็นหนึ่งในผลิตภัณฑ์อาหารเสริมที่เป็นที่นิยมอย่างแพร่หลายมากที่สุดในสหรัฐอเมริกา (Namal, 2013) มีคุณสมบัติที่โดดเด่นในด้านการต้านอนุมูลอิสระ (Lakenbrink et al., 2000) และยังมีคุณสมบัติในการลดเชื้อแบคทีเรีย (Das et al., 2014)

Xi, Liu, & Su (2012) ได้ศึกษาการอัตราส่วนของใบชาต่อน้ำในการต้มใบชาเพื่อนำมาใช้ในการยับยั้งการเจริญของเชื้อแบคทีเรียทั้งหมด และเชื้อ *V. parahaemolyticus* ในหอยนางรม โดยอัตราส่วนใบชาต่อน้ำ 9.1 g: 1 L ใช้เวลาในการต้ม 10 นาที จากนั้นนำหอยนางรมมาแช่ในน้ำชา ที่อัตราส่วน หอยนางรมต่อน้ำชา 0.7 g: 1 mL เก็บที่อุณหภูมิ 5 °C สามารถลดเชื้อแบคทีเรียทั้งหมดได้ 3-4 log CFU/g ของการเก็บรักษาในส่วนแรก และเชื้อ *V. parahaemolyticus* 0.8 log₁₀ reduction โดยมีอายุการเก็บรักษา 18 วัน

นอกจากสารสกัดชาเขียวจะเป็นสารลดเชื้อจุลทรรศน์ในอาหารแล้ว สารสกัดชาเขียวยังสามารถช่วยปรับปรุงความเสถียรของสีในผลิตภัณฑ์จากเนื้อสัตว์สดซึ่งเกี่ยวข้องกับไมโโกลีบิน (myoglobin) ซึ่งมีสีแดงในกล้ามเนื้อสัตว์ โดยมีรัตุเหล็กเป็นปัจจัยสำคัญในการเปลี่ยนแปลงของสี โดยออกซิเจนจะทำปฏิกิริยากับเหล็กทำให้ myoglobin เปลี่ยนไปเป็น metmyoglobin ที่เกิดขึ้นจากการออกซิเดชันของ oxymyoglobin ทำให้เนื้อสัตว์มีสีคล้ำลง จากรูปที่ 2.9 เนื้อวัวที่มีไขมัน 20 % เมื่อการใช้สารสกัดจากธรรมชาติ 1,000 ppm rosemary extract และ 250 ppm green tea extract พบร่วมสามารถลดการเปลี่ยนแปลงของสีแดงจากเนื้อวัวอยู่ที่ 16 วัน และตัวอย่างควบคุมที่ไม่ได้ใส่สารใดเลยสีเกิดการเปลี่ยนแปลงในเวลา 9 วัน (Namal, 2013) อย่างไรก็ตามจะเห็นได้ว่าสารสกัดชาเขียวแม้จะใช้ในปริมาณที่น้อยกว่าก็ช่วยชะลอการเกิดออกซิเดชันของสีในอาหารได้



รูปที่ 2. 9 การเปลี่ยนแปลงของสีในเนื้อวัว

(Namal, 2013)

บทที่ 3

การดำเนินงานวิจัย

3.1 วัสดุ และอุปกรณ์

วัตถุดิบ

หอยนางรมสด พาร์มหอยนางรม จากจังหวัดชลบุรี

แบคทีเรียที่ใช้ทดลอง

Staphylococcus aureus ATCC25923, *Lactobacillus plantarum* Plan10621, *Escherichia coli* ATCC25922, *Vibrio paraheamolyticus* ATCC17802, *Salmonella Typhimurium* ATCC13311 และ *Bacillus cereus* ATCC6633 จากห้องปฏิบัติการวิจัยและทดสอบทางอาหาร คณะวิทยาศาสตร์ ภาควิชาเทคโนโลยีทางอาหาร จุฬาลงกรณ์มหาวิทยาลัย

สารเคมีและอาหารเลี้ยงเชื้อ

- Baird Parker Agar (Himedia laboratories, India)
- Calcium carbonate (Loba chemie, India)
- *E. coli* / Coliform Count Plate (3M Petrifilm, USA)
- Egg York tellurite emulsion (Himedia laboratories, India)
- Eosin Methylene Blue Agar (Himedia laboratories, India)
- Ferrous ammonium sulfate (Sigma-Aldrich, USA)
- Epigallocatechin gallate (Caymam, USA)
- Hydrochloric acid (Merck, Germany)
- Lactic acid 88% w/v (Chemepan, Thailand)
- *Lactobacillus de Man, Rogosa and Sharpe Agar*
(Himedia laboratories, India)
- N,N-Diethyl-p-phenylenediamine oxalate salt (Sigma-Aldrich, USA)

- Nutrient Agar (Himedia laboratories, India)
- Nutrient broth (Himedia laboratories, India)
- Mueller Hinton Broth (Himedia, India)
- Mueller Hinton agar (Himedia laboratories, India)
- Plate Count Agar (Himedia laboratories, India)
- Potassium sorbate (Chemepan, Thailand)
- *Salmonella* Express Plate (3M Petrifilm, USA)
- Sodium chloride (Loba chemie, India)
- Sodium hydroxide pellets (Qrec, New Zealand)
- Sodium hypochlorite (T.S. Inter Lab Limited Partnership, Thailand)

อุปกรณ์

- เครื่องวัดสี Chroma Meter (Konica minolta, CR-400, Japan)
- เครื่องวัดแรงตัวดึงเฉือน texture analyzer (TA-XT2i, Stable Micro Systems, Goldaming, UK)
- เครื่องผลิตน้ำอิเล็กโทรไลต์ (ROX-10 WA E, Hoshizaki Electric CO., Ltd., Japan)
- เครื่อง pH meter (Mettler Toledo, FEP20 FiveEasy PlusTM, Switzerland) เครื่อง UV-visible spectrophotometer (Thermo Spectronic, GENESYS 10 UV, USA)
- อ่างน้ำร้อน (Memmert, WNB22, Germany)
- หม้อนึ่งความดันไอน้ำ (Autoclave; Tomy Kogyo, SX-700, Japan)
- เครื่องชั่งไฟฟ้าทศนิยม 2 ตำแหน่ง (Mettler Toledo, ML1602, Switzerland)
- เครื่องชั่งไฟฟ้าทศนิยม 4 ตำแหน่ง (Mettler Toledo, MS204S, Switzerland)

- ตู้ปั่น (Memmert, IPP550, Germany)
- ตู้เย็น -20 °C (Sharp, FC-28U, Thailand)
- ตู้เย็น 4 °C (Pattana Intercool, LU-45YU, Thailand)

การเตรียมตัวอย่าง

หอยนางรมจากฟาร์มในจังหวัดชลบุรี แข็งในน้ำแข็งและบรรจุในกล่องโพลีสเตรียรีน (Polystyrene) และขนส่งมา.yังภาควิชาเทคโนโลยีทางอาหาร คณะวิทยาศาสตร์ จุฬาลงกรณ์มหาวิทยาลัย จากนั้นมาทำการทำความสะอาดที่บริเวณเปลือก และแกะเนื้อหอยนางรมออกจากเปลือก

การเตรียมน้ำอิเล็กโทรไลต์

น้ำอิเล็กโทรไลต์เตรียมจากเครื่องผลิตน้ำอิเล็กโทรไลต์ (ROX-10 WA E, Hoshizaki Electric CO., Ltd., Japan) โดยการใช้สารละลายเกลือ (10% NaCl) จากนั้นปรับความเข้มข้นด้วยน้ำปลาดเชื่อเพื่อให้ได้ความเข้มข้นของคลอรินอิสระ ด้วยวิธี ISO 7393-3 (1995) (ภาคผนวก ข.3)

การเตรียมกรดแลคติก

กรดแลคติกเตรียมจากการดแลคติกที่ความเข้มข้น 88% w/v โดยปรับความเข้มข้นด้วยน้ำปลาดเชื่อเพื่อให้ได้ความเข้มข้นของกรดแลคติกตามต้องการ โดยใช้วิธีคำนวณการเจือจางสารละลาย (ภาคผนวก ข.4)

การเตรียม Epigallocatechin gallate

Epigallocatechin gallate (EGCG) (Cayman, USA) โดยใช้วิธีเตรียมสารละลายเริ่มต้น (ภาคผนวก ข.5)

3.2 ขั้นตอนการดำเนินงานวิจัย

3.2.1 ความสามารถในการยับยั้งการเจริญจุลินทรีย์ของ Epigallocatechingallate

ทดสอบความเข้มข้นต่ำสุดของสารสกัดชาเขียวที่ยับยั้งการเจริญ และฆ่าเชื้อจุลินทรีย์ โดยใช้ เชื้อจุลินทรีย์เริ่มต้น 1×10^8 CFU/mL ตามวิธี CLSI (2006) (ภาคผนวก ค.1 และ ค.2)

3.2.2 ความสามารถในการยับยั้งการเจริญจุลินทรีย์ของกรดแลคติก

ทดสอบความเข้มข้นต่ำสุดของกรดแลคติกที่ยับยั้งการเจริญ และฆ่าเชื้อจุลินทรีย์ โดยใช้ เชื้อจุลินทรีย์เริ่มต้น 1×10^8 CFU/mL ตามวิธี CLSI (2006) (ภาคผนวก ค.1 และ ค.2)

3.2.3 ศึกษาผลของน้ำอิเล็กโทรไลต์ต่อจุลชีววิทยา สมบัติทางเคมี และกายภาพของหอย

นางร่มที่ผ่านการทำความสะอาดเบื้องต้นด้วยน้ำอิเล็กโทรไลต์เทียบกับตัวอย่างควบคุม

นำหอยนางรมแกะเปลือกมาแซ่ลงในน้ำอิเล็กโทรไลต์ที่ความเข้มข้น 0 20 40 60 80 และ 100 ppm โดยมีค่า pH 7.12 6.71 6.20 5.83 5.36 และ 4.88 ตามลำดับ โดยแซ่หอยนางรมต่อ น้ำอิเล็กโทรไลต์ในอัตราส่วน 1 g:10 mL เป็นเวลา 30 นาที (สวามินี ธีระวุฒิ และคณะ 2557) และนำมาแซ่ในน้ำปลอดเชื้อ 10 นาทีเพื่อกำจัดน้ำอิเล็กโทรไลต์ที่ติดมากับเนื้อหอยนางรม จากนั้น นำตัวอย่างหอยนางรม วิเคราะห์จำนวนเชื้อแบคทีเรีย ได้แก่ ปริมาณจุลินทรีย์ทั้งหมด (TVC), ปริมาณแบคทีเรียแลคติก (LAB), *V. parahaemolyticus*, *E. coli*, *Staph. aureus* และ *Salmonella* spp. ประกอบกับ ทางเคมี ได้แก่ ค่า pH และปริมาณสารประกอบในโตรเจนที่ระเหย ได้ทั้งหมด (TVB-N) กายภาพ ได้แก่ ค่าสี และค่าแรงตัด (ภาคผนวก ก.1 และ ก.2 ข.1 และ ข.2 และ ค.3-ค.8) คัดเลือกความเข้มข้นของน้ำอิเล็กโทรไลต์ที่สามารถลดเชื้อแบคทีเรีย

3.2.4 ศึกษาผลของกรดแลคติกต่อต่อจุลชีววิทยา สมบัติทางเคมี และกายภาพของหอย

นางร่มที่ผ่านการทำความสะอาดเบื้องต้นด้วยกรดแลคติกเทียบกับตัวอย่างควบคุม

นำหอยนางรมที่แกะเปลือกมาแซ่ลงในสารละลายกรดแลคติกที่ความเข้มข้น 0 0.03125 0.0625 0.125 0.25 0.5 1 และ 2 MBC ซึ่งเท่ากับความเข้มข้นของกรดแลคติด 0 0.086 0.17 0.34 0.69 1.38 2.75 และ 5.50 % w/v โดยมีค่า pH 7.12 4.42 3.72 3.03 2.45 2.24 2.01 และ 1.63 ตามลำดับ โดยแซ่หอยนางรมต่อสารละลายกรดแลคติกในอัตราส่วน 1 g:10 mL เป็น เวลา 30 นาที (สวามินี ธีระวุฒิ และคณะ 2557) และนำมาแซ่ในน้ำปลอดเชื้อ 10 นาทีเพื่อกำจัด กรดแลคติกที่ติดมากับเนื้อหอยนางรม จากนั้นนำตัวอย่างหอยนางรม วิเคราะห์จำนวนเชื้อ แบคทีเรีย ได้แก่ ปริมาณจุลินทรีย์ทั้งหมด (TVC), ปริมาณแบคทีเรียแลคติก (LAB), *V. parahaemolyticus*, *E. coli*, *Staph. aureus* และ *Salmonella* spp. ประกอบกับ ทางเคมี ได้แก่ ค่า pH และปริมาณสารประกอบในโตรเจนที่ระเหยได้ทั้งหมด (TVB-N) กายภาพ ได้แก่ ค่าสี

และค่าแรงตัด (ภาคผนวก ก.1 และ ก.2 ข.1 และ ข.2 และ ค.3-ค8) คัดเลือกความเข้มข้นของกรดแลคติกที่สามารถลดเชื้อแบคทีเรีย

3.2.5 ศึกษาการเปลี่ยนแปลงต่อจุลชีววิทยา สมบัติทางเคมี และกายภาพของหอยนางรมเมื่อแช่ใน Epigallocatechin gallate ระหว่างการเก็บรักษาที่ $4\pm2^{\circ}\text{C}$

นำหอยนางรมที่แกลบเปลือกมาทำความสะอาดด้วยน้ำอิเล็กโทรไลต์จากความเข้มข้นที่ถูกคัดเลือกจากข้อ 3.2.3 จากนั้นนำมาasher เดือน้ำในตู้ป้องกันเชื้อ 5 นาที และนำหอยนางรมมาใส่ในกระปุกพลาสติก (polypropylene) ที่มีสารละลายจาก Epigallocatechin gallate จากค่า MBC $5 \mu\text{g/mL}$ โดยใช้อัตราส่วนหอยนางรมต่อสารละลายจากสารสกัดชาเขียว 1 g:2 mL (สวามินี ธีระวุฒิ และคณะ 2557) เก็บที่อุณหภูมิ $4\pm2^{\circ}\text{C}$ โดยวิเคราะห์สมบัติทางเคมี ได้แก่ ค่าpH และปริมาณสารประกอบในโตรเจนที่ระเหยได้ทั้งหมด (TVB-N) กายภาพ ได้แก่ ค่าสี และค่าแรงตัด และจุลชีววิทยา ได้แก่ ปริมาณจุลินทรีย์ทั้งหมด (TVC), ปริมาณแบคทีเรียแลคติก (LAB), *V. parahaemolyticus*, *E. coli*, *Staph. aureus* และ *Salmonella* spp (ภาคผนวก ก.1 และ ก.2 ข.1 และ ข.2 และ ค.3-ค8) วิเคราะห์ผล ทุก 2 วัน และศึกษาสภาวะอื่นๆดังตารางที่ 3.1

ตารางที่ 3.1 แสดงสภาวะต่างๆที่ใช้ในการเก็บรักษาหอยนางรม

Treatment	Pretreatment	Soaking
1 (control)	Steriled water	0.1% Potassium sorbate ^d
2 (control)	60 ppm Sodium hypochlorite	0.1% Potassium sorbate ^d
3	60 ppm Electrolyzed water ^a	5 $\mu\text{g/mL}$ Epigallocatechin gallate ^c
4	0.0625 MBC Lactic acid ^b	5 $\mu\text{g/mL}$ Epigallocatechin gallate ^c
5	30 ppm Electrolyzed water + 0.03125 MBC Lactic acid	5 $\mu\text{g/mL}$ Epigallocatechin gallate ^c

^a เลือกจากผลการศึกษาข้อ 3.2.3

^b เลือกจากผลการศึกษาข้อ 3.2.4

^c เลือกจากผลการศึกษาข้อ 3.2.1

^d สำนักงานคณะกรรมการอาหารและยา, (2522)

3.2.6 การวิเคราะห์ทางสถิติ

ออกแบบการทดลองแบบ completely randomized design (CRD) สำหรับการประเมินผลทางสถิติของสมบัติทางเคมี กายภาพ และจุลชีววิทยา โดยทำการทดลอง 3 ชุด โดยวิเคราะห์ความแปรปรวน (Analysis of Variance, ANOVA) ของทุกการทดลองด้วยโปรแกรมสำเร็จรูป SPSS (Statistical Package for Social Sciences) version 23, SPSS Inc., Chicago, USA เปรียบเทียบค่าเฉลี่ยด้วยวิธี Tukey's HSD ที่ระดับความเชื่อมั่นร้อยละ 95



บทที่ 4

ผลและวิจารณ์ผลการทดลอง

4.1 ความสามารถในการยับยั้งการเจริญของจุลินทรีย์ของสารสกัดจากชาเขียว (Epigallocatechin gallate)

Epigallocatechin gallate สามารถยับยั้งการเจริญของเชื้อแบคทีเรียทั้ง 6 ชนิด ได้แก่ *Staphylococcus aureus* ATCC25923, *Escherichia coli* ATCC25922, *Vibrio parahaemolyticus* ATCC17802, *Salmonella Typhimurium* ATTCC13311, *Bacillus cereus* ATCC6633 และ *Lactobacillus plantarum* Plan10621 ได้ค่าแทรกต่างกัน ดังค่าความเข้มข้นต่ำสุดที่ยับยั้งการเจริญของเชื้อจุลินทรีย์ ที่แสดงในตารางที่ 4.1 โดยพบว่าสารสกัดชาเขียวสามารถยับยั้งเชื้อ *Staph. aureus*, *L. plantarum* และ *B. cereus* ได้ดีที่สุด โดยมีค่า MIC 1.25 $\mu\text{g}/\text{mL}$ รองลงมาคือ *E. coli*, *V. parahaemolyticus* และ *S. Typhimurium* โดยมีค่า MIC 2.5 $\mu\text{g}/\text{mL}$

ผลการศึกษา Epigallocatechin gallate ที่ความเข้มข้นต่ำสุดในการฆ่าเชื้อแบคทีเรีย แสดงในตารางที่ 4.1 และพบว่าค่า MBC ของเชื้อ *Staph. aureus*, *B. cereus* และ *L. plantarum* 2.5 $\mu\text{g}/\text{mL}$ และเชื้อ *E. coli*, *V. parahaemolyticus* และ *S. Typhimurium* มีค่า MBC 5 $\mu\text{g}/\text{mL}$

Ikigai et al. (1992) พบร่วมกับวิจัยของ Nakayama et al. (2011) ที่รายงานว่าสารสกัดชาเขียวสามารถยับยั้งการเจริญของเชื้อ *Staph. aureus* และ *E. coli* โดยมีค่า MIC 73 และ 573 $\mu\text{g}/\text{mL}$ ตามลำดับ

Nakayama et al. (2011) พบร่วมกับวิจัยของ Nakayama et al. (2011) ที่รายงานว่าสารสกัดชาเขียวสามารถยับยั้งการเจริญของเชื้อ *Staph. aureus* NBRC13276 และ *E. coli* NBRC3972 ที่ความเข้มข้น 0.063 และ 0.250 mg/mL ตามลำดับ

จากการศึกษาพบว่าการใช้สารสกัดชาเขียวในการยับยั้งเชื้อโดยใช้ในปริมาณที่มากกว่า Epigallocatechin gallate (EGCG) เนื่องจาก EGCG ที่ใช้มีความบริสุทธิ์ถึง 100 % ซึ่งมากกว่าสารสกัดชาเขียวจึงใช้ในปริมาณที่น้อยกว่าก็สามารถยับยั้งเชื้อจุลินทรีย์

4.2 ความสามารถในการยับยั้งการเจริญของจุลินทรีย์ของกรดแลคติก

กรดแลคติกสามารถยับยั้งการเจริญของเชื้อแบคทีเรียทั้ง 6 ชนิด ได้แก่ *S. aureus*, *E. coli*, *V. parahaemolyticus*, *S. Typhimurium*, *B. cereus* และ *L. plantarum* ได้ค่าแตกต่างกัน ดังค่าความเข้มข้นต่ำสุดที่ยับยั้งการเจริญของเชื้อจุลินทรีย์ ที่แสดงในตารางที่ 4.2 โดยพบว่ากรดแลคติดสามารถยับยั้งเชื้อ *S. aureus* ได้ดีที่สุด โดยมีค่า MIC 0.34 % w/v (3.4 mg/mL) รองลงมาคือ *E. coli*, *V. parahaemolyticus* และ *S. Typhimurium* โดยมีค่า MIC 1.37 % w/v (13.7 mg/mL)

จากการศึกษาการลดแลคติกที่ความเข้มข้นต่ำสุดในการฆ่าเชื้อแบคทีเรีย ในตารางที่ 4.2 และพบว่าค่า MBC ของเชื้อ *S. aureus*, *B. cereus* และ *L. plantarum* 0.68 % w/v (6.8 mg/mL) และเชื้อ *E. coli*, *V. parahaemolyticus* และ *S. Typhimurium* มีค่า MBC 2.75 % w/v (27.5 mg/mL)

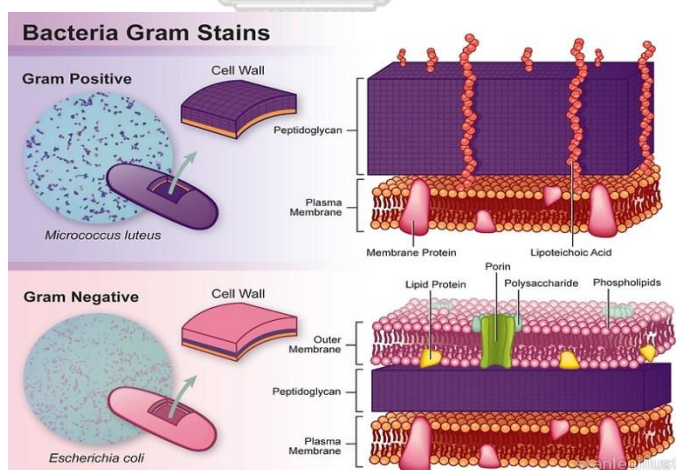
Mahmoud (2014) ศึกษาความเข้มข้นต่ำสุดของกรดแลคติก (มีความบริสุทธิ์ 98 %) ในการยับยั้งเชื้อ *V. vulnificus* คือ 1 mg/mL

จากการศึกษาของ Wang et al. (2015) พบร้ากรดแลคติกที่ความเข้มข้น 0.5 mg/mL สามารถยับยั้งการเจริญของเชื้อ *S. Enteritidis*, *E. coli* และ *L. monocytogenes*

จากการศึกษาพบว่ากรดแลคติกที่อยู่ในรูปของสารละลาย ชี้งส่งผลให้ความเข้มข้นที่ใช้ในการยับยั้งเชื้อจุลินทรีย์มากกว่ากรดแลคติกที่อยู่ในรูปของสารละลาย ซึ่งส่งผลให้ความเข้มข้นที่ใช้ในการยับยั้งเชื้อจุลินทรีย์ มีปริมาณที่น้อยกว่าในรูปของสารละลาย

จุฬาลงกรณ์มหาวิทยาลัย
CHULALONGKORN UNIVERSITY

เนื่องจากโครงสร้างของจุลินทรีย์ที่แตกต่างกันส่งผลให้มีการยับยั้งเชื้อจุลินทรีย์ได้แตกต่างกันซึ่งส่งผลต่อค่า MIC และ MBC ของเชื้อแต่ละชนิด โดยพบว่า Epigallocatechin gallate และกรดแอล酷ติกสามารถยับยั้งการเจริญและฆ่าเชื้อ *Staph. aureus* *B. cereus* *L. plantarum* ได้ดีที่สุด รองลงมาคือ *E. coli*, *V. parahaemolyticus* และ *S. Typhimurium* เนื่องจาก *Staph. aureus* เป็นแบคทีเรียแกรมบวก (Gram-positive bacteria) ซึ่งมีโครงสร้างของผนังเซลล์ซับซ้อนน้อยกว่าแบคทีเรียแกรมลบ (Gram-negative bacteria) ซึ่งในการทดลองนี้ คือ *V. parahaemolyticus*, *S. Typhimurium* และ *E. coli* ส่งผลให้แบคทีเรียแกรมบวกต้านทานต่อสารได้น้อยกว่า ซึ่งผลการศึกษาแสดงถึงกับการศึกษาของ Cui et al. (2012) ที่ศึกษาประสิทธิภาพของ EGCG ในการยับยั้งเชื้อแบคทีเรียแกรมบวก และแบคทีเรียแกรมลบ พบร่วมกัน EGCG ยับยั้งเชื้อแบคทีเรียแกรมบวกได้ดีที่สุด เนื่องจากแบคทีเรียแกรมลบมีเยื่อชั้นนอก (outer membrane) และ periplasmic space ซึ่งไม่พบในแบคทีเรียแกรมบวก และนอกจากรูปแบบที่เรียแกรมลบยังมีสารไลโพพอลิแซคคาไรด์ เป็นองค์ประกอบของเยื่อชั้นนอกจึงเป็นตัวกันการซึมผ่านของสารได้ดี ซึ่งแบคทีเรียแกรมบวกไม่มีโครงสร้างเหล่านี้ ทำให้สารต่างๆ ซึมผ่านเข้าเยื่อหุ้มเซลล์ของแบคทีเรียแกรมบวกและทำให้เกิดรูพรุนได้ง่ายกว่าแบคทีเรียแกรมลบ (Shan et al., 2007) ดังแสดงในรูปที่ 4.1



รูปที่ 4.1 องค์ประกอบของผนังเซลล์ของแบคทีเรียแกรมบวกและแบคทีเรียแกรมลบ
ที่มา: Hayat (2013)

ตารางที่ 4.1 ค่าความเข้มข้นต่ำสุดที่สามารถยับยั้งการเจริญของเชื้อแบคทีเรีย (MIC) และค่าความเข้มข้นต่ำสุดที่ฆ่าเชื้อแบคทีเรีย (MBC) ของ Epigallocatechin gallate (EGCG) ในเชื้อแบคทีเรียหง 6 ชนิด

EGCG ($\mu\text{g/mL}$)	<i>Staph. aureus</i>	<i>B. cereus</i>	<i>L. plantarum</i>	<i>S. Typhimurium</i>	<i>E. coli</i>	<i>V. parahaemolyticus</i>
MIC	1.25	1.25	1.25	2.5	2.5	2.5
MBC	2.5	2.5	2.5	5	5	5

ตารางที่ 4.2 ค่าความเข้มข้นต่ำสุดที่สามารถยับยั้งการเจริญของเชื้อแบคทีเรีย (MIC) และค่าความเข้มข้นต่ำสุดที่ฆ่าเชื้อแบคทีเรีย (MBC) ของกรดแลคติก (LA) ในเชื้อแบคทีเรียหง 6 ชนิด

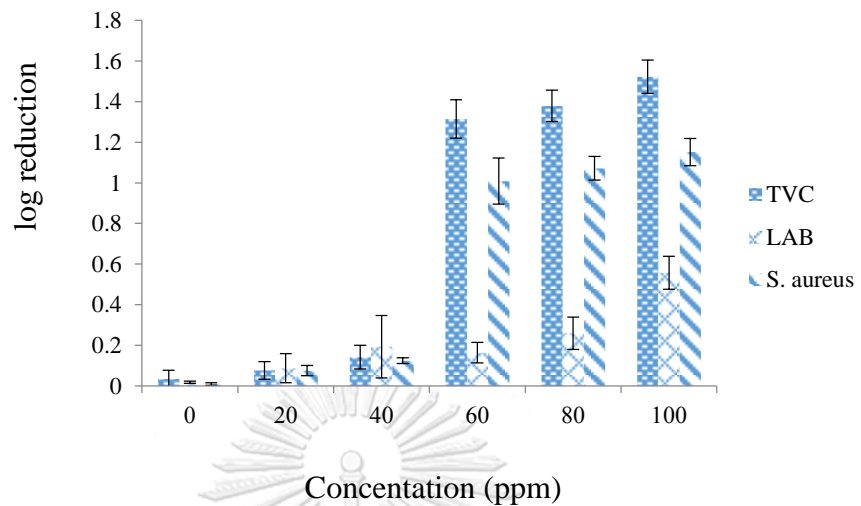
LA (% w/v)	<i>Staph. aureus</i>	<i>B. cereus</i>	<i>L. plantarum</i>	<i>S. Typhimurium</i>	<i>E. coli</i>	<i>V. parahaemolyticus</i>
MIC	0.34	0.34	0.34	1.37	1.37	1.37
MBC	0.68	0.68	0.68	2.75	2.75	2.75

4.3 ผลของน้ำอิเล็กโทรไลต์ต่อจุลชีววิทยา สมบัติทางเคมี และภัยภาพของหอยนางรมที่ผ่านการทำความสะอาดเบื้องต้นด้วยน้ำอิเล็กโทรไลต์

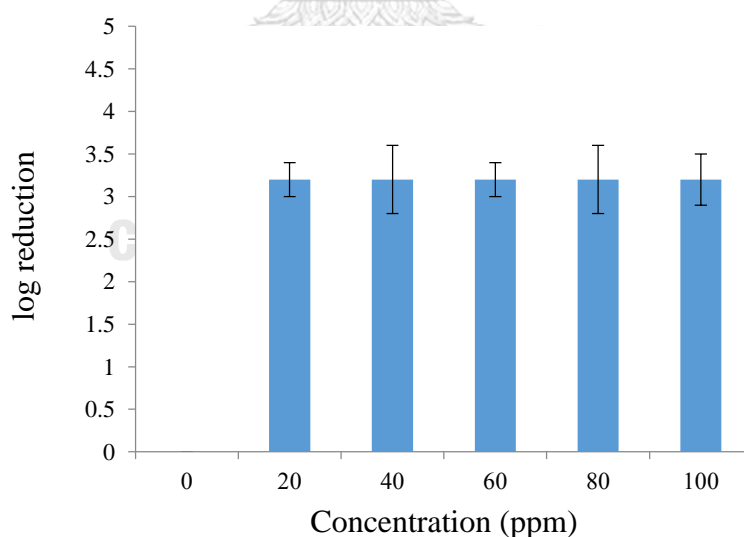
จากการศึกษาเพื่อคัดเลือกความเข้มข้นต่ำสุดของน้ำอิเล็กโทรไลต์ในการยับยั้งการเจริญของเชื้อแบคทีเรียของตัวอย่างหอยนางรมซึ่งประกอบไปด้วยหอยนางรมที่ทำความสะอาดด้วยน้ำอิเล็กโทรไลต์ที่ความเข้มข้น 20 40 60 80 100 ppm และน้ำปลอดเชื้อเป็นตัวอย่างควบคุม โดยใช้ในระยะเวลา 30 นาที พบร่วมที่ความเข้มข้นของน้ำอิเล็กโทรไลต์ 20 และ 40 ppm ประสิทธิภาพในการลดจำนวนเชื้อแบคทีเรียไม่แตกต่างจากตัวอย่างควบคุม ($p>0.05$) ส่วนที่ความเข้มข้นของน้ำอิเล็กโทรไลต์ 60 80 และ 100 ppm สามารถลดเชื้อแบคทีเรียได้แตกต่างจากตัวอย่างควบคุมอย่างมีนัยสำคัญ ($p\leq0.05$) โดยความเข้มข้นต่ำสุดที่สามารถยับยั้งเชื้อแบคทีเรียได้คือ 60 ppm โดยสามารถลดจำนวนเชื้อจุลทรรศ์ทั้งหมด $1.36\pm0.11 \log_{10} \text{CFU/g}$, *S. aureus* $1.02\pm0.08 \log_{10} \text{CFU/g}$ และ *V. parahaemolyticus* $3.2\pm0.20 \text{ MPN/g}$ โดยแตกต่างอย่างมีนัยสำคัญ ($p\leq0.05$) และ lactic acid bacteria (LAB) $0.20\pm0.04 \log_{10} \text{CFU/g}$ จากรูปที่ 4.2 และ 4.3

จากการศึกษาพบว่า น้ำอิเล็กโทรไลต์ที่ความเข้มข้น 60 ppm มีความสอดคล้องกับงานวิจัยของของ อัจฉรา และคณะ (2557) พบร่วมการใช้น้ำอิเล็กโทรไลต์ในผลิตภัณฑ์สัตว์น้ำ ที่ความเข้มข้นของน้ำอิเล็กโทรไลต์ 30 50 และ 70 ppm สามารถลดปริมาณเชื้อจุลทรรศ์ทั้งหมด 76.47, 92.47 และ 19.42 % ตามลำดับ ซึ่งประสิทธิภาพของน้ำอิเล็กโทรไลต์ที่สามารถลดเชื้อจุลทรรศ์มีความเข้มข้น 50 ppm



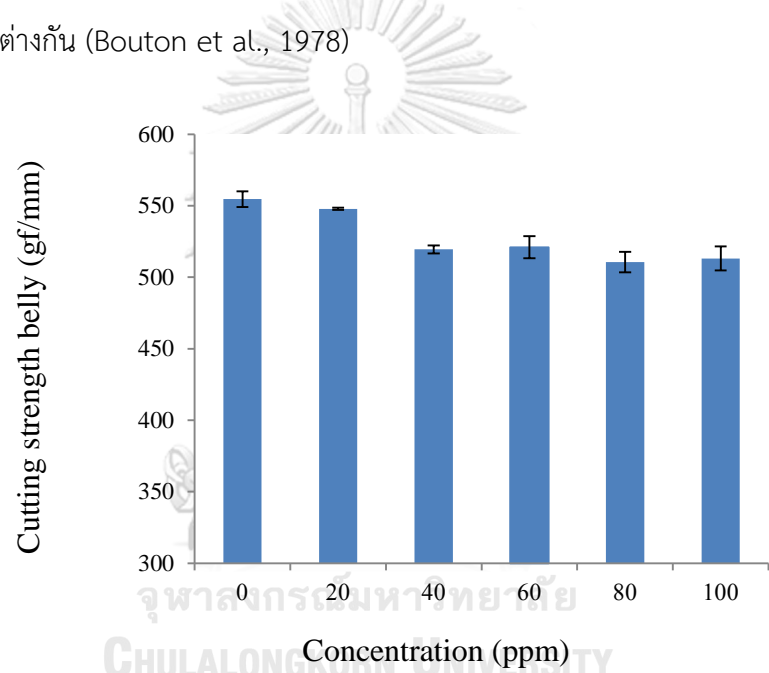


รูปที่ 4.2 จำนวนของเชื้อจุลินทรีย์ทั้งหมด, *Staphylococcus aureus* และ lactic acid bacteria (LAB) ที่ลดลงของหอยนางรมที่ผ่านการทำความสะอาดเบื้องต้นด้วยน้ำอิเล็กโทรไลต์ที่ความเข้มข้นต่างๆ เป็นเวลา 30 นาที

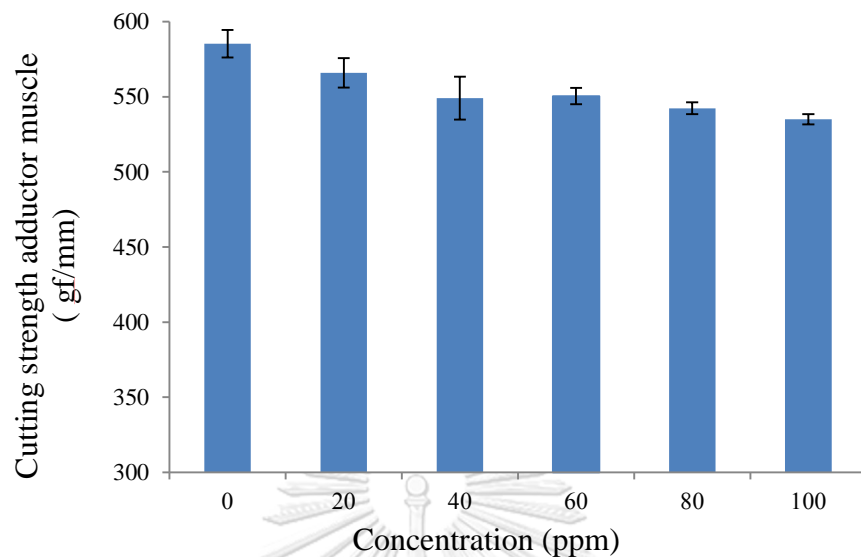


รูปที่ 4.3 การยับยั้งการเจริญของเชื้อ *Vibrio parahaemolyticus* ที่ลดลงของหอยนางรมที่ผ่านการทำความสะอาดเบื้องต้นด้วยน้ำอิเล็กโทรไลต์ที่ความเข้มข้นต่างๆ เป็นเวลา 30 นาที

จากการศึกษาพิการเปลี่ยนแปลงทางกายภาพ โดยค่าแรงตัดเนื้อหอยนางรม จากรูปที่ 4.4-4.5 และค่าแรงตัดทั้งส่วนห้อง (belly) และส่วนของกล้ามเนื้อ (adductor muscle) เมื่อความเข้มข้นของน้ำอิเล็กโทรไลต์เพิ่มขึ้นค่าแรงตัดจะมีค่าลดลงอย่างมีนัยสำคัญ ($p \leq 0.05$) จากผลการทดลองพบว่า น้ำอิเล็กโทรไลต์ที่ความเข้มข้น 60 ppm ของส่วนห้องมีค่า 521.01 ± 7.12 gf/mm และส่วนกล้ามเนื้อมีค่า 550.44 ± 3.90 gf/mm เนื่องจากการแปรสภาพของโปรตีน โดยไฮดรอกไซด์ไอออน (OH^-) ในน้ำอิเล็กโทรไลต์ส่งผลให้โปรตีนจับกับน้ำได้น้อยลง โปรตีนเกิดการคลายเกลี่ยว ซึ่งจะสัมพันธ์กับค่า pH เมื่อมีค่าลดลงจะส่งผลต่อค่าแรงตัดให้ลดลง (Huang et al. 2008) โดยด้านหน้าห้องค่าแรงตัดจะน้อยกว่าส่วนของกล้ามเนื้อ ซึ่งองค์ประกอบด้านหน้าห้อง (belly) จะเป็นกล้ามเนื้อเรียบ ส่วนของกล้ามเนื้อ (adductor muscle) กล้ามเนื้อลายและกล้ามเนื้อหัวใจจึงทำให้แรงการตัดจึงต่างกัน (Bouton et al., 1978)



รูปที่ 4.4 ค่าแรงตัดเฉือนส่วนห้องของหอยนางรมที่ผ่านการทำความสะอาดเบื้องต้นด้วยน้ำอิเล็กโทรไลต์ที่ความเข้มข้นต่างๆ เป็นเวลา 30 นาที



รูปที่ 4.5 ค่าแรงตัดเฉือนส่วนกล้ามเนื้อของหอยนางรมที่ผ่านการทำความสะอาดเบื้องต้นด้วยน้ำอิเล็กโทรไลต์ที่ความเข้มข้นต่างๆ เป็นเวลา 30 นาที

จากผลการศึกษาค่า L^* , a^* และ b^* เมื่อทำการเปลี่ยนแปลงทั้งส่วนท้อง (belly) และส่วนกล้ามเนื้อ (adductor muscle) ของหอยนางรมจากตัวอย่างควบคุม ($p>0.05$) เนื่องจากน้ำอิเล็กโทรไลต์ไม่ส่งผลต่อค่า L^* , a^* และ b^* ดังตารางที่ 4.3–4.4 โดยน้ำอิเล็กโทรไลต์ที่ความเข้มข้น 60 ppm ค่า L^* , a^* และ b^* ส่วนท้องมีค่า 64.23 ± 2.35 , -0.44 ± 0.01 และ 6.24 ± 0.50 ตามลำดับ ส่วนกล้ามเนื้อมีค่า 70.27 ± 0.98 , 0.72 ± 0.09 และ 8.58 ± 0.58 ตามลำดับ ซึ่งให้ผลไม่แตกต่างจากตัวอย่างควบคุม

ตารางที่ 4.3 ค่าสี L* a* และ b* ส่วนท้อง (belly) ของหอยนางรมที่ผ่านการทำความสะอาดเบื้องต้นด้วยน้ำอิเล็กโทรไลต์ที่ความเข้มข้นต่างๆ เป็นเวลา 30 นาที

น้ำอิเล็กโทรไลต์ (ppm)	ความเข้มข้นของค่าสีส่วนท้อง (belly) ของหอยนางรม		
	L* ns	a* ns	b* ns
0	63.98±3.31	-0.38±0.06	5.68±0.06
20	64.58±3.17	-0.35±0.04	5.46±0.46
40	64.94±3.47	-0.43±0.04	5.91±0.55
60	64.23±2.35	-0.44±0.01	6.24±0.50
80	63.96±4.18	-0.43±0.05	6.32±0.74
100	65.16±3.07	-0.40±0.02	5.77±0.31

ค่าเฉลี่ย±ส่วนเบี่ยงเบนมาตรฐานของการทดลอง 3 ชั้้า

ns ค่าเฉลี่ยไม่แตกต่างกันอย่างมีนัยสำคัญ ($p>0.05$)

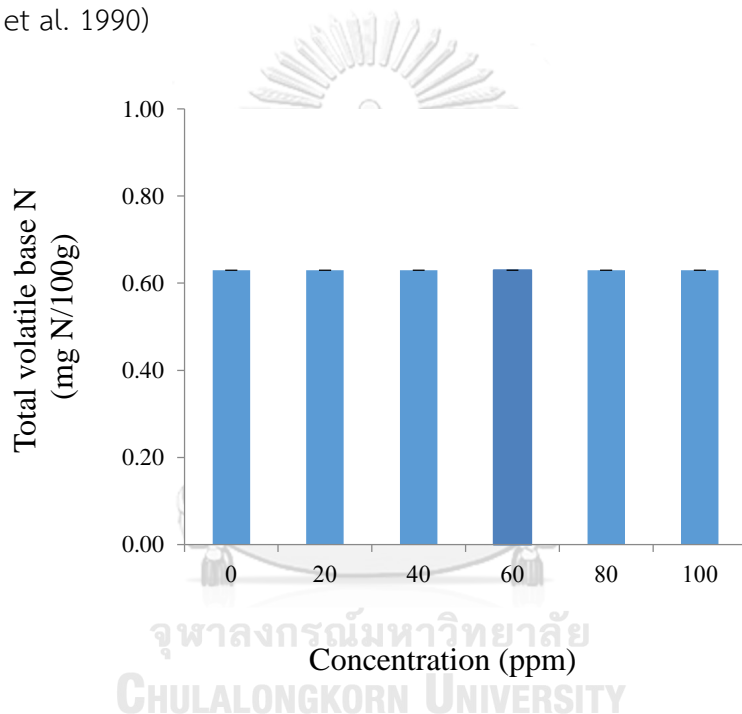
ตารางที่ 4.4 ค่าสี L* a* และ b* ส่วนกล้ามเนื้อ (adductor muscle) ของหอยนางรมที่ผ่านการทำความสะอาดเบื้องต้นด้วยน้ำอิเล็กโทรไลต์ที่ความเข้มข้นต่างๆ เป็นเวลา 30 นาที

น้ำอิเล็กโทรไลต์ (ppm)	ความเข้มข้นของค่าสีส่วนกล้ามเนื้อ (adductor muscle) ของหอยนางรม		
	L* ns	a* ns	b* ns
0	70.86±0.48	0.64±0.07	8.24±0.40
20	70.39±0.81	0.68±0.06	8.17±0.23
40	70.16±0.89	0.67±0.05	8.26±0.24
60	70.27±0.98	0.72±0.09	8.58±0.58
80	69.48±1.10	0.72±0.07	8.62±0.29
100	69.87±1.08	0.64±0.03	8.41±0.31

ค่าเฉลี่ย±ส่วนเบี่ยงเบนมาตรฐานของการทดลอง 3 ชั้้า

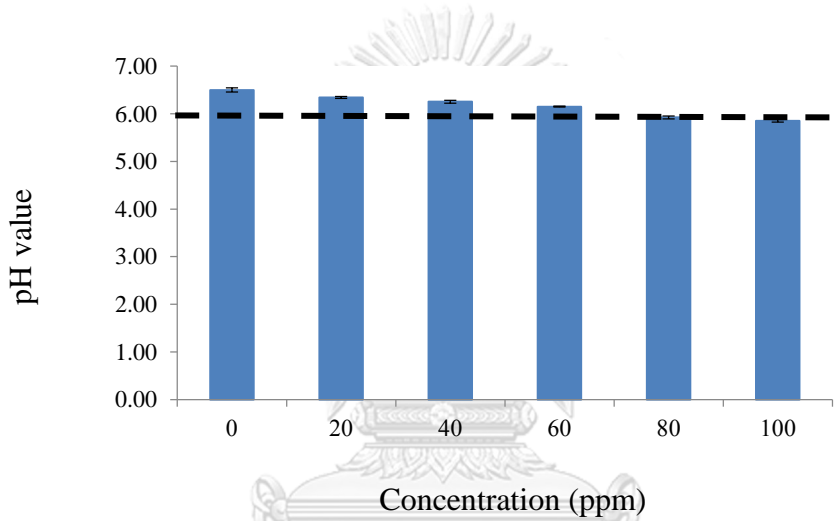
ns ค่าเฉลี่ยไม่แตกต่างกันอย่างมีนัยสำคัญ ($p>0.05$)

จากการศึกษาผลของปริมาณด่างที่ระเหยได้ทั้งหมด (Total volatile base N: TVB-N) ไม่พบความแตกต่างของทุกความเข้มข้น ($p>0.05$) โดยมีค่าอยู่ที่ $0.63 \text{ mg N}/100\text{g}$ ดังรูปที่ 4.6 เนื่องจากน้ำอิเล็กโทรไลต์ไม่ส่งผลให้เกิดการสลายตัวของสารประกอบในโตรเจรหั่งหมด ไม่ทำให้เกิดกลิ่นคาว และกลิ่นเหม็นเน่าของสัตว์น้ำ โดยทำการตรวจวัดปริมาณ แอมโมเนีย เออมีน ไตรเมทิลเออมีน (TMA), ไดเมทิลเออมีน (DMA) และสารประกอบในโตรเจนที่ระเหยได้ทำให้ไม่เกิดกลิ่นคาว และกลิ่นเหม็นเน่าของสัตว์น้ำ โดยใช้ค่าที่เป็นดัชนีวัดการเน่าเสียของสัตว์น้ำ จากการศึกษาของ สาวนมีนี ธีระบุษ และคณะ (2557) พบร่วมกับน้ำรอมปากจีบมีค่า TVB-N $0.08 \text{ mg N}/100\text{g}$ ในวันที่ 0 ของการเก็บรักษาแต่ยังไม่เกินค่าที่ป้องกันกลิ่นเน่าเสียของสัตว์น้ำคือ $30 \text{ mg N}/100\text{g}$ (Marrakchi et al. 1990)



รูปที่ 4.6 ปริมาณด่างที่ระเหยได้ทั้งหมดในหอยนางรมที่ผ่านการทำความสะอาดเบื้องต้นด้วยน้ำอิเล็กโทรไลต์ที่ความเข้มข้นต่างๆ เป็นเวลา 30 นาที

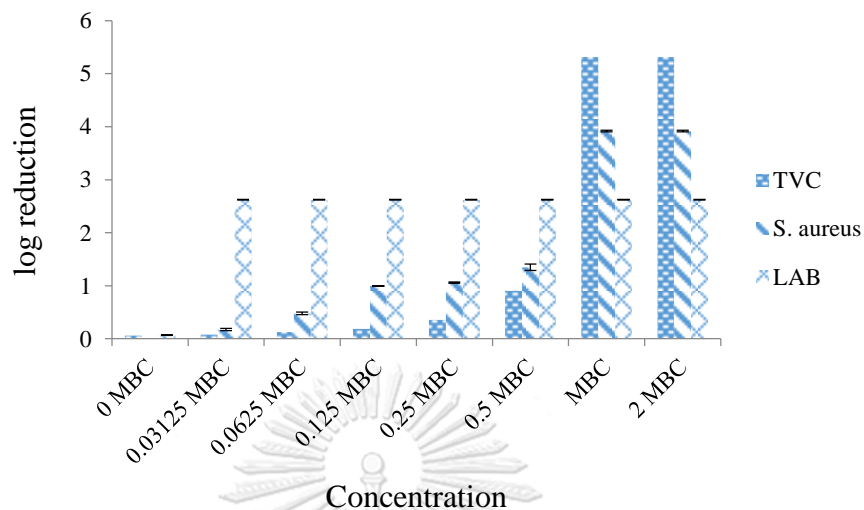
จากรูปที่ 4.7 การศึกษาการทำความสะอาดด้วยน้ำอิเล็กโทรไลต์พบว่าค่า pH ของหอยนางรมมีแนวโน้มลดลง เมื่อความเข้มข้นของน้ำอิเล็กโทรไลต์เพิ่มขึ้นจากตัวอย่างควบคุม จากผลการทดลองที่ความเข้มข้นของน้ำอิเล็กโทรไลต์ 60 ppm ค่า pH 6.25 ± 0.03 ซึ่งอยู่ในช่วงที่หอยนางรม มีความสด เมื่อ $\text{pH} \geq 6$ (Donn & Cameron, 1991) เนื่องจากว่าไฮดรอกไซด์ไอออนที่อยู่ในน้ำอิเล็กโทรไลต์ไปจับกับองค์ประกอบของโปรตีน และกรดนิวคลีอิก เกิดการสูญเสียหมู่อะซิดิก (acidic group) จึงส่งผลให้ค่า pH ลดลง (Hamm & Deatherage, 1960) จากการรายงาน Cruz-Romero, Kelly & Kerry (2007) ได้อธิบายว่าการเปลี่ยนแปลงของค่า pH ที่ลดลงเนื่องจากเนื้อหอยนางรมเกิดการสูญเสีย acidic group จากโปรตีนในกล้ามเนื้อ จึงส่งผลให้ค่า pH ลดลง



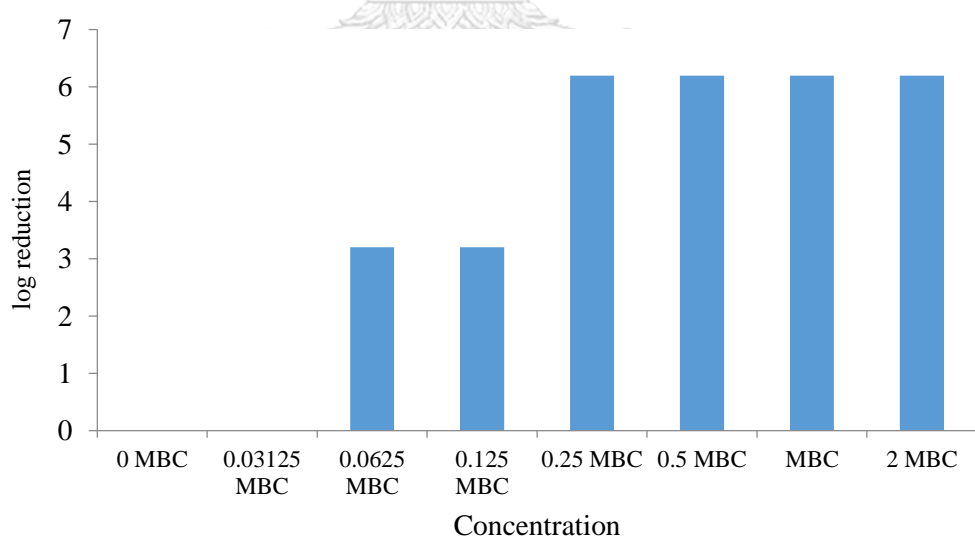
รูปที่ 4.7 ค่าความเป็นกรดด่างของหอยนางรมที่ผ่านการทำความสะอาดเบื้องต้นด้วยน้ำอิเล็กโทรไลต์ที่ความเข้มข้นต่างๆ เป็นเวลา 30 นาที

4.4 ผลของกรดแลคติกต่อจุลชีววิทยา สมบัติทางเคมี และภัยพิษของหอยนางรมที่ผ่านการทำความสะอาดเบื้องต้นด้วยกรดแลคติก

การศึกษาจะคัดเลือกความเข้มข้นของกรดแลคติกในการยับยั้งการเจริญของเชื้อแบคทีเรียในตัวอย่างหอยนางรมซึ่งประกอบไปด้วยหอยนางรมที่ทำความสะอาดด้วยกรดแลคติกที่ความเข้มข้น 0.03125 0.0625 0.125 0.25 0.5 1 2 MBC และน้ำปลดเชื้อเป็นตัวอย่างควบคุม โดยใช้ในระยะเวลา 30 นาที พบร่วมกันที่ความเข้มข้น 0.0625 MBC จากรูปที่ 4.8 และ 4.9 สามารถลดจำนวนเชื้อแบคทีเรียทั้งหมด $0.08 \pm 0.02 \log_{10} \text{CFU/g}$, *S. aureus* $0.48 \pm 0.03 \log_{10} \text{CFU/g}$ ซึ่งการลดลงของเชื้อจุลินทรีย์ทั้งหมด และ *S. aureus* ไม่แตกต่าง ($p > 0.05$) แต่ในขณะที่เชื้อ *V. parahaemolyticus* ลดลง $3.2 \pm 0.20 \text{ MPN/g}$ และไม่พบการเจริญของ lactic acid bacteria (LAB) โดยแตกต่างอย่างมีนัยสำคัญ ($p < 0.05$) โดยพบว่ากรดแลคติกสามารถยับยั้งการเจริญของเชื้อ *V. parahaemolyticus* และ LAB ได้ดีจากการศึกษากรดแลคติกที่ความเข้มข้นตั้งแต่ 0.125MBC ขึ้นไปพบว่าเนื้อหอยนางรมมีลักษณะนิ่ม ซึ่งวิเคราะห์ผลได้จากค่าแรงตัวที่ลดลง ตั้งรูปที่ 4.10 และ 4.11 กรดแลคติก เมื่อแตกตัวทำให้มีไฮโดรเจนไอออน (H^+) หลุดออกมายับกับโปรตีนที่ผนังเซลล์ของเนื้อหอยนางรมเป็นผลให้โปรตีนในหอยนางรมจับกันอย่างหลวมๆ (สุแพรพันธ์ โลหะลักษณาเดช และ ชุตินุช สุจริต, 2556) เมื่อโปรตีนยึดเกาะกันอย่างหลวมๆ จึงส่งผลให้เกิดการสูญเสียหมู่อะซิดิก (acidic group) ที่เนื้อหอยนางรมทำให้ค่า pH ลงลง ตั้งรูปที่ 4.13 จากการศึกษาของ สุแพรพันธ์ โลหะลักษณาเดช และ ชุตินุช สุจริต (2556) พบร่วมกันที่การใช้กรดแลคติกร้อยละ 1.5 เนื้อสัมผัสค่อนข้างนิ่ม และการยอมรับโดยรวมอยู่ในระดับปานกลาง จากการศึกษาจึงมีการเลือกความเข้มข้นที่ต่ำลงมาจากการ MBC ของกรดแลคติก

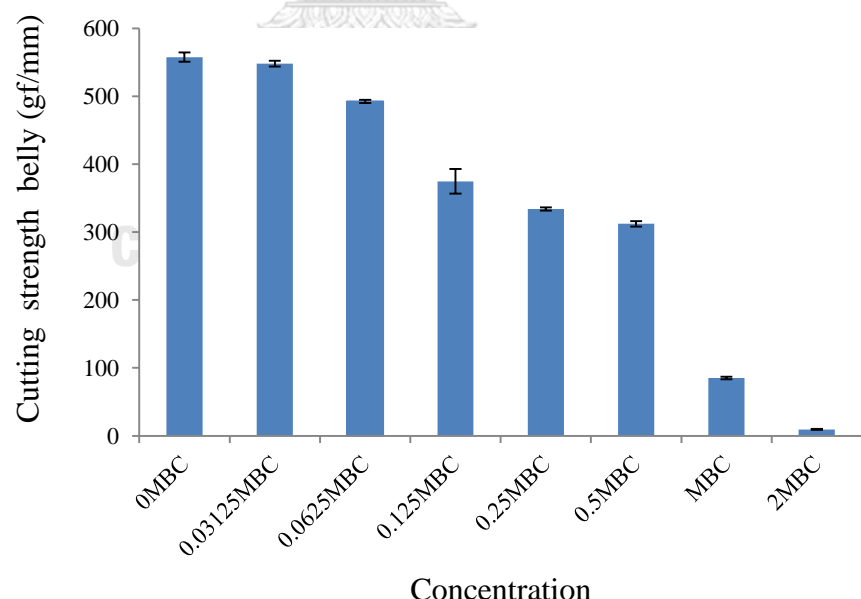


รูปที่ 4.8 จำนวนของเชื้อจุลินทรีย์ทั้งหมด, *S. aureus* และ lactic acid bacteria (LAB) ที่ลดลง
ของหอยนางรมที่ผ่านการทำความสะอาดเบื้องต้นด้วยกรดแลคติกที่ความเข้มข้นต่างๆ
เป็นเวลา 30 นาที

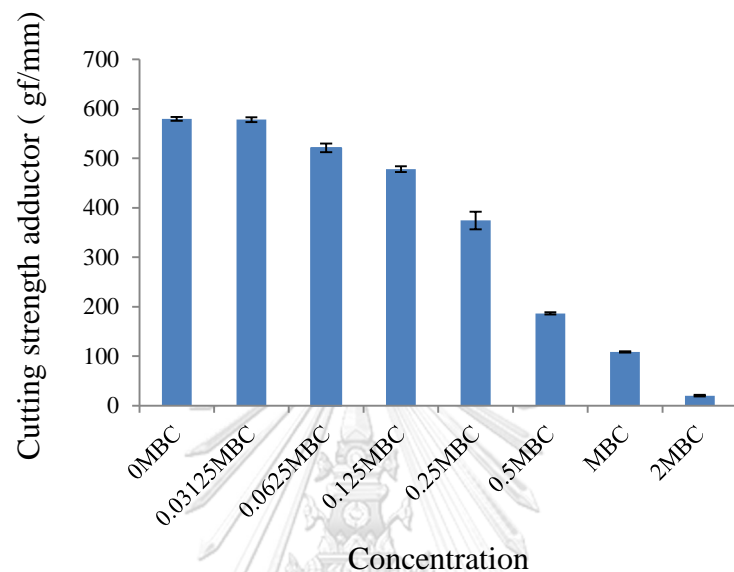


รูปที่ 4.9 จำนวนของ *V. parahaemolyticus* ที่ลดลงในหอยนางรมที่ผ่านการทำความสะอาด
เบื้องต้นด้วยกรดแลคติกที่ความเข้มข้นต่างๆ เป็นเวลา 30 นาที

จากการศึกษาค่าการแรงตัดของเนื้อหอยนางรม จากรูปที่ 4.10-4.11 และค่าแรงตัดทั้งส่วนห้อง (belly) และส่วนของกล้ามเนื้อ (adductor muscle) เมื่อความเข้มข้นของกรดแลคติกเพิ่มขึ้นค่าแรงตัดจะมีค่าลดลง โดยปัจจัยที่เกี่ยวข้องกับการแปรสภาพของโปรตีน เนื่องจากกรดแลคติกเกิดการแตกตัวให้ไฮโดรเจนไอโอน ผลให้โปรตีนจับกันนำไปได้น้อยลง โปรตีนเกิดการคลายเกลี่ยว เส้นใยกล้ามเนื้ออยู่กันอย่างหลวມๆ เป็นสาเหตุให้เนื้อนิ่มและอ่อนตัวลง (สุwareพันธ์ โลหะลักษณาเดช และ ชุตินุช สุจิริต, 2556) โดยด้านหน้าห้องค่าแรงตัดจะน้อยกว่าส่วนของกล้ามเนื้อ ซึ่งเกิดจากปริมาณของเนื้อเยื่อเกี่ยวพัน องค์ประกอบ และโครงสร้างของโปรตีนโดยด้านหน้าห้อง (belly) จะเป็นกล้ามเนื้อเรียบ ส่วนของกล้ามเนื้อ (adductor muscle) จะมีพวากล้ามเนื้อลายและกล้ามเนื้อหัวใจจึงทำให้แรงการตัดต่างกัน Bouston et al. (1978) อธิบายว่าส่วนห้องจะประกอบไปด้วยระบบทางเดินอาหารต่างๆ อยู่ และส่วนใหญ่ประกอบไปด้วยกล้ามเนื้อเรียบ และในส่วนของกล้ามเนื้อ จะประกอบไปด้วยส่วนของหัวใจ และกล้ามเนื้อลายมัดใหญ่ ทำให้ค่าแรงตัดของห้องสองตำแหน่งนี้แตกต่างกัน



รูปที่ 4.10 ค่าแรงตัดเฉือนส่วนห้อง (belly) ของหอยนางรมที่ผ่านการทำความสะอาดเบื้องต้นด้วยกรดแลคติกที่ความเข้มข้นต่างๆ เป็นเวลา 30 นาที



รูปที่ 4.11 ค่าแรงตัดเฉือนส่วนกล้ามเนื้อ (adductor muscle) ของหอยนางรมที่ผ่านการทำความสะอาดเดบองทันด้วยกรดแลคติกที่ความเข้มข้นต่างๆ เป็นเวลา 30 นาที

จากผลการศึกษาค่า L^* a^* และ b^* เมื่อทำการทดสอบด้วยกรดแลคติกที่ทุกความเข้มข้นไม่พบรูปแบบเปลี่ยนแปลงทั้งส่วนท้อง และส่วนกล้ามเนื้อของหอยนางรมจากตัวอย่างควบคุม ($p>0.05$) เนื่องจากการดแลคติกไม่ส่งผลต่อกา L^* a^* และ b^* ตั้งรูปที่ 4.14-4.15 โดยกรดแลคติกที่ 0.0625MBC มีค่า L^* a^* และ b^* ส่วนท้องมีค่า 66.40 ± 3.61 $-0.5.8\pm0.14$ และ 7.39 ± 0.30 ตามลำดับ ส่วนกล้ามเนื้อมีค่า 70.19 ± 1.13 0.45 ± 0.03 และ 7.88 ± 1.54 ตามลำดับ ซึ่งไม่แตกต่างจากตัวอย่างควบคุม

ตารางที่ 4.5 ค่าสี L* a* และ b* ส่วนท้อง (belly) ของหอยนางรมที่ผ่านการทำความสะอาดเบื้องต้นด้วยกรดแลคติกที่ความเข้มข้นต่างๆ เป็นเวลา 30 นาที

กรดแลคติก	ความเข้มข้นของ		
	L* ^{ns}	a* ^{ns}	b* ^{ns}
0 MBC	68.16±1.15	-0.58±0.17	7.08±0.32
0.03125 MBC	65.59±4.15	-0.64±0.13	8.98±0.83
0.0625 MBC	66.40±3.61	-0.58±0.14	7.39±0.30
0.125 MBC	67.08±1.16	-0.46±0.02	7.87±0.43
0.25 MBC	66.73±2.28	-0.65±0.03	8.40±0.70
0.5 MBC	66.89±4.88	-0.64±0.04	7.39±0.36
1 MBC	66.59±5.24	-0.68±0.09	8.38±0.49
2 MBC	66.54±7.12	-0.85±0.05	7.93±0.43

ค่าเฉลี่ย±ส่วนเบี่ยงเบนมาตรฐานของการทดลอง 3 ช้ำ

^{ns} ค่าเฉลี่ยไม่แตกต่างกันอย่างมีนัยสำคัญ ($p>0.05$)

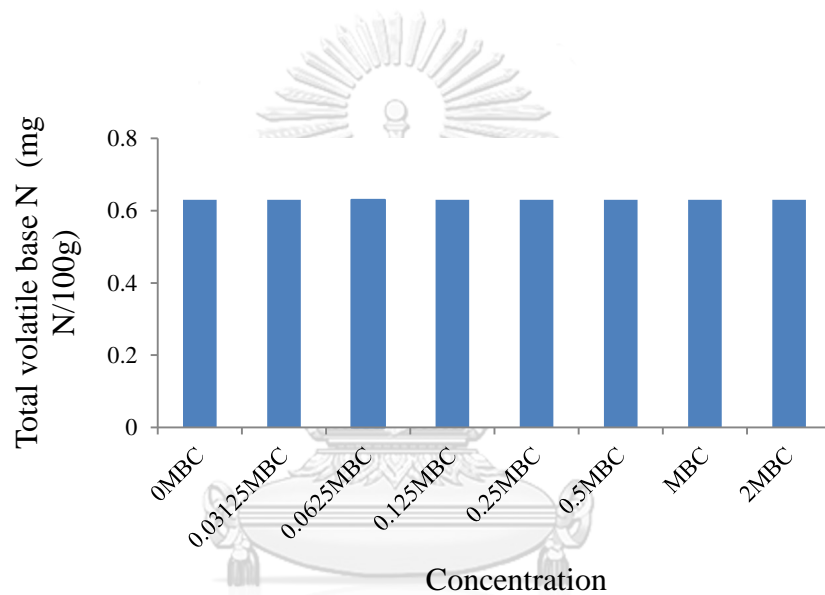
ตารางที่ 4.6 ค่าสี L* a* และ b* ส่วนกล้ามเนื้อ (adductor muscle) ของหอยนางรมที่ผ่านการทำความสะอาดเบื้องต้นด้วยกรดแลคติกที่ความเข้มข้นต่างๆ เป็นเวลา 30 นาที

กรดแลคติก	ความเข้มข้นของ		
	L* ^{ns}	a* ^{ns}	b* ^{ns}
0 MBC	69.48±0.47	0.70±0.05	7.54±0.97
0.03125 MBC	68.94±1.12	0.73±0.07	8.89±2.18
0.0625 MBC	70.19±1.13	0.45±0.03	7.88±1.54
0.125 MBC	68.88±1.77	0.46±0.03	7.57±0.21
0.25 MBC	68.63±3.21	0.81±0.07	8.03±0.10
0.5 MBC	68.72±3.64	0.81±0.09	7.20±0.14
1 MBC	68.35±3.60	0.80±0.08	10.12±0.41
2 MBC	67.50±3.15	0.79±0.09	8.46±0.53

ค่าเฉลี่ย±ส่วนเบี่ยงเบนมาตรฐานของการทดลอง 3 ช้ำ

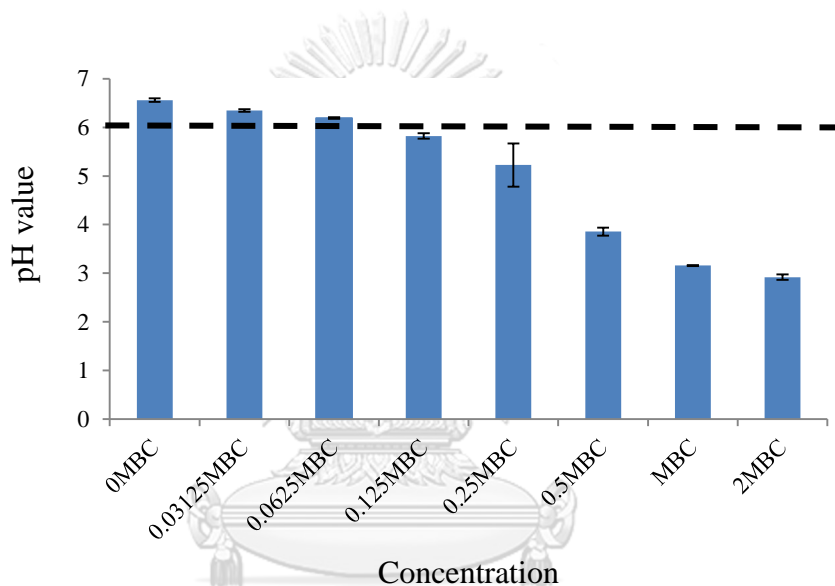
^{ns} ค่าเฉลี่ยไม่แตกต่างกันอย่างมีนัยสำคัญ ($p>0.05$)

จากการศึกษาผลของปริมาณด่างที่ระเหยได้ทั้งหมด (Total volatile base N: TVB-N) ไม่พบความแตกต่างของทุกความเข้มข้น ($p>0.05$) โดยมีค่าอยู่ที่ $0.63 \text{ mg N}/100\text{g}$ ดังรูปที่ 4.16 เนื่องจากกรดแลคติกไม่ส่งผลให้เกิดการสลายตัวของสารประกอบในโตรเจนทั้งหมด ไม่ทำให้เกิดกลิ่นคาว และกลิ่นเหม็นเน่าของสัตว์น้ำโดยทำการตรวจปริมาณ แอมโมเนีย เออมีน ไตรเมทธอลเอมีน (TMA), ไดเมทธอลเอมีน (DMA) และสารประกอบในโตรเจนที่ระเหยได้ทำให้ไม่เกิดกลิ่นคาว และกลิ่นเหม็นเน่าของสัตว์น้ำ โดยใช้ค่านี้เป็นดัชนีวัดการเน่าเสียของสัตว์น้ำ โดยจากการศึกษาของ สาวนินี รี ระบุณิ แล้วคณะ (2557) พบร่วมกับปริมาณกีบมีค่า TVB-N $0.08 \text{ mg N}/100\text{g}$ ในวันที่ 0 ของการเก็บรักษาแต่ยังไม่เกินค่า $30 \text{ mg N}/100\text{g}$ (Marrakchi et al. 1990)



รูปที่ 4.12 ปริมาณด่างที่ระเหยได้ทั้งหมดในหอยนางรมที่ผ่านการทำความสะอาดเบื้องต้นด้วย
กรดแลคติกที่ความเข้มข้นต่างๆ เป็นเวลา 30 นาที

จากรูปที่ 4.13 การศึกษาการทำความสะอาดด้วยกรดแลคติกพบร้าค่า pH มีค่าลดลง เมื่อความเข้มข้นของกรดแลคติกเพิ่มขึ้นจากตัวอย่างควบคุมอย่างมีนัยสำคัญ ($p \leq 0.05$) จากผลการทดลองที่ความเข้มข้น 0.0625 MBC ค่า pH 6.19 ± 0.02 ซึ่งอยู่ในช่วงที่หอยนางรมมีความสด เมื่อ $pH \geq 6$ (Donn & Cameron, 1991) เนื่องจากว่าไฮโดรเจนไอออนที่มีอยู่ในกรดแลคติกไปจับกับองค์ประกอบของโปรตีน เช่น นิวคลีโอไทด์ เกิดการสูญเสียหมู่อะซิดิก (acidic group) จึงส่งผลให้ค่า pH ลงลง จากการรายงานของ สุแพรวาดีรุ๊ โลหะลักษณาเดช และ ชุตินุช สุจริต (2556) พบค่า pH ที่ลดลงเนื่องจากเนื้อหอยแครงที่ผ่านการทำจุ่มในสารละลายกรดแลคติกร้อยละ 2 ที่เวลา 3 นาที พบว่า เกิดการสูญเสีย acidic group จากโปรตีนในกล้ามเนื้อ จึงส่งผลให้ค่า pH ลดลง



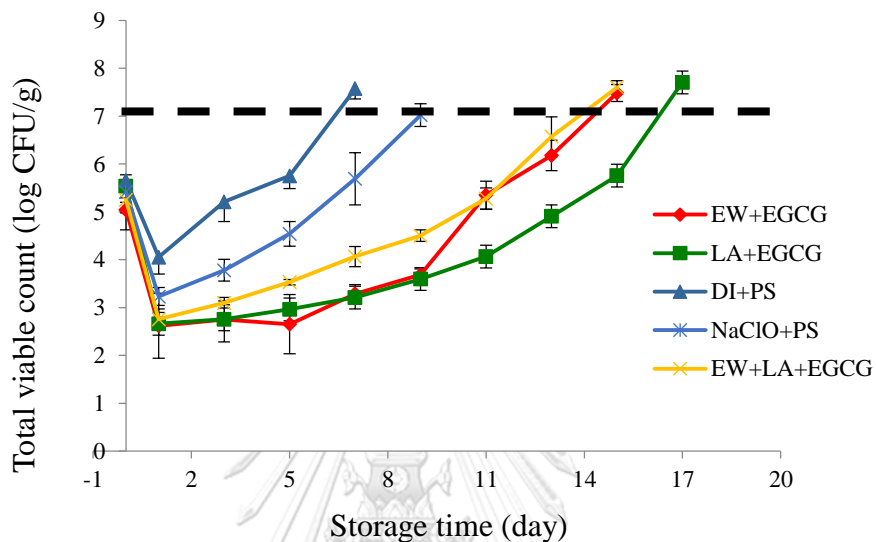
รูปที่ 4. 13 ค่าความเป็นกรดด่างของหอยนางรมที่ผ่านการทำความสะอาดเบื้องต้นด้วยกรดแลคติก
ที่ความเข้มข้นต่างๆ เป็นเวลา 30 นาที

4.5 การศึกษาผลของสารสกัดชาเขียวต่อจุลชีววิทยา สมบัติทางเคมี และภัยพาพของหอยนางรมระหว่างการเก็บที่อุณหภูมิ $4\pm2^{\circ}\text{C}$

การศึกษาประสิทธิภาพของสารสกัดชาเขียวในการนำมาใช้แข่หอยนางรมเพื่อช่วยชะลอการเสื่อมเสียและยืดอายุการเก็บรักษาที่อุณหภูมิ $4\pm2^{\circ}\text{C}$ เมื่อเทียบกับสารกันเสียโพแทสเซียมซอร์เบต เมื่อเก็บตัวอย่างหอยนางรมที่ผ่านการทำความสะอาดด้วยน้ำอิเล็กโทรไลต์ 60 ppm โดยเช่นใน EGCG ที่ค่า MBC สูงสุดในการยับยั้งเชื้อแบคทีเรีย 5 $\mu\text{g}/\text{mL}$ (EW+EGCG) ตัวอย่างหอยนางรมที่ผ่านการทำความสะอาดด้วยกรดแลคติก 0.0625 MBC โดยนำหอยนางรมมาแช่ลงใน EGCG 5 $\mu\text{g}/\text{mL}$ (LA+EGCG) และตัวอย่างหอยนางรมที่ผ่านการทำความสะอาดด้วยน้ำอิเล็กโทรไลต์ร่วมกับกรดแลคติก จากนั้นนำหอยนางรมมาแช่ลงใน EGCG 5 $\mu\text{g}/\text{mL}$ (EW+LA+EGCG) ส่วนตัวอย่างควบคุมที่ทำการทำความสะอาดด้วยน้ำปลอดเชื้อและแข่หอยนางรมลงในสารกันเสียโพแทสเซียมซอร์เบต 0.1% (DI+PS) และทำการทำความสะอาดด้วยโซเดียมไฮโปคลอไรต์ 60 ppm และแข่หอยนางรมลงในสารกันเสีย 0.1 % (60 ppm NaClO+PS) พบร่วมกับปริมาณจุลินทรีย์ที่มีชีวิตทั้งหมดลดลงหลังการแข่หอยนางรมลงใน EGCG (EW+EGCG) ลดจาก 5.04 เหลือ 2.62 \log_{10} CFU/g การทำความสะอาดด้วยกรดแลคติกและแข่ลงใน EGCG (LA+EGCG) ลดจาก 5.53 เหลือ 2.66 \log_{10} CFU/g การทำความสะอาดด้วยน้ำอิเล็กโทรไลต์และแข่ลงใน EGCG (EW+LA+EGCG) ลดจาก 5.24 เหลือ 2.75 \log_{10} CFU/g และตัวอย่างควบคุม DI+PS จาก 5.65 เหลือ 4.05 \log_{10} CFU/g, 10 ppm NaClO+PS จาก 5.60 เหลือ 3.92 \log_{10} CFU/g และ 60 ppm NaClO+PS จาก 5.41 เหลือ 3.23 \log_{10} CFU/g โดยเมื่อพิจารณาเกณฑ์ในการเสื่อมเสียทางจุลินทรีย์ไม่เกิน 7 \log_{10} CFU/g (ICMFS., 1974) พบร่วมกับกรดแลคติกและแข่ลงใน EGCG (EW+LA+EGCG) มีอายุการเก็บที่น้อยที่สุดคือ 7 วัน ส่วน 60 ppm NaClO+PS มีอายุการเก็บรักษา 9 วัน ส่วนหอยนางรมที่ผ่านการทำความสะอาดด้วยน้ำอิเล็กโทรไลต์และแข่ด้วย EGCG (EW+EGCG) และหอยนางรมที่ทำการทำความสะอาดด้วยน้ำอิเล็กโทรไลต์ร่วมกับกรดแลคติกและแข่ลงใน EGCG (EW+LA+EGCG) มีอายุการเก็บ 15 วัน และหอยนางรมที่ผ่านการทำความสะอาดด้วยกรดแลคติกและแข่ด้วย EGCG (LA+EGCG) มีอายุการเก็บ 17 วัน ดังรูปที่ 4.14

จากการทดลองพบว่าการใช้ EGCG เมื่อพิจารณาการเสื่อมเสียจากปริมาณเชื้อจุลินทรีย์ทั้งหมดพบว่าการเก็บรักษาหอยนางรมที่ความเข้มข้น 5 $\mu\text{g}/\text{mL}$ มีอายุการเก็บรักษา 15 วัน โดยไม่พบการเจริญของเชื้อ *E. coli* (ดังรูปที่ 4.5) จากการพิจารณาค่าความสด (TVB-N) ของหอยนางรมโดยมีเกณฑ์ไม่เกิน 30 mgN/100g พบร่วมกับการลดอัตราการเก็บรักษา มีค่า TVB-N 1.89 mgN/100g ซึ่งเป็นคุณสมบัติหนึ่งของ EGCG ในการลดการเกิดออกซิเดชัน (Lakenbrink et al. 2000) และจากการศึกษาของสวามินี ธีระวุฒิ และคณะ (2557) การใช้โพแทสเซียมซอร์เบต 3% ในการแข่หอยนางรม

หอยนางรม มีอายุการเก็บรักษา 8 วัน โดยยังคงพบเชื้อ *E. coli* แต่ยังอยู่ในมาตรฐาน เมื่อพิจารณาค่า TVB-N ในวันแรกมีค่า 25-30 mgN/100g และวันสุดท้ายของการเก็บรักษาคือ 42.14 mgN/100g



รูปที่ 4.14 ปริมาณจุลินทรีย์ที่มีชีวิตทั้งหมดในหอยนางรมที่เก็บที่อุณหภูมิ $4\pm2^{\circ}\text{C}$ (1)หอยนางรมที่ทำความสะอาดด้วยน้ำอิเล็กโทรไลต์และเซลล์ในEGCG; EW+EGCG (2)หอยนางรมที่ทำความสะอาดด้วยกรดแลคติกและเซลล์ในEGCG; LA+EGCG (3)หอยนางรมที่ทำความสะอาดด้วยน้ำปลาดื่นเชือและเซลล์ในโพแทสเซียมซอร์เบต; DI+PS (4)หอยนางรมที่ทำความสะอาดด้วยโซเดียมไฮโปคลอไรต์และเซลล์ในโพแทสเซียมซอร์เบต: NaClO+PS และ (5)หอยนางรมที่ทำความสะอาดด้วยน้ำอิเล็กโทรไลต์ร่วมกับกรดแลคติกและเซลล์ในEGCG; EW+LA+EGCG

หอยนางรมจากการศึกษามีปริมาณแบคทีเรียก่อโรคในทางเดินอาหาร *Staph. aureus* $4.67 \log_{10} \text{CFU/g}$, *E. coli* $2.3 \log_{10} \text{CFU/g}$, *V. parahaemolyticus* 7.2 MPN/g และ *Salmonella* spp. $3.11 \log_{10} \text{CFU/g}$ ซึ่งในทางจุลชีววิทยาไม่เหมาะสมต่อการบริโภค เนื่องจากกรรมวิทยาศาสตร์การแพทย์ (2553) ได้ระบุเกณฑ์คุณภาพทางจุลชีววิทยาของอาหารทะเลดิบที่เตรียมในสภาพบริโภคได้ทันทีว่าต้องมีแบคทีเรีย *E. coli* น้อยกว่า 3 MPN/g *Staph. aureus* น้อยกว่า $2 \log_{10} \text{CFU/g}$ และต้องไม่ตรวจพบ *Salmonella* spp. *V. parahaemolyticus* ในเนื้อหอยนางรม จากรูปที่ 4.15-4.17 พบร่วมกันเช่นเดียวกับ EGCG ไม่พบการเจริญของเชื้อ *E. coli*

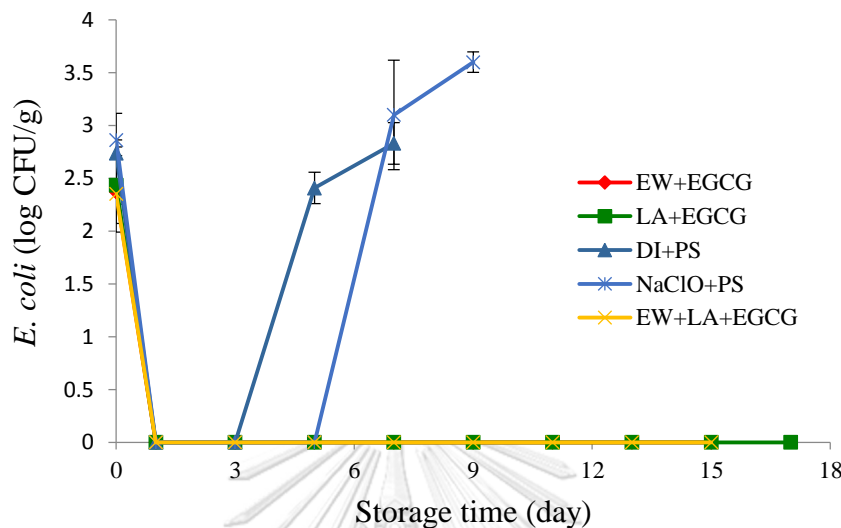
V. parahaemolyticus และ *Salmonella* spp. ตลอดอายุการเก็บรักษา แต่ในตัวอย่างควบคุม ยังคงพบการเจริญของเชื้อ *E. coli* *Staph. aureus* และ *Salmonella* spp.

จากการศึกษาปริมาณเชื้อ *E. coli* จากรูป 4.15 พบว่าในวันที่ 1 ของการแช่ด้วยEGCG ไม่พบการเจริญของเชื้อนี้อีกอย่างมีนัยสำคัญ ($p \leq 0.05$) แต่ยังคงพบในตัวอย่างควบคุม (DI+PS) เมื่อแช่ด้วยสารกันเสียโพแทสเซียมซอเบต 0.1% พบการเจริญของเชื้อน้อยกว่า 30 CFU/g และพบการเจริญเพิ่มขึ้นในวันที่ 5 และ 7 ของการเก็บรักษา

เชื้อ *V. parahaemolyticus* ไม่พบการเจริญหลังจากแช่ในEGCG และสารกันเสียอย่างมีนัยสำคัญ ($p \leq 0.05$) ดังรูปที่ 4.16

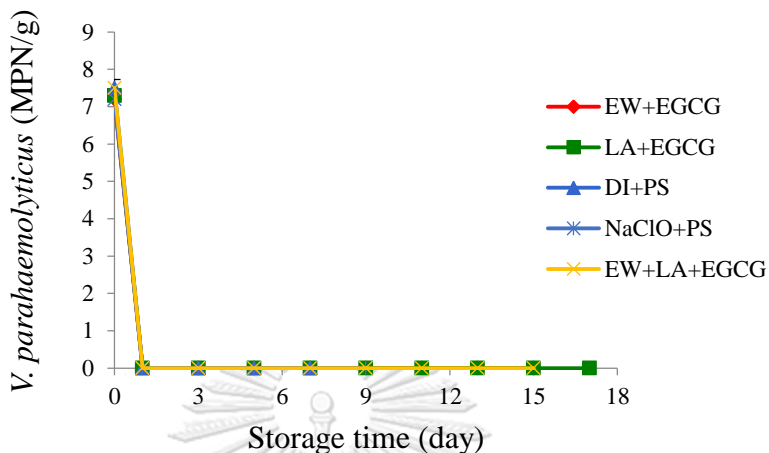
เชื้อ *Salmonella* spp. จากรูป 4.17 หอยนางรมที่ทำความสะอาดด้วยน้ำอิเล็กโทรไลต์ และแช่ลงในEGCG (EW+EGCG) โดยลดได้ $2.92 \log_{10}$ CFU/g อย่างมีนัยสำคัญ ($p \leq 0.05$) และไม่พบการเจริญของเชื้อตลอดอายุการเก็บรักษา ส่วนหอยนางรมที่ทำความสะอาดด้วยกรดแลคติก และแช่ลงในEGCG (LA+EGCG) สามารถยับยั้งการเจริญของเชื้อน้อยกว่า 30 CFU/g และพบการเจริญเพิ่มขึ้นในวันที่ 5 ของการเก็บรักษา หอยนางรมที่ทำความสะอาดด้วยน้ำอิเล็กโทรไลต์ร่วมกับกรดแลคติกและแช่ลงในEGCG (EW+LA+EGCG) สามารถยับยั้งการเจริญของเชื้อน้อยกว่า 30 CFU/g และพบการเจริญเพิ่มขึ้นในวันที่ 3 ของการเก็บรักษา และในตัวอย่างควบคุม DI+PS, และ 60ppm NaClO+PS เมื่อแช่ด้วยสารกันเสีย โพแทสเซียมซอเบต 0.1% พบว่าเชื้อลดลง 0.6, และ $0.80 \log_{10}$ CFU/g ตามลำดับ จากนั้นเชื้อเพิ่มขึ้นตลอดอายุการเก็บรักษา

จำนวนเชื้อ *Staph. aureus* ในเนื้อหอยนางรม โดยหลังการแช่ด้วยEGCG พบว่าสามารถยับยั้งเชื้อ ได้น้อยกว่า 30 CFU/g ส่วนตัวอย่างควบคุม DI+PS และ 60ppm NaClO+PS พบว่า เชื้อลดลง 1.02 และ $1.07 \log_{10}$ CFU/g ตามลำดับ ของการเก็บรักษาที่อุณหภูมิ $4 \pm 2^\circ\text{C}$ จากรูปที่ 4.18



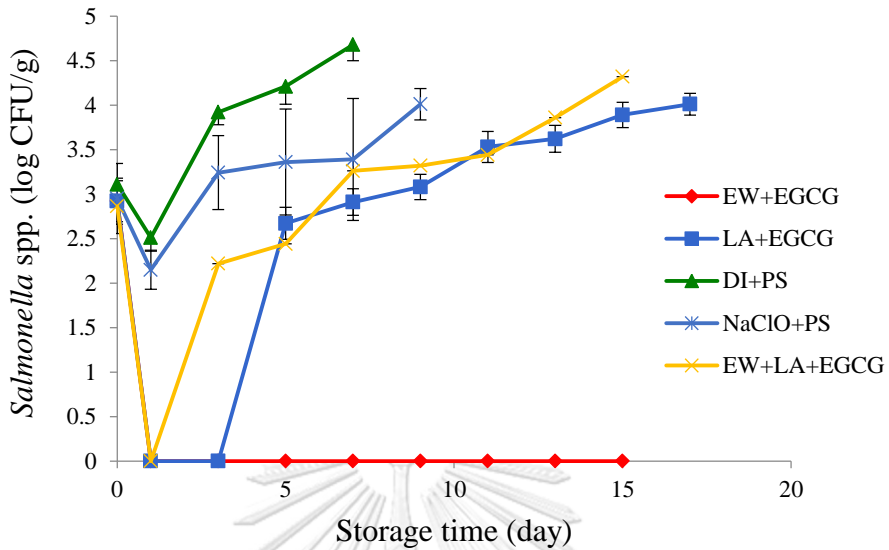
รูปที่ 4.15 ปริมาณเชื้อ *E. coli* ในหอยนางรมที่เก็บที่อุณหภูมิ 4 ± 2 °C

(1)หอยนางรมที่ทำการฆ่าเชื้อด้วยน้ำอิเล็กโทรไลต์และแซล์ฟินEGCG; EW+EGCG (2)หอยนางรมที่ทำการฆ่าเชื้อด้วยกรดแลคติกและแซล์ฟินEGCG; LA+EGCG (3)หอยนางรมที่ทำการฆ่าเชื้อด้วยน้ำปลาดื่ม เชื้อและแซล์ฟินโพแทสเซียมซอร์เบต; DI+PS (4)หอยนางรมที่ทำการฆ่าเชื้อด้วยโซเดียมไฮโปคลอไรต์และแซล์ฟินโพแทสเซียมซอร์เบต: NaClO+PS และ (5)หอยนางรมที่ทำการฆ่าเชื้อด้วยน้ำอิเล็กโทรไลต์ร่วมกับกรดแลคติกและแซล์ฟินEGCG; EW+LA+EGCG



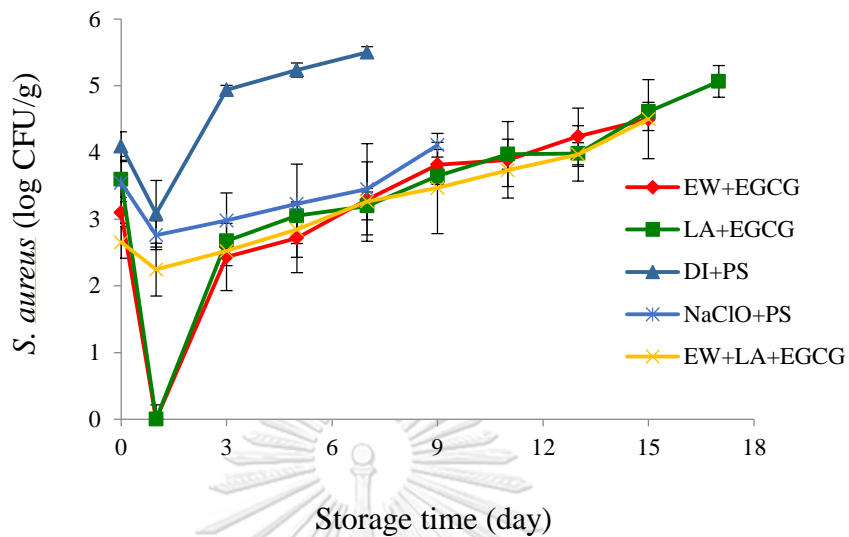
รูปที่ 4.16 ปริมาณเชื้อ *Vibrio parahaemolyticus* ในหอยนางรมที่เก็บที่อุณหภูมิ $4\pm2^{\circ}\text{C}$ (1)หอยนางรมที่ทำการ杀滅ด้วยน้ำอิเล็กโทรไลต์และแซล์ฟ์ในEGCG; EW+EGCG (2)หอยนางรมที่ทำการ杀滅ด้วยกรดแลคติกและแซล์ฟ์ในEGCG; LA+EGCG (3)หอยนางรมที่ทำการ杀滅ด้วยน้ำปลาด้วยแลคติกและแซล์ฟ์ในโพแทสเซียมซอร์เบต; DI+PS (4)หอยนางรมที่ทำการ杀滅ด้วยโซเดียมไฮโปคลอไรต์และแซล์ฟ์ในโพแทสเซียมซอร์เบต: NaClO+PS และ (5)หอยนางรมที่ทำการ杀滅ด้วยน้ำอิเล็กโทรไลต์ร่วมกับกรดแลคติกและแซล์ฟ์ในEGCG; EW+LA+EGCG

จุฬาลงกรณ์มหาวิทยาลัย
CHULALONGKORN UNIVERSITY



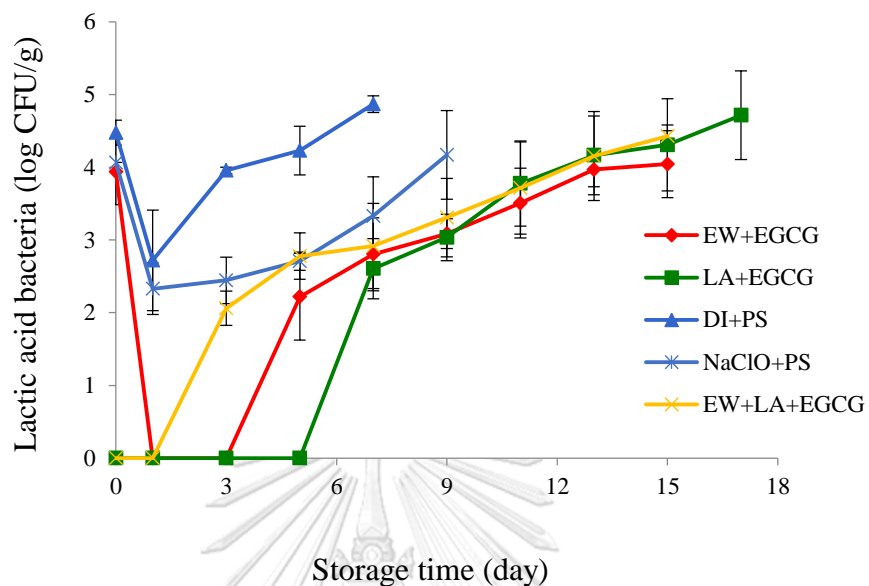
รูปที่ 4.17 ปริมาณเชื้อ *Salmonella* spp. ในหอยนางรมที่เก็บที่อุณหภูมิ 4 ± 2 °C

(1)หอยนางรมที่ทำการดักจับด้วยน้ำอิเล็กโทรไลต์และแซล์จในEGCG; EW+EGCG (2)หอยนางรมที่ทำการดักจับด้วยกรดแลคติกและแซล์จในEGCG; LA+EGCG (3)หอยนางรมที่ทำการดักจับด้วยน้ำปลาดือและแซล์จในโพแทสเซียมซอร์เบต; DI+PS (4)หอยนางรมที่ทำการดักจับด้วยโซเดียมไฮโปคลอไรท์และแซล์จในโพแทสเซียมซอร์เบต: NaClO+PS และ (5)หอยนางรมที่ทำการดักจับด้วยน้ำอิเล็กโทรไลต์ร่วมกับกรดแลคติกและแซล์จในEGCG; EW+LA+EGCG



รูปที่ 4.18 ปริมาณเชื้อ *Staphylococcus aureus* ในหอยนางรมที่เก็บที่อุณหภูมิ $4\pm2^{\circ}\text{C}$ (1)หอยนางรมที่ทำการดัดด้วยน้ำอีล็กโตรไอล์ตและแซล์สในEGCG; EW+EGCG (2)หอยนางรมที่ทำการดัดด้วยกรดแลคติกและแซล์สในEGCG; LA+EGCG (3)หอยนางรมที่ทำการดัดด้วยน้ำปลาดื่ชือและแซล์สในโพแทสเซียมซอร์เบต; DI+PS (4)หอยนางรมที่ทำการดัดด้วยโซเดียมไฮโปคลอไรต์และแซล์สในโพแทสเซียมซอร์เบต: NaClO+PS และ (5)หอยนางรมที่ทำการดัดด้วยน้ำอีล็กโตรไอล์ตร่วมกับกรดแลคติกและแซล์สในEGCG; EW+LA+EGCG

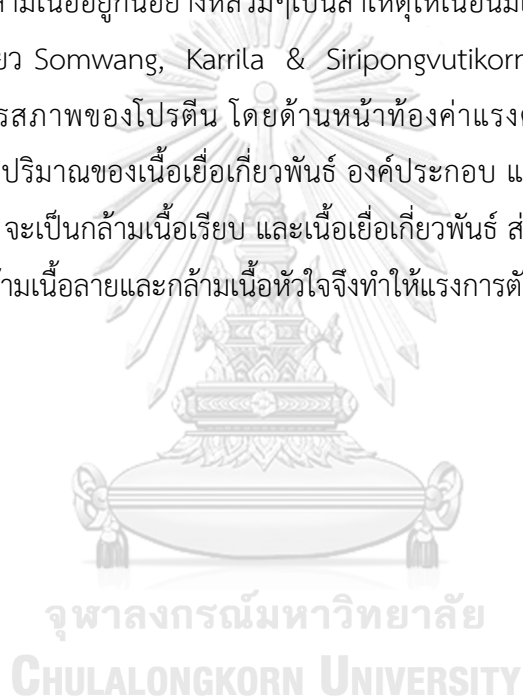
เขื้อแบคทีเรียที่ผลิตกรดแลคติกจัดเป็นเขื้อแบคทีเรียหลักที่ทำให้เกิดการเน่าเสียในหอยนางรม (Chen et al., 2017) โดยหลังจากการทำการดัดด้วยกรดแลคติกและแซล์สในEGCG (LA+EGCG) ไม่พบการเจริญของเชื้อ และเขื้อเริ่มมีการเจริญเพิ่มขึ้นในวันที่ 4 ของการเก็บรักษา ส่วนการทำความสะอาดเบื้องต้นด้วยน้ำอีล็กโตรไอล์ตแซล์สในEGCG (EW+ EGCG) พบร้า เชื้อที่ผลิตกรดแลคติกสามารถลดจำนวนลง $3.92 \log_{10} \text{CFU/g}$ และเพิ่มจำนวนขึ้นหลังจาก 7- 9 วัน ส่วนตัวอย่างควบคุมมีจำนวนเพิ่มขึ้นตลอดการเก็บรักษา ดังรูปที่ 4.19 โดย Leuck (1980) และ Smulder (1995) รายงานว่าการใช้สารจากธรรมชาติช่วยลดจุลินทรีย์ที่ติดมากับเนื้อปลา และทำให้ระยะการปรับตัวของจุลินทรีย์นานขึ้น โดยจะไปรบกวนเมtaboเรซิม และไปแข่งขันกับการทำงานของ Co-enzyme ทำให้อ่อนไขม์พอก r-s ไม่สามารถทำงานได้และหยุดปฏิกิริยาออกซิเดชั่นที่จะสร้างพลังงานของเซลล์ ทำให้เกิดสภาพแวดล้อมที่ไม่เหมาะสมต่อการเจริญเติบโต ซึ่งเป็นการขยายช่วง Lag phase ออกร้า

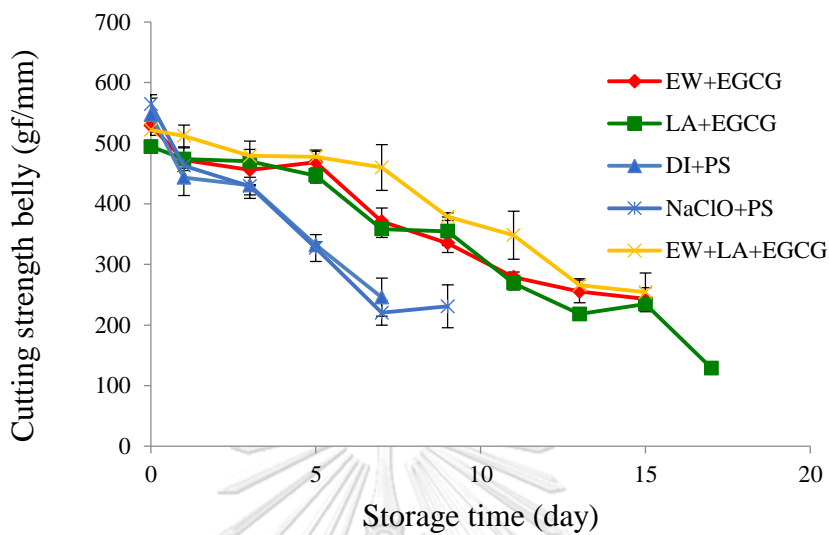


รูปที่ 4.19 ปริมาณเชื้อ Lactic acid bacteria (LAB) ในหอยนางรมที่เก็บที่อุณหภูมิ $4\pm2^{\circ}\text{C}$

(1)หอยนางรมที่ทำการฆ่าด้วยน้ำอิเล็กโทรไลต์และเซลล์ในEGCG; EW+EGCG (2)หอย
นางรมที่ทำการฆ่าด้วยกรดแลคติกและเซลล์ในEGCG; LA+EGCG (3)หอยนางรมที่ทำการ
ฆ่าด้วยน้ำปลอดเชื้อและเซลล์ในโพแทสเซียมชอร์เบต; DI+PS (4)หอยนางรมที่ทำการฆ่า
ด้วยโซเดียมไฮโปคลอไรต์และเซลล์ในโพแทสเซียมชอร์เบต: NaClO+PS และ (5)หอยนางรมที่ทำการ
ฆ่าด้วยน้ำอิเล็กโทรไลต์ร่วมกับกรดแลคติกและเซลล์ในEGCG; EW+LA+EGCG

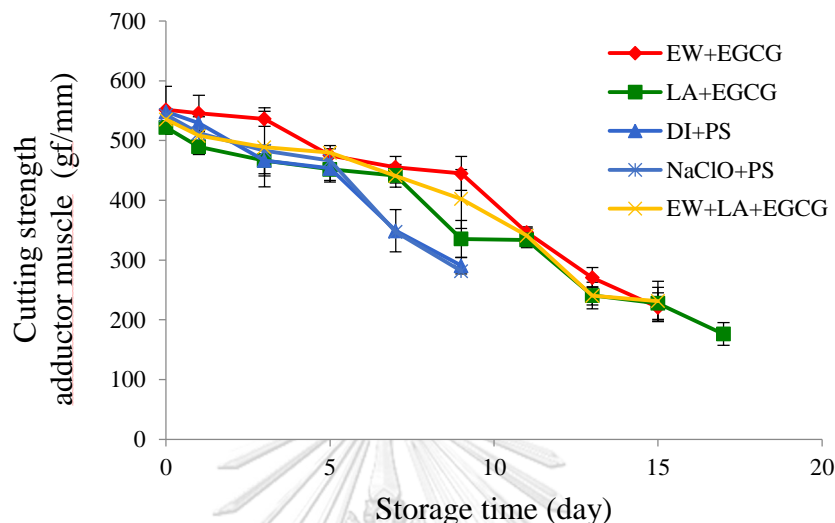
ค่าแรงตัดเนื้อหอยนางรมทั้งส่วนท้อง (belly) และส่วนของกล้ามเนื้อ (adductor muscle) เมื่อระยะเวลาการเก็บรักษานานขึ้น ค่าแรงตัดจะมีค่าลดลง ซึ่งแสดงถึงเนื้อสัมผัสที่นิ่มลง ตามระยะเวลาการเก็บรักษา โดยพบว่าตัวอย่างควบคุมค่าแรงตัดจะมีแนวโน้มลดลงเร็วกว่าตัวอย่าง ที่蘸ด้วยEGCG ทั้งนี้ เพราะEGCG สามารถยับยั้งการเจริญของเชื้อแบคทีเรียผลิตกรดแลคติก และ เมื่อเริ่มเกิดการเน่าเสียกล้ามเนื้อหอยเกิดการย่อยสลายตัวเอง (autolysis) จากเอนไซม์ที่มีอยู่แล้ว ในตัวหอย รวมถึงกิจกรรมของแบคทีเรีย (bacteria spoilage) ทำให้โปรตีนในกล้ามเนื้อเกิดการ สูญเสียสภาพ กล้ามเนื้อจึงอ่อนตัวลง McMillin (2008) ให้เหตุผลว่า โดยปกติแล้วแบคทีเรียกลุ่มนี้ หากมีการเจริญมากขึ้นจะมีการสร้างกรดแลคติก ส่งผลให้โปรตีนจับกันแน่น้อยลง โปรตีนเกิดการ คลายเคลือย เส้นใยกล้ามเนื้ออยู่กันอย่างหลวમๆ เป็นสาเหตุให้เนื้อนิ่มและอ่อนตัวลง โดยตัวอย่างที่蘸ด้วยสารสกัดชาเขียว Somwang, Karrila & Siripongvutikorn (2017) เสนอว่าปัจจัยที่ กีดขวางกับการแปรสภาพของโปรตีน โดยด้านหน้าท้องค่าแรงตัดเฉือนจะน้อยกว่าส่วนของ กล้ามเนื้อ ซึ่งเกิดจากปริมาณของเนื้อเยื่อเกี่ยวพันธ์ องค์ประกอบ และโครงสร้างของโปรตีนโดย ด้านหน้าท้อง (belly) จะเป็นกล้ามเนื้อเรียบ และเนื้อเยื่อเกี่ยวพันธ์ ส่วนของกล้ามเนื้อ (adductor muscle) จะมีพากกล้ามเนื้อลายและกล้ามเนื้อหัวใจจังทำให้แรงการตัดต่างกัน ดังรูปที่ 4.20-4.21





รูปที่ 4.20 ค่าแรงตัดส่วนของห้องหอยนางรมที่เก็บที่อุณหภูมิ $4\pm2^{\circ}\text{C}$

(1)หอยนางรมที่ทำการสะอาดด้วยน้ำอิเล็กโทรไลต์และเซลล์ในEGCG; EW+EGCG (2)หอยนางรมที่ทำการสะอาดด้วยกรดแลคติกและเซลล์ในEGCG; LA+EGCG (3)หอยนางรมที่ทำการสะอาดด้วยน้ำปลอดเชื้อและเซลล์ในโพแทสเซียมชอร์เบต; DI+PS (4)หอยนางรมที่ทำการสะอาดด้วยโซเดียมไฮโปคลอไรต์และเซลล์ในโพแทสเซียมชอร์เบต: NaClO+PS และ (5)หอยนางรมที่ทำการสะอาดด้วยน้ำอิเล็กโทรไลต์ร่วมกับกรดแลคติกและเซลล์ในEGCG; EW+LA+EGCG



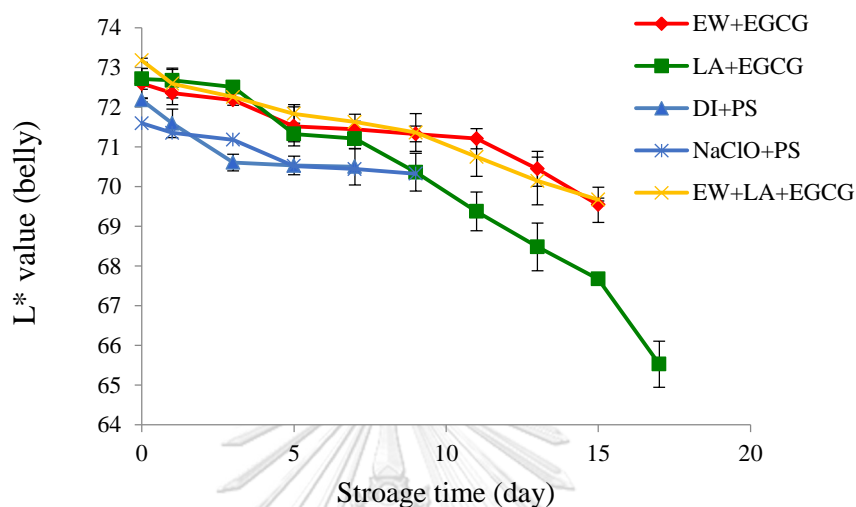
รูปที่ 4.21 ค่าแรงตัดส่วนของกล้ามเนื้อหอยนางรมที่เก็บที่อุณหภูมิ $4 \pm 2^\circ\text{C}$

(1)หอยนางรมที่ทำความสะอาดด้วยน้ำอีเล็กโทรไลต์และแซ่ลงในEGCG; EW+EGCG (2)หอยนางรมที่ทำความสะอาดด้วยกรดแลคติกและแซ่ลงในEGCG; LA+EGCG (3)หอยนางรมที่ทำความสะอาดด้วยน้ำปลอดเชื้อและแซ่ลงในโพแทสเซียมซอร์เบต; DI+PS (4)หอยนางรมที่ทำความสะอาดด้วยโซเดียมไฮโปคลอไรต์และแซ่ลงในโพแทสเซียมซอร์เบต: NaClO+PS และ (5)หอยนางรมที่ทำความสะอาดด้วยน้ำอีเล็กโทรไลต์ร่วมกับกรดแลคติกและแซ่ลงในEGCG; EW+LA+EGCG

CHULALONGKORN UNIVERSITY

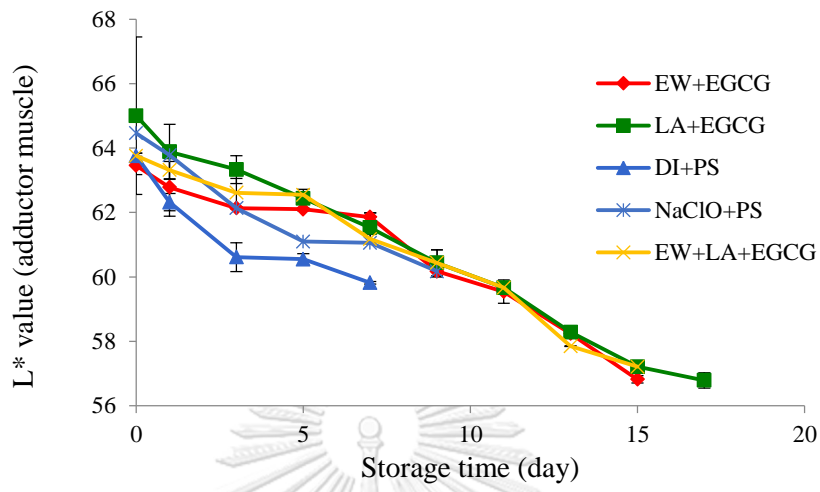
สีเป็นสมบัติทางกายภาพที่มองเห็นได้ของอาหารและมีบทบาทต่อความพึงพอใจของผู้บริโภค ค่า L^* ที่แสดงถึงความสว่าง มีค่า 0-100 ค่า L^* มากแสดงว่าสีสว่างมาก เมื่อ L^* เท่ากับ 0 จะเป็นสีดำ จากการศึกษาพบว่าหอยนางรมที่แซ่ลงใน EGCG และตัวอย่างควบคุมมีแนวโน้มลดลงเมื่อระยะเวลาเก็บรักษานานขึ้นทั้งส่วนท้องโดยตัวอย่าง EW+EGCG มีค่า L^* 72.36 วันสุดท้าย 69.55 LA+EGCG มีค่า L^* 72.71 วันสุดท้าย 65.53 และ EW+LA+EGCG มีค่า L^* 73.19 วันสุดท้าย 69.68 ส่วนในตัวอย่างควบคุม DI+PS ค่า L^* 72.19 วันสุดท้าย 70.32 และ NaClO+PS ค่า L^* 71.60 วันสุดท้าย 70.33 ในส่วนของกล้ามเนื้อหอยนางรม EW+EGCG ค่า L^* 63.46 วันสุดท้าย 56.82 LA+EGCG ค่า L^* 65.01 วันสุดท้าย 56.79 และ EW+LA+EGCG มีค่า L^* 63.76 วันสุดท้าย 57.22 ส่วน DI+PS ค่า L^* 63.76 วันสุดท้าย 58.18 และ NaClO+PS ค่า L^* 64.46 วันสุดท้าย 60.18 ดัง

รูปที่ 4.22-4.23 ค่า a* ที่แสดงระดับสีแดง-เขียว เมื่อค่า a* มีค่าบวกจะแสดงลักษณะสีแดง และ เมื่อค่าเป็นลบจะแสดงลักษณะสีเขียว โดยเมื่อค่าห่างจาก 0 มากแสดงถึงค่าสีแดงหรือสีเขียวมากขึ้น (Cruz, Kerry, & Kelly 2008) จากการศึกษาพบว่า ค่า a* ส่วนท้องของหอยนางรมมีแนวโน้มลดลง โดยตัวอย่าง EW+EGCG มีค่า a* -0.34 วันสุดท้าย -0.92 LA+EGCG มีค่า a* -0.37 วันสุดท้าย -1.07 EW+LA+EGCG a* -0.42 วันสุดท้าย -0.87 และ DI+PS ค่า a* -0.52 วันสุดท้าย -0.84 NaClO+PS ค่า a* -0.35 วันสุดท้าย -0.87 ในส่วนของกล้ามเนื้อมีแนวโน้มเพิ่มขึ้นตัวอย่าง EW+EGCG ค่า a* 2.43 วันสุดท้าย 4.49 LA+EGCG ค่า a* 2.39 วันสุดท้าย 5.12 EW+LA+EGCG a*2.21 วันสุดท้าย 4.28 และ DI+PS ค่า a* 3.21 วันสุดท้าย 4.60 NaClO+PS ค่า a* 2.43 วันสุดท้าย 4.35 ดังรูปที่ 4.24-4.25 ค่า b* ที่แสดงระดับสีเหลือง-น้ำเงิน เมื่อค่า b* มีค่าบวกจะแสดงลักษณะสีเหลือง และเมื่อค่าเป็นลบจะแสดงลักษณะสีน้ำเงิน โดยเมื่อค่าห่างจาก 0 มากแสดงถึงค่าสีเหลืองหรือสีน้ำเงินมากขึ้น จากการศึกษาพบว่าค่า b* ส่วนท้องของหอยนางรมมีค่าแนวโน้มเพิ่มขึ้น โดยตัวอย่าง EW+EGCG มีค่า b* 9.72 วันสุดท้าย 12.54 LA+EGCG มีค่า b* 8.55 วันสุดท้าย 14.97 EW+LA+EGCG b* 9.43 วันสุดท้าย 13.08 และ DI+PS ค่า b* 9.43 วันสุดท้าย 12.55 NaClO+PS ค่า b* 9.72 วันสุดท้าย 12.29 ในส่วนของกล้ามเนื้อมีแนวโน้มเพิ่มขึ้นตัวอย่าง EW+EGCG ค่า b* 13.65 วันสุดท้าย 17.27 LA+EGCG ค่า b* 11.97 วันสุดท้าย 16.78 EW+LA+EGCG b* 12.23 วันสุดท้าย 17.10 และ DI+PS ค่า b* 12.23 วันสุดท้าย 17.59 NaClO+PS ค่า b* 13.65 วันสุดท้าย 17. 52 ดังรูปที่ 4.26-4.27 อย่างไรก็ตามเมื่อพิจารณาภาพรวมของค่าสีจะเห็นได้ว่าหอยนางรมในตัวอย่างควบคุม (DI+PS) นั้นมีสีคล้ำลงกว่าตัวอย่างที่มีการใช้สารสกัดชาเขียวตามระยะเวลาการเก็บรักษาที่นานขึ้น เนื่องจากการคัตตุให้สีในเนื้อหอยที่ซื้อว่า ชิโมไซยานินซิงเป็นการจับกันระหว่างชิโมโกลบิน ทองแดง เหล็กและ โปรตีน โดยการเปลี่ยนแปลงสีของหอยนางรมจะเกิดปฏิกิริยาออกซิเดชันของลิพิด (lipid oxidation) จะส่งผลให้ ไอออนของ ทองแดง และเหล็กถูกปลดปล่อยออกจากกล้ามเนื้อของหอยนางรมส่งผลให้เนื้อหอยมีสีคล้ำลง (Cruz et al. 2008) และ (เนตรนรินทร์ ชุนสูงเนิน, 2546) และเนื้อวัวที่ใช้สารสกัดชาเขียวพบว่ามีการเปลี่ยนแปลงของสีที่ซักกว่าตัวอย่างควบคุม Senanayake (2013) ให้เหตุผลว่าสารสกัดชาเขียวมีสารต้านการเกิดปฏิกิริยาออกซิเดชันของลิพิด ช่วยป้องกันออกซิเจนไม่ให้เกิดปฏิกิริยา กับไอออนของทองแดง และเหล็กซึ่งเป็นสาเหตุหลักที่ทำให้สีของหอยนางรมคล้ำลง



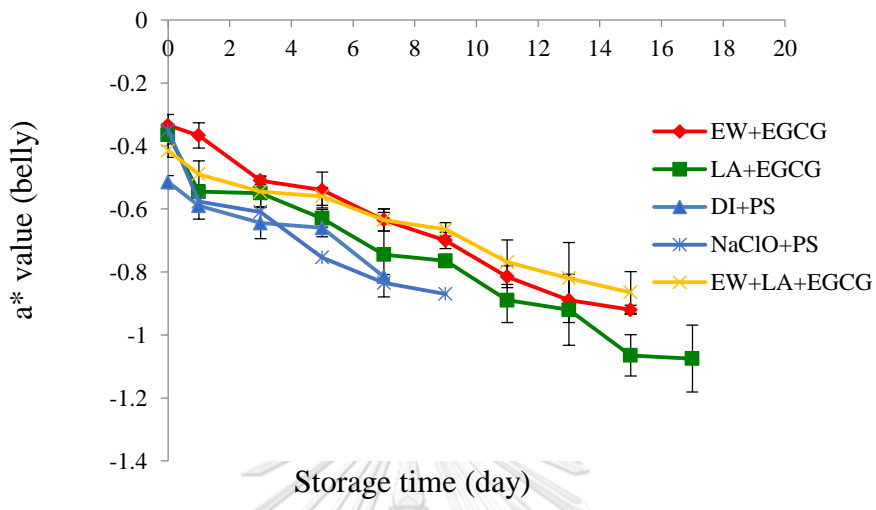
รูปที่ 4.22 ค่า L^* ส่วนท้องหอยนางรมที่เก็บที่อุณหภูมิ 4 ± 2 °C

(1)หอยนางรมที่ทำการดูดด้วยน้ำอิเล็กโทรไลต์และแซล์จในEGCG; EW+EGCG (2)หอยนางรมที่ทำการดูดด้วยกรดแลคติกและแซล์จในEGCG; LA+EGCG (3)หอยนางรมที่ทำการดูดด้วยน้ำปลาดื่นเชื้อและแซล์จในโพแทสเซียมซอร์เบต; DI+PS (4)หอยนางรมที่ทำการดูดด้วยโซเดียมไฮโปคลอไรท์และแซล์จในโพแทสเซียมซอร์เบต: NaClO+PS และ (5)หอยนางรมที่ทำการดูดด้วยน้ำอิเล็กโทรไลต์ร่วมกับกรดแลคติกและแซล์จในEGCG; EW+LA+EGCG



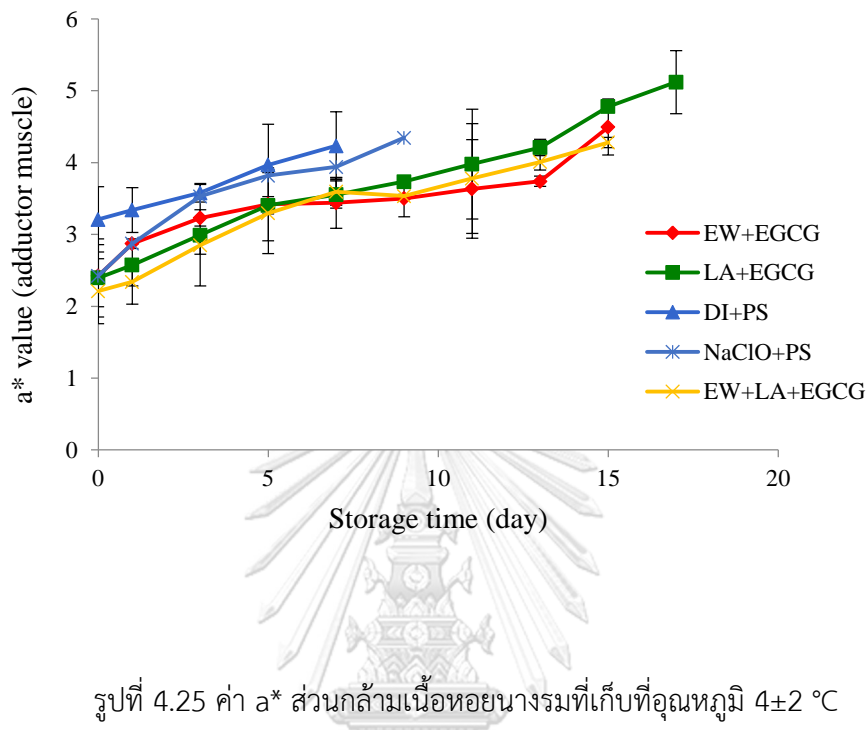
รูปที่ 4.23 ค่า L* ส่วนกล้ามเนื้อหอยนางรมที่เก็บที่อุณหภูมิ $4\pm2^{\circ}\text{C}$

(1)หอยนางรมที่ทำการสะอาดด้วยน้ำอิเล็กโทรไลต์และแซล์จในEGCG; EW+EGCG (2)หอยนางรมที่ทำการสะอาดด้วยกรดแลคติกและแซล์จในEGCG; LA+EGCG (3)หอยนางรมที่ทำการสะอาดด้วยน้ำปลอดเชื้อและแซล์จในโพแทสเซียมซอร์เบต; DI+PS (4)หอยนางรมที่ทำการสะอาดด้วยโซเดียมไฮโปคลอไรต์และแซล์จในโพแทสเซียมซอร์เบต: NaClO+PS และ (5)หอยนางรมที่ทำการสะอาดด้วยน้ำอิเล็กโทรไลต์ร่วมกับกรดแลคติกและแซล์จในEGCG; EW+LA+EGCG



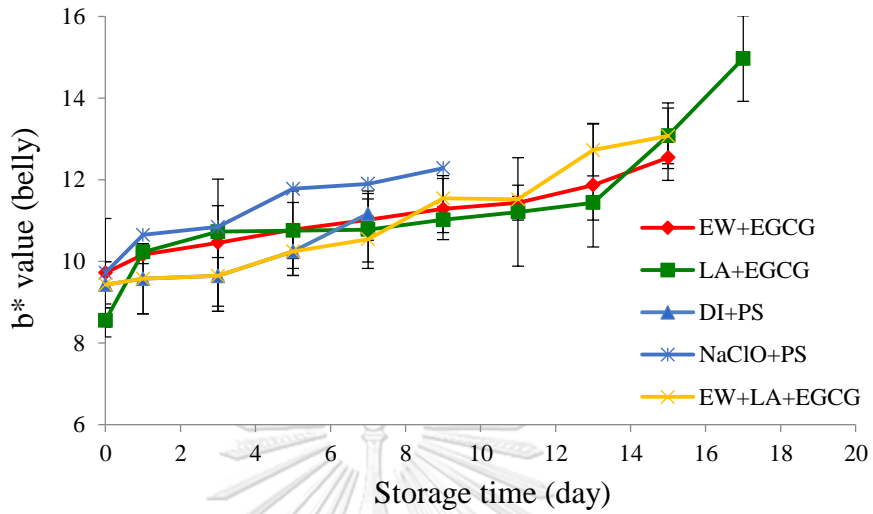
รูปที่ 4.24 ค่า a^* ส่วนท้องหอยนางรมที่เก็บที่อุณหภูมิ $4\pm2^\circ\text{C}$

(1)หอยนางรมที่ทำการดูดด้วยน้ำอิเล็กโทรไลต์และแข็งในEGCG; EW+EGCG (2)หอยนางรมที่ทำการดูดด้วยกรดแลคติกและแข็งในEGCG; LA+EGCG (3)หอยนางรมที่ทำการดูดด้วยน้ำปลาดูดเขื่อยและแข็งในโพแทสเซียมซอร์เบต; DI+PS (4)หอยนางรมที่ทำการดูดด้วยโซเดียมไฮโปคลอไรต์และแข็งในโพแทสเซียมซอร์เบต: NaClO+PS และ (5)หอยนางรมที่ทำการดูดด้วยน้ำอิเล็กโทรไลต์ร่วมกับกรดแลคติกและแข็งในEGCG; EW+LA+EGCG



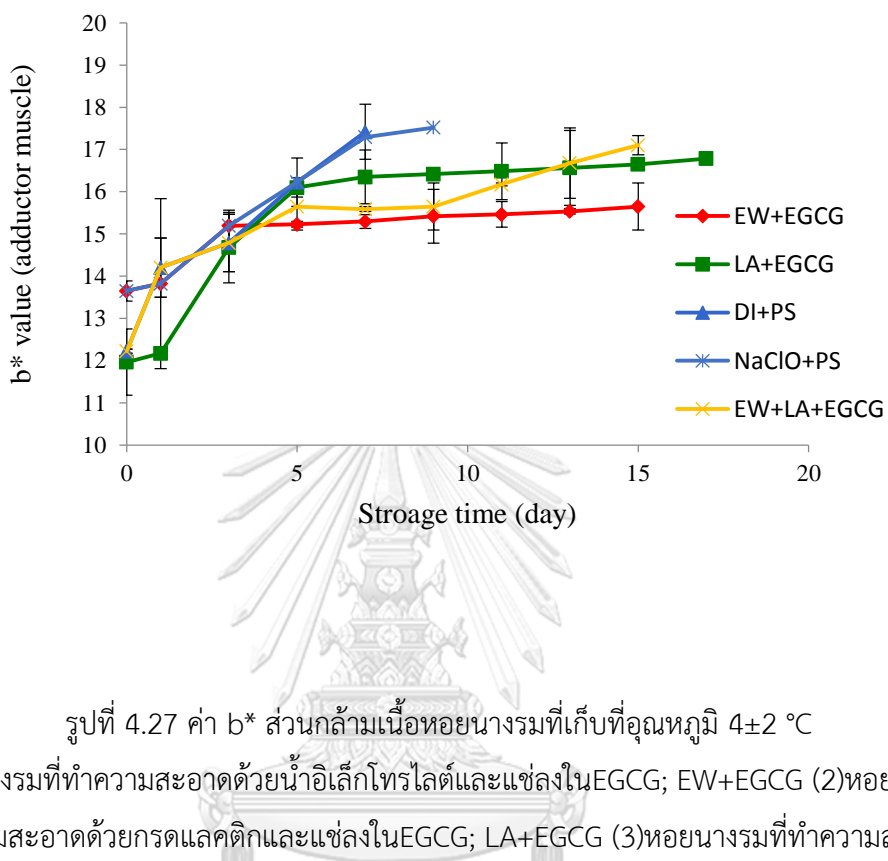
รูปที่ 4.25 ค่า a* ส่วนกล้ามเนื้อหอยนางรมที่เก็บที่อุณหภูมิ $4\pm2^{\circ}\text{C}$

(1)หอยนางรมที่ทำการสารอาหารด้วยน้ำอิเล็กโทรไลต์และเชลล์งในEGCG; EW+EGCG (2)หอยนางรมที่ทำการสารอาหารด้วยกรดแลคติกและเชลล์งในEGCG; LA+EGCG (3)หอยนางรมที่ทำการสารอาหารด้วยน้ำปลาดองเชื้อและเชลล์งในโพแทสเซียมซอร์เบต; DI+PS (4)หอยนางรมที่ทำการสารอาหารด้วยโซเดียมไฮโปคลอไรต์และเชลล์งในโพแทสเซียมซอร์เบต: NaClO+PS และ (5)หอยนางรมที่ทำการสารอาหารด้วยน้ำอิเล็กโทรไลต์ร่วมกับกรดแลคติกและเชลล์งในEGCG; EW+LA+EGCG



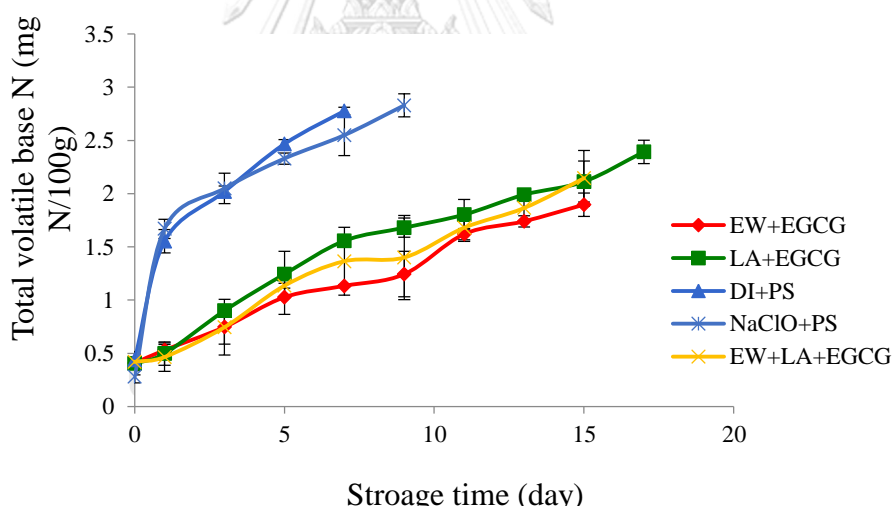
รูปที่ 4.26 ค่า b^* ส่วนท้องหอยนางรมที่เก็บที่อุณหภูมิ $4 \pm 2^\circ\text{C}$

(1)หอยนางรมที่ทำการฆ่าเชื้อด้วยน้ำอิเล็กโทรไลต์และแซล์จในEGCG; EW+EGCG (2)หอยนางรมที่ทำการฆ่าเชื้อด้วยกรดแลคติกและแซล์จในEGCG; LA+EGCG (3)หอยนางรมที่ทำการฆ่าเชื้อด้วยน้ำปลาดื่นเชื้อและแซล์จในโพแทสเซียมซอร์เบต; DI+PS (4)หอยนางรมที่ทำการฆ่าเชื้อด้วยโซเดียมไฮโปคลอไรต์และแซล์จในโพแทสเซียมซอร์เบต: NaClO+PS และ (5)หอยนางรมที่ทำการฆ่าเชื้อด้วยน้ำอิเล็กโทรไลต์ร่วมกับกรดแลคติกและแซล์จในEGCG; EW+LA+EGCG



(1)หอยนางรมที่ทำการสะอาดด้วยน้ำอิเล็กโทรไลต์และแซล์จในEGCG; EW+EGCG (2)หอยนางรมที่ทำการสะอาดด้วยกรดแลคติกและแซล์จในEGCG; LA+EGCG (3)หอยนางรมที่ทำการสะอาดด้วยน้ำปลาดื่นเชือและแซล์จในโพแทสเซียมซอร์เบต; DI+PS (4)หอยนางรมที่ทำการสะอาดด้วยโซเดียมไฮโปคลอไรต์และแซล์จในโพแทสเซียมซอร์เบต: NaClO+PS และ (5)หอยนางรมที่ทำการสะอาดด้วยน้ำอิเล็กโทรไลต์ร่วมกับกรดแลคติกและแซล์จในEGCG; EW+LA+EGCG

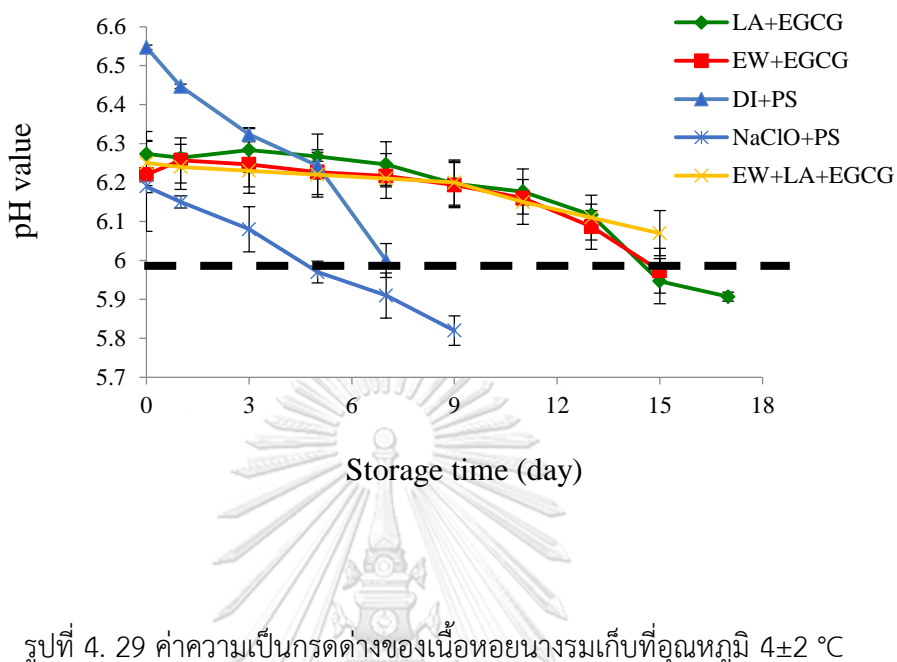
การตรวจสอบความสดของเนื้อหอยนางรมโดยวัดปริมาณด่างที่ระเหยทั้งหมด (Total volatile base nitrogen: TVB-N) เกิดการสลายตัวของสารประกอบในโตรเจนทั้งหมดและให้สารระเหยที่ทำให้เกิดกลิ่นคาว และกลิ่นเหม็นเน่าของสัตว์น้ำโดยทำ การตรวจวัดปริมาณ แอมโมเนียม ไตรเมทธิลเอมีน (TMA), ไดเมทธิลเอมีน (DMA) และสารประกอบในโตรเจนที่ระเหยได้ ซึ่งใช้ค่า นี้เป็นตัวบ่งชี้ของการเน่าเสียของสัตว์น้ำ จากการศึกษาพบว่า ค่า TVB-N ของทุกตัวอย่างมีแนวโน้มเพิ่มขึ้น จากรูปที่ 4.28 พบร่วมตัวอย่างร้านเริ่มต้น EW+EGCG 0.41 วันสุดท้าย 1.89 mg N/100g, LA+EGCG 0.40 วันสุดท้าย 2.39 mg N/100g และ DI+PS 0.42 วันสุดท้าย 3.48 mg N/100g ตัวอย่างทั้งหมดอยู่ในเกณฑ์ดี เนื่องจาก Harpaz et al. (2003) ได้ระบุว่าค่า TVB-N ของหอย นางรมควรมีค่าไม่เกิน 30 mg N/100g จากการศึกษาของ Marrakchi et al. (1990) พบร่วมการทดสอบทางประสานสัมผัสค่า TVB-N >30 mg N/100g พบร่วมผู้บริโภคไม่ยอมรับ หอยจะมีองค์ประกอบทางเคมีแตกต่างจากปลา และกลุ่มครัสเตเชียน (crustacean) เนื่องจากมีคาร์บอไฮเดรต (ไกลโคเจน) และปริมาณของในโตรเจนที่ต่ำ จึงเป็นเหตุผลที่ค่า TVB-N ต่ำตลอดอายุ การเก็บรักษา



รูปที่ 4.28 ปริมาณด่างที่ระเหยทั้งหมดของเนื้อหอยนางรมที่เก็บที่อุณหภูมิ $4\pm2^{\circ}\text{C}$
(1)หอยนางรมที่ทำการดัดด้วยน้ำอิเล็กโทรไลต์และแซล์ฟ์ในEGCG; EW+EGCG (2)หอยนางรมที่ทำการดัดด้วยกรดแลคติกและแซล์ฟ์ในEGCG; LA+EGCG (3)หอยนางรมที่ทำการดัดด้วยน้ำปلوดเชื้อและแซล์ฟ์ในโพแทสเซียมซอร์เบต; DI+PS (4)หอยนางรมที่ทำการดัดด้วยโซเดียมไฮโปคลอไรต์และแซล์ฟ์ในโพแทสเซียมซอร์เบต: NaClO+PS และ (5)หอยนางรมที่ทำการดัดด้วยน้ำอิเล็กโทรไลต์ร่วมกับกรดแลคติกและแซล์ฟ์ในEGCG; EW+LA+EGCG

จากการศึกษาค่าความเป็นกรดด่าง (pH) โดยทุกตัวอย่างมีแนวโน้มของค่า pH ลดลง จากรูปที่ 4.33 พบว่าตัวอย่างค่า pH วันเริ่มต้น EW+EGCG 6.22 วันสุดท้าย 5.97, LA+EGCG 6.27 วันสุดท้าย 5.91 และ DI+PS 6.55 วันสุดท้าย 6.00 โดยตัวอย่างทั้งหมดอยู่ในเกณฑ์ดีตลอดอายุการเก็บรักษา เนื่องจาก Gacutan, (1974) ได้เสนอว่าค่า pH ≥ 6 จัดว่าหอยนางรมอยู่ในคุณภาพที่ดี และหอยนางรมที่มีค่า pH < 5 จัดว่าหอยนางรมเกิดการเน่าเสีย และการเปลี่ยนแปลงของค่า pH เกิดขึ้นจากไกลโคเจนในเนื้อหอยนางรมเกิดการเปลี่ยนแปลงไปเป็นกรดแลคติกเพิ่มมากขึ้น จากการปลดปล่อยองค์ประกอบของกล้ามเนื้อ เช่น โปรตีน และกรดนิวคลีอิก เกิดการสูญเสียหน่วยชิดิก (acidic group) จึงส่งผลให้ค่า pH ลงลง และสัมพันธ์กับการเจริญของเชื้อที่ทำให้หอยนางรมเสื่อมเสีย คือ เชื้อ lactic acid bacterial ซึ่งเชื้อในกลุ่มนี้จะผลิตกรดแลคติก จึงส่งผลให้ค่า pH เพิ่มขึ้น Songsaeng, (2010) ได้อธิบายถึงค่า pH ที่ลดลงว่าเกิดจากการเปลี่ยนแปลงของไกลโคเจนถูกเปลี่ยนไปเป็นกรดแลคติก จากการย่อยสลายในองค์ประกอบของกล้ามเนื้อ เช่น โปรตีน และนิวคลีโอไฮเดรตจะเกิดขึ้นในระหว่างการเก็บรักษา นอกจากนี้ผลจากเชื้อในกลุ่มของ lactic acid bacteria ซึ่งเป็นแบคทีเรียที่สามารถสร้างสารแมตาบอไลท์ทุติยภูมิ (secondary metabolite) และขับออกมานอกเซลล์เป็นผลทำให้ค่า pH ลดลง

จุฬาลงกรณ์มหาวิทยาลัย
CHULALONGKORN UNIVERSITY



รูปที่ 4. 29 ค่าความเป็นกรดด่างของเนื้อหอยนางรมเก็บที่อุณหภูมิ $4\pm2^{\circ}\text{C}$

(1)หอยนางรมที่ทำความสะอาดด้วยน้ำอิเล็กโทรไลต์และเซลล์ในEGCG; EW+EGCG (2)หอยนางรมที่ทำความสะอาดด้วยกรดแลคติกและเซลล์ในEGCG; LA+EGCG (3)หอยนางรมที่ทำความสะอาดด้วยน้ำปลอดดือและเซลล์ในโพแทสเซียมชอร์เบต; DI+PS (4)หอยนางรมที่ทำความสะอาดด้วยโซเดียมไฮโปคลอไรต์และเซลล์ในโพแทสเซียมชอร์เบต: NaClO+PS และ (5)หอยนางรมที่ทำความสะอาดด้วยน้ำอิเล็กโทรไลต์ร่วมกับกรดแลคติกและเซลล์ในEGCG; EW+LA+EGCG

บทที่ 5

สรุปผลการทดลองและข้อเสนอแนะ

จากการศึกษาความเข้มข้นต่ำสุดในการยับยั้งเชื้อแบคทีเรีย (MIC) และค่าความเข้มข้นต่ำสุดในการฆ่าเชื้อแบคทีเรีย (MBC) พบร้า MIC และ MBC ของ *Staphylococcus aureus*, *Bacillus cereus*, *Lactobacillus plantarum*, *Salmonella Typhimurium*, *Vibrio parahaemolyticus* และ *Escherichia coli* โดยEGCG และกรดแลคติกสามารถยับยั้งแบคทีเรีย แกรมบวกได้ดีกว่าแบคทีเรียแกรมลบ โดยEGCG สารสกัดชาเขียวมีค่าอยู่ในช่วง MIC 1.25-2.5 $\mu\text{g}/\text{mL}$ MBC 2.5-5 $\mu\text{g}/\text{mL}$ และกรดแลคติกมีค่าอยู่ในช่วง MIC 0.34-1.37 % w/v (3.4-13.7 mg/mL) MBC 0.68-2.75 % w/v (6.8-27.5 mg/mL)

การศึกษาความเข้มข้นของน้ำอิเล็กโทรไลต์ 60 ppm และกรดแลคติก 0.0625 MBC ในการทำความสะอาดเบื้องต้นหอยนางรมพบว่า ไม่ส่งผลต่อค่าสี (L^* , a^* และ b^*) และปริมาณด่างที่ระเหยทั้งหมด (Total volatile basic nitrogen: TVB-N) อย่างมีนัยสำคัญ ($p \leq 0.05$) และความเข้มข้นของน้ำอิเล็กโทรไลต์ 60 ppm ลดจำนวนเชื้อจุลินทรีย์ทั้งหมด 1.4 log CFU/g และไม่พบการเจริญของเชื้อ *E. coli* ส่วนที่ความเข้มข้นของกรดแลคติก 0.0625 MBC ลดเชื้อแบคทีเรียที่ผลิตกรดแลคติก (Lactic acid bacteria: LAB) น้อยกว่า 30 CFU/g และไม่พบเชื้อ *E. coli* และ *V. parahaemolyticus*

เมื่อพิจารณาจากความเข้มข้นต่ำสุดที่ฆ่าเชื้อแบคทีเรียของ EGCG จึงเลือกค่า MBC สูงสุดที่สามารถฆ่าเชื้อแบคทีเรียแกรมลบ คือ 5 $\mu\text{g}/\text{mL}$ มาใช้ในการแข็งหอยนางรม จากการศึกษาจุลินทรีย์ สมบัติทางเคมี และกายภาพ ระหว่างการเก็บรักษาที่อุณหภูมิ 4 ± 2 °C โดยเปรียบเทียบกับตัวอย่างควบคุม พบร้าหอยนางรมที่แช่ใน EGCG สามารถชะลอการเปลี่ยนแปลงทางเคมี กายภาพ และลดปริมาณจุลินทรีย์ เมื่อพิจารณาปริมาณจุลินทรีย์ที่มีชีวิตทั้งหมดไม่เกิน 7 \log_{10} CFU/g เป็นเกณฑ์ในการกำหนดอายุการเก็บ พบร้าตัวอย่างควบคุมมีอายุการเก็บที่น้อยที่สุดคือ 7 วัน ส่วนหอยนางรมที่ผ่านการทำความสะอาดด้วยน้ำอิเล็กโทรไลต์และแช่ด้วยEGCG และนางรมที่ผ่านการทำความสะอาดด้วยน้ำอิเล็กโทรไลต์ร่วมกับกรดแลคติกและแช่ด้วยEGCG โดยมีอายุการเก็บ 15 วัน และหอยนางรมที่ผ่านการทำความสะอาดด้วยกรดแลคติกและแช่ด้วยEGCG 17 วัน เนื่องจากการทำความสะอาดด้วยน้ำอิเล็กโทรไลต์และแช่ด้วยEGCG ไม่พบเชื้อ *E. coli*, *V. parahaemolyticus* และ *Salmonella* spp.

จากการวิจัยพบว่าการใช้น้ำอิเล็กโทรไลต์ร่วมกับEGCG มีประโยชน์ในการลดเชื้อจุลินทรีย์เริ่มต้นในหอยนางรม สามารถยืดอายุการเก็บรักษาได้มากกว่าวิธีที่ใช้สารกันเสียในการเก็บรักษาหอยนางรม และช่วยให้หอยนางรมอยู่ในเกณฑ์ความสดที่กำหนดได้

ข้อเสนอแนะ

เนื่องจากการวิจัยนี้เป็นการศึกษาในระดับห้องปฏิบัติการ หากต้องการนำไปใช้ในระดับอุตสาหกรรมจริงควรมีการศึกษาเพิ่มเติม ทั้งนี้การใช้น้ำอิเล็กโทรไลต์ กรดแลคติก และEGCG ในหอยนางรมอาจมีทั้งจุดเด่นในด้านการลดลงของเชื้อจุลินทรีย์ และข้อจำกัดในการเปลี่ยนแปลงทางเคมี และกายภาพ ซึ่งขึ้นอยู่กับการตัดสินใจ การยอมรับของผู้บริโภคเป็นหลัก และการตลาดในการให้ข้อมูลแก่ผู้บริโภค



รายการอ้างอิง

ภาษาไทย

- กรมประมง. (2540). คู่มือการเพาะเลี้ยงหอยตะโกรดเชิงการค้า: โครงการพัฒนาการผลิตหอยตะโกรดเชิงพาณิชย์ (Vol. 1). กรมประมง สำนักงานกองทุนสนับสนุนการวิจัย กรุงเทพฯ.
- กรมวิทยาศาสตร์การแพทย์. (2553). เกณฑ์คุณภาพทางจุลชีววิทยาของอาหารและภาชนะสัมผัสอาหาร.
- เนตรนรินทร์ ชุนสูงเนิน. (2546). การเปลี่ยนแปลงคุณภาพของเนื้อปลาโนลิซึ่งเก็บรักษาภายใต้การปรับเปลี่ยนบรรจุภัณฑ์. มหาวิทยาลัยเทคโนโลยีสุรนารี,
- พงษ์เทพ วีไลพันธ์. (2556). หอยนางรมปลดภัย (Vol. 1): สำนักงานกองทุนสนับสนุนการวิจัย.
- มนีย์ กรณรงค์, อนุวัฒน์ รัตนโชค, & สุภาพร ทศพร้อม. (2540). การปนเปื้อนของแบคทีเรียในหอยนางรม น้ำทะเล และตะกอนดิน บริเวณแหล่งเลี้ยงอ่าวบ้านดอน จังหวัดสุราษฎร์ธานี.
- เอกสารวิชาการฉบับที่ 19/2540. กองเพาะเลี้ยงสัตว์น้ำชายฝั่ง กรมประมง กระทรวงเกษตรและสหกรณ์.
- รัตนาภรณ์ พิมพ์แน่น, สาวมนี ธีระวุฒิ, & โสภาคดี เมืองham. (2557). ผลของการบรรจุแบบปรับสภาพบรรจุภัณฑ์คุณภาพทางกายภาพและจุลชีววิทยาของหอยนางรมสดแกะเปลือก. *KKU Science Journal*, 42(3), 551-560.
- สาวมนี ธีระวุฒิ, รัตนาภรณ์ พิมพ์แน่น, & โสภาคดี เมืองham. (2557). ผลของการบรรจุแบบปรับสภาพบรรจุภัณฑ์คุณภาพทางกายภาพและจุลชีววิทยาของหอยนางรมสดแกะเปลือก.
- สารสารวิทยาศาสตร์, มหาวิทยาลัยขอนแก่น, 42(3), 551-560.
- สายวสันต์ กลินสุคนธ์. (2548). ปรสิตในหอยนางรม. มหาวิทยาลัยเกษตรศาสตร์, วิทยาศาสตร์การประมง.
- สำนักงานคณะกรรมการอาหารและยา. (2522). พระราชบัญญัติอาหาร พ.ศ. 2552 พร้อมกฎกระทรวง และประกาศกระทรวงสาธารณสุข (ฉบับปรับปรุง ปี 2560). กระทรวงสาธารณสุข.
- สุดสายชล หอมทอง, & รดาภรณ์ วงศ์พุฒ. (2549). ความไวต่อยาปฏิชีวนะของ *Vibrio spp.* จากหอยนางรมบริเวณอ่างศิลา จังหวัดชลบุรี. สารสารวิชาการ ม.อบ, ปีที่ 8(1), 41-50.
- สุwareพันธ์ โลหะลักษณาเดช, & ชุตินุช สุจริต. (2556). ผลของการใช้กรดแลกติกต่อคุณภาพของเนื้อหอยนางรมสด (*Crassostrea belcheri*). การประชุมวิชาการ การพัฒนาชนบทที่ยั่งยืน 2556 ชุมชนท้องถิ่นฐานรากการพัฒนาประชาคมอาเซียน, 3.
- สรีร์ นานาสมบัติ, นวัตตน์ โพธิ์ราช, ประทุม แสนมา, วรรនนท์ หาเพิ่มพูล, & สิทธิโชค ศิริศรีชัย. (2556). การตรวจหาการปนเปื้อน *Vibrio parahaemolyticus* ในอาหารทะเลสดที่เจา

- หน่วยในกรุงเทพและการศึกษาการต้านทานความร้อน. วารสารมหาวิทยาลัยทักษิณ, ปีที่ 16 (3), 175-184.
- อัจฉรา แสนคม, น้ำทิพย์ ขันตยาภรณ์, & วรภาฯ มหากาญจนกุล. (2553). การประยุกต์ใช้สารฆ่าเชื้อในกลุ่มออกซีไดส์ชิงเพื่อลดจุลินทรีย์ก่อโรคในผลิตภัณฑ์สัตว์น้ำ. (*วิทยานิพนธ์ปริญญามหาบัณฑิต*), มหาวิทยาลัยเกษตรศาสตร์

ภาษาอังกฤษ

- A.O.A.C. (2012). *Official methods of analysis of the Association of Analytical Chemists International*. Washington DC, USA.
- Ameen, S. M., Caruso, Giorgia. (2017). *Lactic Acid in the Food Industry*. Cairo, Egypt • Industrial Consultant, Palermo, Italy
- BAM. (2004). Bacteriological Analytical Manual Online. Chapter 9: V. *parahaemolyticus*. Retrieved from <http://www.cfsan.fda.gov>
- Bouton P. E., Harris P. V., Shorthose W. R., & Ellis R. W. (1978). Comparison of some properties of meat from normal steers and steers heterozygous for muscular hypertrophy. *Meat Science*, 2(3), 161-167.
- Chen, H., Wang, M., Lin, X., Shi, C., & Liu, Z. (2017). Bacterial microbiota profile in gills of modified atmosphere-packaged oysters stored at 4 degrees C. *Food Microbiol*, 61, 58-65. doi:10.1016/j.fm.2016.08.006
- CLSI. (2006). Methods for dilution antimicrobial susceptibility test for bacteria that grow aerobically; approved standard-seven edition. *Clinical and Laboratory Standards Institute USA*.
- Conway E. J. (1950). Micro diffusion Analysis and volumetric Error, 3rd ed London. *Lookwood and son*.
- Cruz-Romero, M., Kelly, A., & Kerry, J. (2007). Effects of high-pressure and heat treatments on physical and biochemical characteristics of oysters (*Crassostrea gigas*). *Innovative Food Science and Emerging Technologies*, 8, 30-38.
- Cruz-Romero M., Kerry, J., & Kelly A. (2008). Changes in the microbiological and physicochemical quality of highpressure-treated oysters (*Crassostrea gigas*) during chilled storage. *Food Control*, 19, 1139-1147.

- Cui Y., Oh Y. J., Lim J., Youn M., Lee I., Pak H. K., . . . Park S. (2012). AFM study of the differential inhibitory effects of the green tea polyphenol (-)-epigallocatechin-3-gallate (EGCG) against Gram-positive and Gram-negative bacteria. *Food Microbiol*, 29(1), 80-87. doi:10.1016/j.fm.2011.08.019
- Dalluge, J. J., & Nelson, B. C. (2000). Determination of tea catechins. *Journal of Chromatography A*, 881(1), 411-424.
- Das, S., Tanwar, J., Hameed, S., & Fatima, Z. (2014). *Antimicrobial potential of epigallocatechin-3-gallate (EGCG): A green tea polyphenol* (Vol. 2).
- Deza, M. A., Araujo, M., & Garrido, M. J. (2007). Efficacy of neutral electrolyzed water to inactivate *Escherichia coli*, *Listeria monocytogenes*, *Pseudomonas aeruginosa*, and *Staphylococcus aureus* on plastic and wooden kitchen cutting boards. *Journal of Food Protection*, 70(1), 102-108.
- Donn R. Ward, & Cameron Hackney. (1991). *Microbiology of marine food products*. New York: Springer Science.
- Duerink, D. O., Lestari, E. S., Hadi, U., Nagelkerke, N. J., Severin, J. A., Verbrugh, H. A., . . . van den Broek, P. J. (2007). Determinants of carriage of resistant Escherichia coli in the Indonesian population inside and outside hospitals. *J Antimicrob Chemother*, 60(2), 377-384. doi:10.1093/jac/dkm197
- Efiuvwevwere, B., & Amadi, L. (2015). Effects of Preservatives on the Bacteriological, Chemical and Sensory Qualities of Mangrove Oyster (*Crassostrea gasar*). *British Journal of Applied Science & Technology*, 5(1), 76-84. doi:10.9734/bjast/2015/12158
- Fabrizio, K. A., & Cutter, C. (2004). *Comparison of electrolyzed oxidizing water with other antimicrobial interventions to reduce pathogens on fresh pork* (Vol. 68).
- Friedman, M., Levin, C., Choi, S.-H., Lee, S.-U., & Kozukue, N. (2009). *Changes in the Composition of Raw Tea Leaves from the Korean Yabukida Plant during High-Temperature Processing to Pan-Fried Kamairi-Cha Green Tea* (Vol. 74).
- Gacutan R. Q. (1974). *Microbiology of Fresh and Cold Stored Oysters*. Quezon City, Philippines.
- Hamm R., & Deatherage F. (1960). Changes in hydration, solubility and charges of muscle proteins during heating of meat. *Journal of food science*, 25, 587-610.

- Harpaz S., Glatman L., Drabkin V., & Gelman A. (2003). Effects of herbal essential oils used to extend the shelflife of freshwaterreared Asian sea bass fish (*Lates calcarifer*). *Journal of Food Protection*, 66, 410-417.
- Hayat, K. (2013). Why is it more difficult to treat gram negative bacteria.
- Hu, J., Chen, Y., & Ni, D. (2012). Effect of superfine grinding on quality and antioxidant property of fine green tea powders. *LWT - Food Science and Technology*, 45(1), 8-12. doi:<https://doi.org/10.1016/j.lwt.2011.08.002>
- Huang, Y.-R., Hsieh, H.-S., Lin, S.-Y., Lin, S.-J., Hung, Y.-C., & Hwang, D.-F. (2006). Application of electrolyzed oxidizing water on the reduction of bacterial contamination for seafood. *Food Control*, 17(12), 987-993. doi:10.1016/j.foodcont.2005.07.003
- Huang Yu-Ru, Hung Yen-Con, Hsu Shun-Yao, Huang Yao-Wen, & Hwang Deng-Fwu. (2008). Application of electrolyzed water in the food industry. *Food Control*, 19(4), 329-345. doi:10.1016/j.foodcont.2007.08.012
- Ikigi H., Nakae T., Hara Y., & Shimamura T. (1993). Bactericidal catechins damage the lipid bilayer. *Biochimica Acta*, 1147(1), 132-136.
- ISO 7393-3:1990. (1990). Water quality -- Determination of free chlorine and total chlorine -- Part 3: Iodometric titration method for the determination of total chlorine. 2. Retrieved from <https://www.iso.org/standard/14108.html>
- ISO 15214:1998. (2015). Microbiology of food and animal feeding stuffs -- Horizontal method for the enumeration of mesophilic lactic acid bacteria -- Colony-count technique at 30 degrees C. Retrieved from <https://www.iso.org/standard/26853.html>
- Kim C. . (1995). Gram-negative bacteria in refrigerated catfish fillets treated with lactic culture and lactic acid. *Journal of Food Protection*, 58(6), 639-643.
- Lakenbrink, C., Lapczynski, S., Maiwald, B., & Engelhardt, U. H. (2000). Flavonoids and other polyphenols in consumers brews of tea and other caffeinated beverages. *Journal of Agricultural and Food Chemistry*, 48, 2848-2852.
- Lee, H.-I., Kim, M. H., Kim, K. Y., & So, J.-S. (2010). Screening and selection of stress resistant *Lactobacillus* spp. isolated from the marine oyster (*Crassostrea gigas*). *Anaerobe*, 16(5), 522-526.

- Leuck E. (1981). *Antimicrobial food additive* (Vol. 33). WILEY-VCH Verlag GmbH & Co. KGaA, Weinheim.
- Mahmoud, B. S. (2014). Controlling *Vibrio vulnificus* and spoilage bacteria in fresh shucked oysters using natural antimicrobials. *Letters in Applied Microbiology*, 58(1), 1-7. doi:10.1111/lam.12152
- Marrakchi E. A., Bennour B., Bouchrifi N., Hamama A., & Tagafait H. (1990). Sensory, chemical, and microbiological assessments of moroccan sardines (*Sardina pilchardus*) stored in ice. *Journal of Food Protection*, 53, 600-605.
- Nakayama M., Shigemune N., Tsugukuni T., Tokuda H., & Miyamoto T. (2011). Difference of EGCG adhesion on cell surface between *Staphylococcus aureus* and *Escherichia coli* visualized by electron microscopy after novel indirect staining with cerium chloride. *Journal of Microbiological Methods*, 86(1), 97-103. doi:10.1016/j.mimet.2011.04.010
- Namal Senanayake, S. P. J. (2013). Green tea extract: Chemistry, antioxidant properties and food applications – A review. *Journal of Functional Foods*, 5(4), 1529-1541. doi:<https://doi.org/10.1016/j.jff.2013.08.011>
- Okubo S., Sasaki T., Hara Y., Mori F., & MShimamura T. (1998). Bactericidal activity of EGCG on *Escherichia coli*. *Journal of the Japanese Association for infectious diseases*, 72(3), 211-217.
- Park, H., Hung, Y.-C., & Brackett, R. (2002). *Antimicrobial effect of electrolyzed water for inactivating Campylobacter jejuni during poultry washing* (Vol. 72).
- Park, H., Hung, Y.-C., & Chung, D. (2004). Effects of chlorine and pH on efficacy of electrolyzed water for inactivating *Escherichia coli* O157:H7 and *Listeria monocytogenes*. *International Journal of Food Microbiology*, 91(1), 13-18. doi:10.1016/s0168-1605(03)00334-9
- Park, S. Y., Chung, M.-S., & Ha, S.-D. (2018). Combined effect of sodium hypochlorite and gamma-irradiation for the control of *Vibrio vulnificus* in fresh oyster and clam. *LWT - Food Science and Technology*, 91, 568-572.
- Perumalla, A., & Hettiarachchy, N. (2011). *Green tea and grape seed extracts—Potential applications in food safety and quality* (Vol. 44).

- Radji, M., Fauziah, S., & Aribinuko, N. (2011). Antibiotic sensitivity pattern of bacterial pathogens in the intensive care unit of Fatmawati Hospital, Indonesia. *Asian Pac J Trop Biomed*, 1(1), 39-42. doi:10.1016/s2221-1691(11)60065-8
- Rahman, S. M. E., Khan, I., & Oh, D.-H. (2016). Electrolyzed Water as a Novel Sanitizer in the Food Industry: Current Trends and Future Perspectives. *Comprehensive Reviews in Food Science and Food Safety*, 15(3), 471-490. doi:10.1111/1541-4337.12200
- Rice, L. B. (2008). Federal funding for the study of antimicrobial resistance in nosocomial pathogens: no ESKAPE. *J Infect Dis*, 197(8), 1079-1081. doi:10.1086/533452
- Senanayake N. S. P. J. (2013). Green tea extract: Chemistry, antioxidant properties and food applications – A review. *Journal of Functional Foods*, 5(4), 1529-1541. doi:10.1016/j.jff.2013.08.011
- Shan B., Cai Y. Z., Brooks J. D., & Corke H. (2007). The in vitro antibacterial activity of dietary spice and medicinal herb extracts. *International Journal of Food Microbiology*, 117(1), 112-119.
- Sharif, Z. I. M., Mustapha, F. A., Jai, J., Mohd Yusof, N., & Md Zaki, N. A. (2017). *Review on methods for preservation and natural preservatives for extending the food longevity* (Vol. 19).
- Shrayanee Das, Jyoti Tanwar, Saif Hameed, & Zeeshan Fatima. (2014). Antimicrobial potential of epigallocatechin-3-gallate (EGCG): a green tea polyphenol. *Journal of Biochemical and Pharmacological Research*, 2(3), 167-174.
- Silva, N. M. T., Maciel, B., Lopes, A. T. S., Marques, E., Rezende, R., & Boehs, G. (2015). *Microbiological quality and bacterial diversity of the tropical oyster Crassostrea rhizophorae in a monitored farming system and from natural stocks* (Vol. 14).
- Smulder, F. J. M. (1995). Preservation by microbial decontamination; Surface treatment of meat by organic acid. *New methods of food preservation*, 253-279.
- Snijder, J. M. A. (1985). Lactic acid as a decontamination in slaughter and processing procedure. *Vet. Quart*, 7(4), 277-282.

- Sofos, J. (2000). *Sorbate food preservatives* (Vol. 1): Taylor & Francis Group.
- Somwang Lekjing, Karrila Seppo, & Siripongvutikorn Sunisa. (2017). Thermal Inactivation of *Listeria monocytogenes* in Whole Oysters (*Crassostrea belcheri*) and Pasteurization Effects on Meat Quality. *Journal of Aquatic Food Product Technology*, 26(9), 1107-1120.
- Songsaeng S. (2010). *Change in Qualities and Volatile Compounds of Oyster (Crassostrea belcheri) during Storage and Processing*. Retrieved from Songkhla, Thailand:
- Wang C., Chang T., Yang H., & Cui M. (2015). Antibacterial mechanism of lactic acid on physiological and morphological properties of *Salmonella Enteritidis*, *Escherichia coli* and *Listeria monocytogenes*. *Food Control*, 47, 231-236.
- Xi, D., Liu, C., & Su, Y.-C. (2012). Effects of green tea extract on reducing *Vibrio parahaemolyticus* and increasing shelf life of oyster meats. *Food Control*, 25(1), 368-373. doi:10.1016/j.foodcont.2011.11.002
- Yam. T.S., Shah. S., Hamilton-Miller, & J.M.T. (1997). Microbiological activity of whole and fractionated crude extracts of tea and tea of components. *FEMS Microbiology Letters*, 152, 169-174.
- Zhao, T. (2016). Reduction of Shiga Toxin-Producing *E. coli* and *Salmonella Typhimurium* on Cattle Hides by Spray Treatment with “Fit-L” (Levulinic Acid plus Sodium Dodecyl Sulfate). *MOJ Food Processing & Technology*, 2(5). doi:10.15406/mojfpt.2016.02.00049



จุฬาลงกรณ์มหาวิทยาลัย

CHULALONGKORN UNIVERSITY

ภาคผนวก ก
วิธีวิเคราะห์ทางกายภาพ

ก.1 ค่าสีของหอยนางรม ตามวิธี Somwang et al. (2017)

วิธีวิเคราะห์

วัดสีของหอยนางรมด้วยเครื่อง Chroma meter (Model CR-400 series, Minolta, Japan) ระบบ CIELAB และบันทึกค่า L*, a* และ b* โดยปรับมาตราฐานเครื่องก่อนการวัดตัวอย่างหอยนางรมทุกรัง จากนั้นทำการจะวัดสีบริเวณ belly และ adductor muscle ของหอยนางรม

โดย ค่า L* แสดงถึง ค่าความสว่าง (lightness) มีค่าตั้งแต่ 0-100

0 แสดงถึง สีดำ

100 แสดงถึง สีขาว

ค่า a* แสดงถึง ค่าสีแดงและเขียว (redness/greenness)

+a* แสดงถึง สีแดง

- a* แสดงถึง สีเขียว

ค่า b* แสดงถึง ค่าสีเหลืองและสีน้ำเงิน (yellowness/blueness)

+b* แสดงถึง สีเหลือง

- b* แสดงถึง สีน้ำเงิน

ก.2 ค่าแรงตัดของหอยนางรม ตามวิธี Cruz et al. (2008)

วิธีวิเคราะห์

วัดแรงตัดด้วยเครื่อง texture analyzer (TA-XT2i, Stable Micro Systems, Goldaming, UK) โดยใช้ใบมีด (knife blade:HDP/BSK) กดด้วย speed of 2.00 mm/s, cutting distance of 5 mm and treatment and pertrial and expressed as the force (gf) required for cutting 1 mm จากนั้นทำการจะตัดเฉือนบริเวณ belly และ adductor muscle ของหอยนางรม

ภาคผนวก ข
วิธีวิเคราะห์ทางเคมี

ข.1 ค่า pH ตามวิธี Somwang et al. (2017)

วัดค่า pH ด้วยเครื่อง pH meter (Mettler toledo, Switzerland)

ข.2 ปริมาณสารประกอบในโตรเจนที่ระเหยได้ทั้งหมด (Total volatile basic nitrogen; TVB-N) ตามวิธี Conway E. J. (1950)

วิธีเตรียมสารละลายน้ำ 4% trichloroacetic acid

1. ละลาย trichloroacetic acid 4 g ในน้ำ 100 ml

วิธีเตรียมสารละลายน้ำ K₂CO₃ solution

1. ละลาย K₂CO₃ 60 g ในน้ำ 50 ml นำไปให้ความร้อนเพื่อเพิ่มอัตราการละลายจากนั้นทิ้งไว้ข้ามคืน
2. นำมารองด้วยกระดาษกรองเบอร์ 1

วิธีเตรียมสารละลายน้ำ 1% boric acid solution

1. ละลาย boric acid 10 g นำไปปลั๊กในเอทานอล 200 ml ปรับปริมาตรให้เป็น 1 l ในขวดปรับปริมาตรด้วยน้ำกลั่นต้ม
2. ละลาย bromocresol green 0.01 g และ methyl red 0.02 g ในเอทานอล 10 ml
3. นำสารละลายน้ำที่ 1 และ 2 มาผสมกัน

วิธีเตรียม 0.01N Hydrochloric Acid (HCl)

ปีเปตสาร HCl 0.89 mL นำมาปรับปริมาตรในขวดปรับปริมาตรด้วยน้ำกลั่น 1 L

วิธีวิเคราะห์

หอยนางรม 10 กรัม ใส่ 4% trichloroacetic acid solution 90 มิลลิลิตร บดตัวอย่างให้แตก จากนั้นนำไปกรองด้วยกระดาษกรองเบอร์ 1 นำตัวอย่าง 1 มิลลิลิตรใส่ลงในวงกลมชั้นนอกของจานคอนเวียร์ และ 1 มิลลิลิตร saturated K₂CO₃ solution ใส่ลงในวงกลมชั้นนอกของจานคอนเวียร์แล้วให้อุ่นละด้านกันกับตัวอย่าง ใส่ 1 mL 1% boric acid ลงในวงกลมชั้นในของจานคอนเวียร์แล้วปิดฝาจานให้สนิท หมุนจานคอนเวียร์เบาๆ ให้

K_2CO_3 solution ผสมกับตัวอย่าง นำไปบ่มที่ 37องศาเซลเซียส 60 นาที จากนั้นตีเตรทที่ วงศ์กลมขันในด้วย 0.01N HCl จนกระหงสีเขียวเปลี่ยนเป็นสีชมพู blank ใช้ 1 มิลลิลิตร 4% trichloroacetic acid solution

วิธีคำนวณ TVB-N ในตัวอย่าง

$$TVB-N \text{ (มิลลิกรัมในตัวอย่าง/100 กรัมตัวอย่าง)} = \frac{(N)(14)(A-B)(V)(100)}{\text{น้ำหนักตัวอย่าง}}$$

N คือ normality ของสารละลายกรดไฮโดรคลอริก

A คือ มิลลิลิตรของกรดไฮโดรคลอริกที่ใช้ตีเตรทด้วยตัวอย่าง

B คือ มิลลิลิตรของกรดไฮโดรคลอริกที่ใช้ตีเตรท blank

V คือ ปริมาตรรวมของตัวอย่างและสารละลายกรดไฮโดรคลอริกซึ่งใช้ในการเตรียมตัวอย่าง

ข.3 วิธีหาปริมาณคลอรินอิสระ ตามวิธี ISO 7393-3:1990 (1990)

วิธีเตรียมสาร Phosphate buffer solution

1. ชั่ง Na_2HPO_4 24 g KH_2PO_4 46 g และ EDTA 800 mg นำมาปรับปริมาณด้วยน้ำกลั่น 1000 mL เก็บในขวดสีชา

วิธีเตรียมสาร N, N-Diethyl-p-phenylenediamine (DPD) indicator solution

1. ชั่ง 1.1 g anhydrous DPD sulfate, 8 mL (1 mL น้ำกลั่น + 3 mL H_2SO_4) และ EDTA 200 mg ปรับปริมาณด้วยน้ำกลั่น 1000 mL เก็บในขวดสีชา

วิธีเตรียมสาร Ferrous ammonium sulfate (FAS) titrant

1. ชั่ง 1.106 g $Fe(NH_4)_2(SO_4)_2 \cdot 6H_2O$ และ 1 mL (1 mL น้ำกลั่น + 3 mL H_2SO_4) ปรับปริมาณด้วยน้ำกลั่น 1000 mL เก็บในขวดสีชา

วิธีวิเคราะห์

นำน้ำตัวอย่าง 50 mL ใส่ในขวดรูปชามพู่ 250 mL ใส่ Phosphate buffer solution 2.5 mL และใส่ indicator solution 2.5 mL ผสมให้เข้ากัน นำไปตีเตรทด้วย Ferrous ammonium sulfate จนสีชมพูเปลี่ยนเป็นไม่มีสี โดยปริมาตรของคลอรินอิสระคือปริมาตรของน้ำอิเล็กโทรไลต์ ในหน่วย ppm

ข.4 วิธีคำนวณการเจือจางสารละลาย

การเจือจางสารละลายเป็นการทำให้สารละลายมีความเข้มข้นลดลงตามที่ต้องการโดยจะต้องมีการเติมตัวทำละลายลงในสารละลายนั้นซึ่งสามารถคำนวณความเข้มข้นของสารละลายได้ดังนี้

$$\text{จากสูตร } C_1V_1 = C_2V_2$$

เมื่อ C_1 = ความเข้มข้นเริ่มต้น

V_1 = ปริมาตรเริ่มต้น

C_2 = ความเข้มข้นสุดท้าย

V_2 = ปริมาตรสุดท้าย

การเตรียมสารละลายกรดแลคติกเพื่อใช้ในการทดสอบโดยใช้จากสารละลาย Stock solution 88 % (w/v)

วิธีเตรียมสาร

1. การเตรียมสารละลายกรดแลคติกตั้งต้น 88 % (w/v) จากน้ำปีเปตมา 1 mL เพื่อใช้ในวิธีทดสอบความเข้มข้นต่ำสุดที่ยับยังเชื้อแบคทีเรีย และความเข้มข้นต่ำสุดที่ในการฆ่าเชื้อแบคทีเรีย (ภาคผนวก ค.1 และ ค.2)
2. การเตรียมสารละลายกรดแลคติกตั้งต้นจากความเข้มข้น 88 % (w/v) โดยการคำนวณจากสูตรการเจือจางสารละลาย เพื่อให้ได้ความเข้มข้น 0.17 % (w/v) โดยจะปีเปตสารละลาย 1.93 mL ในปริมาตรร้น้ำ 1000 mL เพื่อใช้ในการแข็งหอยนางรมในอัตราส่วนหอยนางรมต่อปริมาตรสารละลายกรดแลคติก 1g: 10 mL

ข. 5 วิธีเตรียม Epigallocatechin gallate (EGCG)

การเจือจางสารละลายเป็นการทำให้สารละลายมีความเข้มข้นลดลงตามที่ต้องการโดยจะต้องมีการเติมตัวทำละลายลงในสารละลายนั้นซึ่งสามารถคำนวณความเข้มข้นของสารละลายได้ดังนี้

$$\text{จากสูตร } C_1V_1 = C_2V_2$$

เมื่อ C_1 = ความเข้มข้นเริ่มต้น

V_1 = ปริมาตรเริ่มต้น

C_2 = ความเข้มข้นสุดท้าย

V_2 = ปริมาตรสุดท้าย

วิธีการเตรียมสาร

1. การเตรียมสารละลาย EGCG เพื่อใช้ในวิธีทดสอบความเข้มข้นต่ำสุดที่ยับยั้งเชื้อแบคทีเรีย และความเข้มข้นต่ำสุดที่ในการฆ่าเชื้อแบคทีเรีย โดยชั่งสาร EGCG 17.92 mg ต่อปริมาตรน้ำ 7mL เพื่อเป็นสารละลายตั้งต้น จากนั้นคำนวณจากสูตรการเจือจางสารละลายEGCG เพื่อให้ได้ความเข้มข้นสุดท้าย 2560 μ g และปีเปตสารละลาย มา 1 mL (ภาคผนวก ค.1 และ ค.2)

2. การเตรียมสารละลาย EGCG เพื่อใช้ในวิธีการแซ่หอยนางรมเพื่อศึกษาอายุการเก็บรักษาโดยชั่ง 50 mg เติมตัวทำละลาย (น้ำปลอดเชื้อ) 10 L การคำนวณจากสูตรการเจือจางสารละลาย EGCG เพื่อให้ได้ความเข้มข้นสุดท้ายในการแซ่หอยนางรม 5 μ g/mL คนให้สารละลายรวมเป็นเนื้อเดียวกัน โดยใช้อัตราส่วนหอยนางรมต่อปริมาตรน้ำ 1 g: 2mL



ภาคผนวก ค
วิธีวิเคราะห์ทางชีวภาพ

ค.1 ความเข้มข้นต่ำสุดที่ยับยั้งเชื้อแบคทีเรียโดยการวิเคราะห์ minimum inhibitory concentration (MIC) ตามวิธี CLSI (2006)

การเตรียมอาหารเลี้ยงเชื้อและสารเคมี

ละลาย sodium chloride 0.85 g ในน้ำกลั่น 100 mL และนำไปเชื้อใน autoclave ที่ อุณหภูมิ 121 °C เป็นเวลา 15 นาที

ซึ่ง Mueller Hinton Broth 21.00 g และละลายในน้ำกลั่น 1000 mL บรรจุในหลอดทดลองปริมาตร 1mL ปิดฝา หลังจากนั้นนำไปเชื้อใน autoclave ที่ อุณหภูมิ 121 °C เป็นเวลา 15 นาที

การเตรียมตัวอย่าง

ละลายผงของสารสกัดชาเขียว 2560 μg ในน้ำกลั่น 1 mL (ผ่านการฆ่าเชื้อใน autoclave ที่ อุณหภูมิ 121 °C เป็นเวลา 15 นาที) จากวิธีการเตรียม (ภาคผนวก ข.5)

สารละลายกรดแลคติก 88% w/v 1 mL จากวิธีการเตรียม (ภาคผนวก ข.4)

การเตรียมแบคทีเรียที่ใช้ทดสอบ

1. เชื้อโคโลนีของเชื้อที่ต้องการทดสอบ (*Staphylococcus aureus* ATCC25923, *Bacillus cereus* ATCC6633, *Lactobacillus plantarum* Plan10621, *Vibrio parahaemolyticus* ATCC17802, *Salmonella Typhimurium* ATCC13311 และ *Escherichia coli* ATCC25922) ประมาณ 4 - 5 โคโลนีใส่ในอาหารเหลว เขย่าเพื่อให้เชื้อกระจายตัวออกจากกัน และนำไปบ่มที่อุณหภูมิ 35 ± 2 °C เป็นเวลา 18-24 ชั่วโมง

2. นำเชื้อในข้อ 1 มาปรับความเข้มข้นของเชื้อให้ได้ความชุนเท่ากับ 0.5 McFarland standard (มีปริมาณเชื้อเท่ากับ 1×10^8 CFU/mL)

การวิเคราะห์

1. ปีเปตสารสกัดชาเขียวความเข้มข้น 2560 μg ปริมาตร 1 mL ลงในหลอดทดลองที่มีอาหารเลี้ยงเชื้อเหลวอยู่ 1 mL และเจือจางสารสกัดด้วยการท้า two fold dilution จนมีความเข้มข้น 1280, 640, 320, 160, 80, 40, 20, 10, 5, 2.5 และ 1.25 μg/mL ตามลำดับ และปีเปตสารละลายในหลอดสุดท้ายทึ้ง 1 mL เพื่อให้มีปริมาตรเท่ากับหลอดอื่น

2. ปีเปตเชื้อปริมาณ 1×10^8 CFU/mL ลงในหลอดทดลองทุกหลอด (ใช้หลอดทดลองที่มีสารสกัด 2560 μg ปริมาตร 1 mL และ เชื้อ 1 mL เป็น negative control และใช้หลอดทดลองที่มีอาหารเลี้ยงเชื้อและเชื้อย่างละ 1 mL เป็น positive control)

3. เชื้อ *Staphylococcus aureus*, *Bacillus cereus*, *Lactobacillus plantarum*, *Vibrio parahaemolyticus*, *Salmonella Typhimurium*, และ *Escherichia coli* บ่มที่อุณหภูมิ 35 ± 2 °C เป็นเวลา 18-24 ชั่วโมง

การวิเคราะห์

ค่าโดยสังเกตหลอดสุดท้ายที่ไม่มีจุลินทรีย์เจริญหรืออาหารเลี้ยงเชื้อในหลอดไม่ขุน (เบรียบเทียบกับ negative control และ positive control) ค่าปริมาณของสารทดสอบของหลอดนี้เป็นค่า MIC ของการทดลองค่า โดยค่า MIC คือ ค่าความเข้มข้นที่ต่ำที่สุดของสารสกัดที่ใช้ทดสอบที่สามารถยับยั้งการเจริญเติบโตของเชื้อทดสอบได้

ค.2 ความเข้มข้นต่ำสุดที่ฆ่าเชื้อแบคทีเรียโดยการวิเคราะห์ minimum bactericidal concentration (MBC) ตามวิธี CLSI (2006)

การเตรียมอาหารเลี้ยงเชื้อ

ซึ่ง Mueller Hinton agar 38.00 g ละลายในน้ำกลั่น 1000 mL บรรจุใน flask ปิดด้วยจุกสำลีหลังจากนั้นนำไปฆ่าเชื้อใน autoclave ที่อุณหภูมิ 121 °C เป็นเวลา 15 นาที และตั้งทิ้งไว้จนอุณหภูมิลดลงจนถึง 45 °C เทลงใน JAN เพาเชื้อปริมาตร 15-20 mL เขย่าหมุน JAN เพาเชื้อให้อาหารเลี้ยงเชื้อกระจายตัวและปล่อยให้อาหารแข็งตัว

การวิเคราะห์

1. นำหลอดทดลองที่ทำการทดสอบจากการหาค่า MIC ที่ไม่มีความขุนทุกหลอดไป streak plate บนอาหารเลี้ยงเชื้อ MHA

2. บ่ม JAN เพาเชื้อที่อุณหภูมิ 35 °C เป็นเวลา 18-24 ชั่วโมง

3. ถ้าความเข้มข้นของสารสกัดที่สามารถฆ่าเชื้อได้จะไม่พบการเจริญของเชื้อบนอาหารเลี้ยงเชื้อตั้งนั้นความเข้มข้นดังกล่าวจึงเป็นค่า MBC

ค.3 การตรวจนับปริมาณจุลินทรีย์ทั้งหมด ตามวิธีของ A.O.A.C (2012)

การเตรียมตัวอย่าง อาหารเลี้ยงเชื้อและสารละลาย

ซึ่งตัวอย่าง 50 ± 0.1 g ผสม phosphate-buffered 450 mL นำไปเติม 1.30 นาที ละลาย sodium chloride 3 g ในน้ำกลั่น 100 mL และฆ่าเชื้อใน autoclave ที่อุณหภูมิ 121 °C เป็นเวลา 15 นาที

ชั่ง Plate Count Agar 23.50 g ละลายในน้ำกลั่น 1000 mL บรรจุใน flask ปิดด้วยจุกสำลีหลังจากนั้นนำไปข่าเชื้อใน autoclave ที่อุณหภูมิ 121 °C เป็นเวลา 15 นาที

ชั่ง Na₂HPO₄ 12 g และ NaH₂PO₄ · H₂O 2.2 g ละลายในน้ำกลั่น 1000 mL และนำไปข่าเชื้อใน autoclave ที่อุณหภูมิ 121 °C เป็นเวลา 15 นาที

การวิเคราะห์

การตรวจนับปริมาณจุลินทรีย์ทั้งหมดด้วยวิธี pour plate โดยใส่ตัวอย่างที่เจือจากแล้วด้วย phosphate-buffered ในระดับที่เหมาะสม และปีเปตมา 1.0 mL ลงในจานเพาะเชื้อ แล้วนำอาหารเลี้ยงเชื้อที่มีโซเดียมคลอไรด์ผสมอยู่ (plate count agar: PCA) ที่เป็นวุ้นหลอมละลายที่อุณหภูมิ 121 °C เป็นเวลา 15 นาที และตั้งทิ้งไว้ในอ่างน้ำร้อนจนอุณหภูมิลดลงจนถึง 45 °C เททับลงไปบนตัวอย่างในจานเพาะเชื้อปริมาตร 15-20 mL เขย่าหมุนจานเพาะเชื้อให้ตัวอย่างกระจายตัว ปล่อยให้อาหารแข็งตัว นำจานเพาะเชื้อบ่มที่อุณหภูมิ 35±2 °C เป็นเวลา 48 ชั่วโมง แล้วนับจำนวนโคโลนีที่เกิดขึ้นภายในช่วง 30-300 โคโลนี และรายงานค่าเป็น colony-forming units/g (CFU/g)

ค.4 ปริมาณแบคทีเรียแลกติก (Lactic acid bacteria) ตามวิธีของ ISO 15214:1998 (2015)

การเตรียมตัวอย่าง อาหารเลี้ยงเชื้อและสารละลาย

ชั่งตัวอย่าง 50±0.1 g ผสม phosphate-buffered 450 mL นำไปตีปั่น 1.30 นาที ละลาย calcium carbonate 1.0 g ในน้ำกลั่น 100 mL และนำไปข่าเชื้อใน autoclave ที่อุณหภูมิ 121 °C เป็นเวลา 15 นาที

ชั่ง Lactobacillus MRS Agar (MRS Agar) 67.15 g ละลายในน้ำกลั่น 1000 mL บรรจุใน flask ปิดด้วยจุกสำลีหลังจากนั้นนำไปข่าเชื้อใน autoclave ที่อุณหภูมิ 121 °C เป็นเวลา 15 นาที

ชั่ง Na₂HPO₄ 12 g และ NaH₂PO₄ · H₂O 2.2 g ละลายในน้ำกลั่น 1000 mL และนำไปข่าเชื้อใน autoclave ที่อุณหภูมิ 121 °C เป็นเวลา 15 นาที

การวิเคราะห์

การตรวจนับปริมาณแบคทีเรียแลกติกด้วยวิธี pour plate โดยใส่ตัวอย่างที่เจือจากแล้วด้วย phosphate-buffered ในระดับที่เหมาะสม และปีเปตมา 1.0 mL ลงในจานเพาะเชื้อ แล้วนำอาหารเลี้ยงเชื้อ Lactobacillus MRS Agar ที่ผสม Calcium Carbonate ที่เป็นวุ้นหลอมละลายที่อุณหภูมิ 121 °C เป็นเวลา 15 นาที และตั้งทิ้งไว้ในอ่างน้ำร้อนจนอุณหภูมิลดลงจนถึง 45 °C เททับลงไปบนตัวอย่างในจานเพาะเชื้อปริมาตร 15-20 mL เขย่าหมุนจานเพาะเชื้อให้ตัวอย่าง

กระจายตัว ปล่อยให้อาหารแข็งตัว นำจานเพาะเชื้อไปปั่นใน anaerobic jar ที่อุณหภูมิ 30 ± 2 °C เป็นเวลา 72 ชั่วโมง แล้วนับจำนวนโคโลนีที่มีลักษณะโชนใสเกิดขึ้น (clear zone) เกิดขึ้นภายในช่วง 30-300 โคโลนี และรายงานค่าเป็น colony-forming units/g (CFU/g)

ค.5 ปริมาณ *Vibrio parahaemolyticus* ตามวิธีของ BAM (2004)

การตัวอย่าง เตรียมอาหารเลี้ยงเชื้อและสารละลาย

ซึ่งตัวอย่าง 50 ± 0.1 g ผสม phosphate-buffered 450 mL นำไปเติม 1 นาที ซึ่ง Na_2HPO_4 12 g $\text{NaH}_2\text{PO}_4 \cdot \text{H}_2\text{O}$ 2.2 g และ NaCl 30 g ละลายในน้ำกลั่น 1000 mL และฆ่าเชื้อใน autoclave ที่อุณหภูมิ 121 °C เป็นเวลา 15 นาที

ซึ่ง Thiosulfate Citrate Bile Sucrose Agar (TCBS) 89.08 g และ NaCl 30 g ปรับปริมาตรด้วยน้ำกลั่นที่ปลดดเชื้อ 1000 mL นำไปละลายในไมโครเรฟ จากนั้นนำไปตั้งไว้ในอ่าน้ำร้อนเพื่อลดอุณหภูมิ 45 °C เทลงในจานเพาะเชื้อปริมาตร 15-20 mL เขย่าหมุนจานเพาะเชื้อให้อาหารเลี้ยงเชื้อกระจายตัวและปล่อยให้อาหารแข็งตัว

ซึ่ง Triple Sugar Saline Iron Agar (TSA) 92.62 g และ NaCl 30 g ละลายในน้ำกลั่น 1000 mL และฆ่าเชื้อใน autoclave ที่อุณหภูมิ 121 °C เป็นเวลา 15 นาที

การวิเคราะห์

นำตัวอย่างที่ตีปั่นมาใส่หลอดทดลอง 10 mL จำนวนสามหลอด จากนั้นเจือจางสารละลายตัวอย่าง

ให้ได้ระดับความเจือจาง 10^{-2} และ 10^{-3} จำนวนระดับความเจือจางละ 3 หลอด ปั่นที่อุณหภูมิ 35 ± 2 °C เป็นเวลา 18-24 ชั่วโมง

หลอดที่มีการเจริญของเชื้อ 3 ระดับการเจือจางสูงสุด (อาหารเลี้ยงเชื้อขุ่น) โดยจุ่มลงไปประมาณ

1 เช่นติเมตร มา streak บนเพลท Thiosulfate Citrate Bile Sucrose Agar (TCBS) โดยไม่ต้องเขย่าหลอด นำเพลทไปปั่นที่อุณหภูมิ 35 ± 2 °C เป็นเวลา 18-24 ชั่วโมง

เลือกลักษณะโคโลนีจำนวน 3 โคโลนี streak บนอาหาร TSA+ 3 % NaCl นำไปปั่นที่อุณหภูมิ 35 ± 2 °C เป็นเวลา 18-24 ชั่วโมง โดย *Vibrio parahaemolyticus* ให้ผล AGS เป็น K/A คือ เป็นสีม่วงในส่วน slant และเป็นสีเหลืองในส่วน butt ไม่สร้างแก๊สหรือ H₂S

ค.6 ปริมาณ *Escherichia coli* ตามวิธีของ A.O.A.C (2012)

การเตรียมตัวอย่าง

ชั่งตัวอย่าง 50 ± 0.1 g ผสม phosphate-buffered 450 mL นำไปเติม 1.30 นาที

ชั่ง Na_2HPO_4 12 g และ $\text{NaH}_2\text{PO}_4 \cdot \text{H}_2\text{O}$ 2.2 g ละลายในน้ำกลั่น 1000 mL และข่าเชื้อใน autoclave ที่อุณหภูมิ 121 °C เป็นเวลา 15 นาที

การวิเคราะห์

วิเคราะห์ปริมาณของ *Escherichia coli* ด้วย 3M™ Petrifilm™ โดยเจือจางตัวอย่างด้วย phosphate-buffered ที่ความเข้มข้นที่เหมาะสม แล้วปีเปตตัวอย่างที่เจือจางแล้วปริมาตร 1 mL ใส่ลงบนแผ่นฟิล์ม ปั๊มที่อุณหภูมิ 35 ± 2 °C เป็นเวลา 24 ชั่วโมง หลังจากนั้นตรวจนับจำนวน จุลินทรีย์บนจานเพาะเชื้อที่มีโคโลนีในช่วง 10–150 โคโลนี คำนวณค่าเฉลี่ยของจำนวนโคโลนีทั้ง 2 ชั้นและรายงานจำนวนโคโลนีในหน่วย colony forming unit/g (CFU/g)

ค.7 ปริมาณ *Staphylococcus aureus* ตามวิธีของ A.O.A.C. (2012)

การเตรียมตัวอย่างและอาหารเลี้ยงเชื้อ

ชั่งตัวอย่าง 50 ± 0.1 g ผสม phosphate-buffered 450 mL นำไปเติม 1.30 นาที

ชั่ง Baird-Parker Agar (BPA) 63.00 g ละลายในน้ำกลั่น 950 mL บรรจุใน flask ปิดด้วยจุกสำลีหลังจากนั้นนำไปเชื้อใน autoclave ที่อุณหภูมิ 121 °C เป็นเวลา 15 นาที และตั้งทิ้งไว้ในอ่างน้ำร้อนจนอุณหภูมิลดลงจนถึง 45 °C เทลงในจานเพาะเชื้อปริมาตร 15-20 mL เขย่าหมุนจานเพาะเชื้อให้อาหารเลี้ยงเชื้อกระจายตัวและปล่อยให้อาหารแข็งตัว

ชั่ง Na_2HPO_4 12 g และ $\text{NaH}_2\text{PO}_4 \cdot \text{H}_2\text{O}$ 2.2 g ละลายในน้ำกลั่น 1000 mL และข่าเชื้อใน autoclave ที่อุณหภูมิ 121 °C เป็นเวลา 15 นาที

การวิเคราะห์

ปริมาณของ *Staphylococcus aureus* ด้วยเทคนิค spread plate โดยเจือจางตัวอย่างด้วย phosphate-buffered ที่ความเข้มข้นที่เหมาะสม แล้วปีเปตตัวอย่างที่เจือจางแล้วปริมาตร 0.1 mL ใส่จานเพาะเชื้อ ที่มีอาหารเลี้ยงเชื้อ Baird Parker Agar (BPA) ผสมกับ Egg York tellurite emulsion 50 mL จากนั้นทำการ spread plate บนที่อุณหภูมิ 35 ± 2 °C เป็นเวลา 48 ชั่วโมง หลังจากนั้นตรวจนับจำนวนจุลินทรีย์บนจานเพาะเชื้อที่มีโคโลนีในช่วง 30–300 โคโลนี คำนวณค่าเฉลี่ยของจำนวนโคโลนีทั้ง 2 ชั้นและรายงานจำนวนโคโลนีในหน่วย colony forming unit/g (CFU/g)

ค.8 ปริมาณ *Salmonella spp.* ตามวิธีของ A.O.A.C. (2012)

การเตรียมตัวอย่าง

ซึ่งตัวอย่าง 50 ± 0.1 g ผสม phosphate-buffered 450 mL นำไปเติม 1.30 นาที

ซึ่ง Na_2HPO_4 12 g และ $\text{NaH}_2\text{PO}_4 \cdot \text{H}_2\text{O}$ 2.2 g ละลายในน้ำกลั่น 1000 mL และนำไปเชื้อใน autoclave ที่อุณหภูมิ 121°C เป็นเวลา 15 นาที

การวิเคราะห์

วิเคราะห์ปริมาณของ *Salmonella spp.* ด้วย 3M™ Petrifilm™ โดยเจือจางตัวอย่างด้วย phosphate-buffered ที่ความเข้มข้นที่เหมาะสม แล้วปีเปตตัวอย่างที่เจือจางแล้วปริมาตร 1 mL ใส่ลงบนแผ่นฟิล์ม ปั๊มที่อุณหภูมิ $35 \pm 2^\circ\text{C}$ เป็นเวลา 24 ชั่วโมง หลังจากนั้นตรวจนับจำนวน จุลินทรีย์บนจานเพาะเชื้อที่มีโคโลนีในช่วง 10–150 โคโลนี คำนวณค่าเฉลี่ยของจำนวนโคโลนีทั้ง 2 ชั้นและรายงานจำนวนโคโลนีในหน่วย colony forming unit/g (CFU/g)



ການປັບປຸງ ຂໍ
ໃບรายงานຜົນການຕະຫຼາດຈິວຈະເຮົາທີ່ຄຸນກາພື້ນວັນທີຂອງກຣດແລຄຕິກ





CERTIFICATE OF ANALYSIS

Order nr Product	863581 PURAC FCC 88 drum25 L(+)-Lactic Acid FCC Special 88%	Cust order Ref	FS5570102/863581
Lot No Manufacturing Date	1407001610 18-July-2014	Retest Date	17-July-2019
Test	Units	Specification	Results
Colour	APHA	<=50 87.5 - 88.5	13 88.2
Assay	%		

Parameters not tested in all lots but validated through in-process or final testing.

Test	Units	Specification
Odour		Agreeable
Stereochemical purity	%	>=97
Sulphated ash LA	%	<=0.1
Heavy metals	ppm	<=10
Iron	ppm	<=10
Lead	ppm	<=0.50
Mercury	ppm	<=1.00
Cyanide	ppm	<=5.00
Citric, oxalic, phosphoric and tartaric		Passes test FCC
Arsenic	ppm	<=1
Positive test for lactate		1 in 10 in water litmus paper
Density (20°C)	g/ml	1.20 + 1.22
Calcium	ppm	<=20
Chloride	ppm	<=10
Sulphate	ppm	<=20
Sugars/reducing substances		Passes test FCC
Readily carbonizable substances		Passes test**
Volatile fatty acids		Passes test**
Ether Insolubles	%ww	<=0.70
Methanol	%	<=0.200
Form		Syrupy liquid

**Passes test of latest version of FCC, JSFA, 231/2012/EC
 This lot complies with: FCC / JSFA / 231/2012/EC

This document is generated by a validated system and therefore not signed.
 Saowaphan Chansamuth
 Lab Manager





 Anouyak C
 05/07/19

Page 1 of 1
 Print Date 30-July-2014

ກາຄົນວຸກ ຈ
ໃບຮ່າງຈາກຜູ້ອະນຸຍາກ



SAFETY DATA SHEET
Epigallocatechin Gallate

Page: 1 of 4

Revision: 05/05/2016
Supersedes Revision: 10/31/2012

1. Product and Company Identification			
Product Code:		70935	
Product Name:		Epigallocatechin Gallate	
Company Name:		Cayman Chemical Company 1180 E. Ellsworth Rd. Ann Arbor, MI 48108	
Web site address:		www.caymanchem.com	
Emergency Contact:		CHEMTRAC Within USA and Canada: +1 (800)424-9300 CHEMTRAC Outside USA and Canada: +1 (703)527-3887	
Information:		Cayman Chemical Company +1 (734)971-3335	
Intended Use:		For research use only, not for human or veterinary use.	
Synonyms:		3,4-dihydro-5,7-dihydroxy-2R-(3,4,5-trihydroxyphenyl)-2H-1-benzopyran-3R-yl-3,4,5-trihydroxy-benzoate; EGCG; Tea catechin;	
2. Hazards Identification			
GHS Signal Word:		None	
GHS Hazard Phrases:		Based on evaluation of currently available data this substance or mixture is not classifiable according to GHS.	
GHS Precaution Phrases:		No phrases apply.	
GHS Response Phrases:		No phrases apply.	
GHS Storage and Disposal Phrases:		Please refer to Section 7 for Storage and Section 13 for Disposal information.	
Potential Health Effects (Acute and Chronic):		Material may be irritating to the mucous membranes and upper respiratory tract. May be harmful by inhalation, ingestion, or skin absorption. May cause eye, skin, or respiratory system irritation.	
3. Composition/Information on Ingredients			
CAS #	Hazardous Components (Chemical Name)	Concentration	RTECS #
989-51-5	Epigallocatechin Gallate	100.0 %	KB5200000
4. First Aid Measures			
Emergency and First Aid Procedures:			
In Case of Inhalation:		Remove to fresh air. If not breathing, give artificial respiration or give oxygen by trained personnel. Get immediate medical attention.	
In Case of Skin Contact:		Immediately wash skin with soap and plenty of water for at least 20 minutes. Remove contaminated clothing. Get medical attention if symptoms occur. Wash clothing before reuse.	
In Case of Eye Contact:		Hold eyelids apart and flush eyes with plenty of water for at least 20 minutes. Have eyes examined and tested by medical personnel.	
In Case of Ingestion:		Wash out mouth with water provided person is conscious. Never give anything by mouth to an unconscious person. Get medical attention. Do NOT induce vomiting unless directed to do so by medical personnel.	
Signs and Symptoms Of Exposure:		To the best of our knowledge, the toxicological properties have not been thoroughly investigated.	

GHS format



**SAFETY DATA SHEET
Epigallocatechin Gallate**

Page: 2 of 4

Revision: 05/05/2016
Supersedes Revision: 10/31/2012

5. Fire Fighting Measures							
Flash Pt:	No data.						
Explosive Limits:	LEL: No data.	UEL: No data.					
Autoignition Pt:	No data.						
Suitable Extinguishing Media:	Use alcohol-resistant foam, carbon dioxide, water, or dry chemical spray. Use water spray to cool fire-exposed containers.						
Unsuitable Extinguishing Media:	A solid water stream may be inefficient.						
Fire Fighting Instructions:	As in any fire, wear self-contained breathing apparatus pressure-demand (NIOSH approved or equivalent), and full protective gear to prevent contact with skin and eyes.						
Flammable Properties and Hazards:	No data available. No data available.						
6. Accidental Release Measures							
Protective Precautions,	Avoid raising and breathing dust, and provide adequate ventilation.						
Protective Equipment and Emergency Procedures:	As conditions warrant, wear a NIOSH approved self-contained breathing apparatus, or respirator, and appropriate personal protection (rubber boots, safety goggles, and heavy rubber gloves).						
Environmental Precautions:	Take steps to avoid release into the environment, if safe to do so.						
Steps To Be Taken In Case Material Is Released Or Spilled:	Contain spill and collect, as appropriate. Transfer to a chemical waste container for disposal in accordance with local regulations.						
7. Handling and Storage							
Precautions To Be Taken in Handling:	Avoid breathing dust/fume/gas/mist/vapours/spray. Avoid prolonged or repeated exposure.						
Precautions To Be Taken in Storing:	Keep container tightly closed. Store in accordance with information listed on the product insert.						
8. Exposure Controls/Personal Protection							
CAS #	Partial Chemical Name	OSHA TWA	ACGIH TWA	Other Limits			
989-51-5	Epigallocatechin Gallate	No data.	No data.	No data.			
Respiratory Equipment (Specify Type): NIOSH approved respirator, as conditions warrant.							
Eye Protection:	Safety glasses						
Protective Gloves:	Compatible chemical-resistant gloves						
Other Protective Clothing:	Lab coat						
Engineering Controls (Ventilation etc.):	Use process enclosures, local exhaust ventilation, or other engineering controls to control airborne levels below recommended exposure limits.						
Work/Hygienic/Maintenance Practices:	Do not take internally. Facilities storing or utilizing this material should be equipped with an eyewash and a safety shower. Wash thoroughly after handling.						
GHS format							



**SAFETY DATA SHEET
Epigallocatechin Gallate**

Page: 2 of 4

Revision: 05/05/2016
Supersedes Revision: 10/31/2012

5. Fire Fighting Measures				
Flash Pt:	No data.			
Explosive Limits:	LEL: No data.	UEL: No data.		
Autoignition Pt:	No data.			
Suitable Extinguishing Media:	Use alcohol-resistant foam, carbon dioxide, water, or dry chemical spray. Use water spray to cool fire-exposed containers.			
Unsuitable Extinguishing Media:	A solid water stream may be inefficient.			
Fire Fighting Instructions:	As in any fire, wear self-contained breathing apparatus pressure-demand (NIOSH approved or equivalent), and full protective gear to prevent contact with skin and eyes.			
Flammable Properties and Hazards:	No data available. No data available.			
6. Accidental Release Measures				
Protective Precautions,	Avoid raising and breathing dust, and provide adequate ventilation.			
Protective Equipment and Emergency Procedures:	As conditions warrant, wear a NIOSH approved self-contained breathing apparatus, or respirator, and appropriate personal protection (rubber boots, safety goggles, and heavy rubber gloves).			
Environmental Precautions:	Take steps to avoid release into the environment, if safe to do so.			
Steps To Be Taken In Case Material Is Released Or Spilled:	Contain spill and collect, as appropriate. Transfer to a chemical waste container for disposal in accordance with local regulations.			
7. Handling and Storage				
Precautions To Be Taken in Handling:	Avoid breathing dust/fume/gas/mist/vapours/spray. Avoid prolonged or repeated exposure.			
Precautions To Be Taken in Storing:	Keep container tightly closed. Store in accordance with information listed on the product insert.			
8. Exposure Controls/Personal Protection				
CAS #	Partial Chemical Name	OSHA TWA	ACGIH TWA	Other Limits
989-51-5	Epigallocatechin Gallate	No data.	No data.	No data.
Respiratory Equipment (Specify Type): NIOSH approved respirator, as conditions warrant.				
Eye Protection:	Safety glasses			
Protective Gloves:	Compatible chemical-resistant gloves			
Other Protective Clothing:	Lab coat			
Engineering Controls (Ventilation etc.):	Use process enclosures, local exhaust ventilation, or other engineering controls to control airborne levels below recommended exposure limits.			
Work/Hygienic/Maintenance Practices:	Do not take internally. Facilities storing or utilizing this material should be equipped with an eyewash and a safety shower. Wash thoroughly after handling.			
GHS format				



SAFETY DATA SHEET Epigallocatechin Gallate

Page: 3 of 4

Revision: 05/05/2016

Supersedes Revision: 10/31/2012

9. Physical and Chemical Properties

Physical States:	<input type="checkbox"/> Gas <input type="checkbox"/> Liquid <input checked="" type="checkbox"/> Solid
Appearance and Odor:	A crystalline solid
Melting Point:	No data.
Boiling Point	No data.
Flash Pt:	No data.
Evaporation Rate:	No data.
Flammability (solid, gas):	No data available.
Explosive Limits:	LEL: No data. UEL: No data.
Vapor Pressure (vs. Air or mm Hg):	No data.
Vapor Density (vs. Air = 1):	No data.
Specific Gravity (Water = 1):	No data.
Solubility in Water:	No data.
Solubility Notes:	~25 mg/ml in PBS (pH 7.2); ~20 mg/ml in EtOH; ~25 mg/ml in DMSO; ~30 mg/ml in DMF;
Percent Volatile:	No data.
Autoignition Pt:	No data.
Molecular Formula & Weight:	C ₂₂ H ₁₈ O ₁₁ 458.4

10. Stability and Reactivity

Stability:	Unstable [] Stable [X]
Conditions To Avoid:	No data available.
Incompatibility - Materials To Avoid:	strong oxidizing agents
Hazardous Decomposition or Byproducts:	carbon dioxide carbon monoxide
Polymerization:	Will occur [] Will not occur [X]
Stability Note(s):	Stable if stored in accordance with information listed on the product insert.

11. Toxicological Information

Toxicological Information:	The toxicological effects of this product have not been thoroughly studied. Epigallocatechin Gallate - Toxicity Data: Oral LD ₅₀ (mouse): 2,170 mg/kg;
Chronic Toxicological Effects:	Epigallocatechin Gallate - Investigated as a mutagen and tumorigen. Only select Registry of Toxic Effects of Chemical Substances (RTECS) data is presented here. See actual entry in RTECS for complete information. Epigallocatechin Gallate RTECS Number: KB5200000

CAS #	Hazardous Components (Chemical Name)	NTP	IARC	ACGIH	OSHA
989-51-5	Epigallocatechin Gallate	n.a.	n.a.	n.a.	n.a.

12. Ecological Information

General Ecological Information:	Avoid release into the environment. Runoff from fire control or dilution water may cause pollution.
--	--

GHS format



SAFETY DATA SHEET
Epigallocatechin Gallate

Page: 4 of 4

Revision: 05/05/2016
 Supersedes Revision: 10/31/2012

13. Disposal Considerations

Waste Disposal Method: Dispose in accordance with local, state, and federal regulations.

14. Transport Information

LAND TRANSPORT (US DOT):

DOT Proper Shipping Name: Not dangerous goods.

DOT Hazard Class:

UN/NA Number:

LAND TRANSPORT (European ADR/RID):

ADR/RID Shipping Name: Not dangerous goods.

UN Number:

Hazard Class:

AIR TRANSPORT (ICAO/IATA):

ICAO/IATA Shipping Name: Not dangerous goods.

Additional Transport Information: Transport in accordance with local, state, and federal regulations.

15. Regulatory Information

EPA SARA (Superfund Amendments and Reauthorization Act of 1986) Lists

CAS #	Hazardous Components (Chemical Name)	S. 302 (EHS)	S. 304 RQ	S. 313 (TRI)
989-51-5	Epigallocatechin Gallate	No	No	No
CAS #	Hazardous Components (Chemical Name)	Other US EPA or State Lists		
989-51-5	Epigallocatechin Gallate	CAA HAP, ODC: No; CWA NPDES: No; TSCA: No; CA PROP. 65: No		

Regulatory Information Statement: This SDS was prepared in accordance with 29 CFR 1910.1200 and Regulation (EC) No.1272/2008.

16. Other Information

Revision Date: 05/05/2016

Additional Information About This Product: No data available.

Company Policy or Disclaimer: DISCLAIMER: This information is believed to be accurate and represents the best information currently available to us. However, we make no warranty of merchantability or any other warranty, express or implied, with respect to such information, and we assume no liability resulting from its use. Users should make their own investigations to determine the suitability of the information for their particular purposes.

GHS format

รายการอ้างอิง



ประวัติผู้เขียนวิทยานิพนธ์

นางสาวกัญญา แซ่เพ็ญ เกิดวันที่ 18 กันยายน 2534 ที่จังหวัดกรุงเทพมหานคร สำเร็จการศึกษาระดับปริญญาวิทยาศาสตร์บัณฑิตจาก ภาควิชาเทคโนโลยีการหมัก คณะอุตสาหกรรมเกษตร สถาบันเทคโนโลยีพระจอมเกล้าเจ้าคุณทหารลาดกระบัง เมื่อปีการศึกษา 2556 และเข้าศึกษาต่อในหลักสูตรวิทยาศาสตร์มหบัณฑิต ภาควิชาเทคโนโลยีทางอาหาร คณะวิทยาศาสตร์ จุฬาลงกรณ์มหาวิทยาลัย ในปีการศึกษา 2557

นางสาวกัญญา แซ่เพ็ญ ได้นำเสนอผลงานวิจัยภาคโปสเตอร์ในหัวข้อ Effect of electrolyzed water combined with lactic acid pretreatment on the reduction of foodborne pathogens in oyster ในการประชุมวิชาการระดับนานาชาติ International Conference of Agriculture and Natural Resources (ANRES) 2018 ในวันที่ 26 เมษายน 2561 ณ โรงแรมวินด์เซอร์ สุทธิ กรุงเทพมหานคร



